

**FAKULTA
STROJNÍ
ČVUT V PRAZE**

Ústav konstruování a částí strojů

**Speciální převodovka pro pohon lanového
kotouče**

**Particular Transmission for Propelling
a Cable Pulley**

BAKALÁŘSKÁ PRÁCE

2017

David POLÁK

Studijní program: B2342 TEORETICKÝ ZÁKLAD STROJNÍHO INŽENÝRSTVÍ

Studijní obor: 2301R000 Studijní program je bezoborový

Vedoucí práce: prof. Ing. Vojtěch Dynybyl Ph.D.

ČESTNÉ PROHLÁŠENÍ

Prohlašuji, že jsem bakalářskou práci „Speciální převodovka pro pohon lanového kotouče“ vypracoval sám s pomocí vedoucího práce. K vypracování jsem používal pouze literaturu uvedenou v přiloženém seznamu.

V Praze dne

David Polák

PODĚKOVÁNÍ

Rád bych poděkoval panu prof. Ing. Vojtěchu Dynybylovi Ph.D., za ochotu, vstřícnost, podporu, věcné a cenné rady při vedení této bakalářské práce.

Dále bych rád poděkoval své rodině za psychickou podporu při vypracování bakalářské práce a za celoživotní podporu.

ANOTAČNÍ LIST

Jméno autora: David POLÁK

Název práce: Speciální převodovka pro pohon lanového kotouče

Anglický název: Particular Transmission for Propelling a Cable Pulley

Rok: 2017

Studijní program: B2342 Teoretický základ strojního inženýrství

Obor studia: 2301R000 Studijní program je bezoborový

Ústav: Ústav konstruování a částí strojů

Vedoucí práce: prof. Ing. Vojtěch DYNÝBYL Ph.D.

Konzultant: X

Bibliografické údaje: počet stran 58

počet obrázků 44

počet tabulek 0

počet příloh 12

Klíčová slova: Převodový mechanismus, návrh, konstrukce, CARGO tramvaj, ozubené kolo, lanový kotouč, CAD

Keywords: Transmission mechanism, design, construction, CARGO tram, gear, cable pulley, CAD

Anotace:

Tato bakalářská práce se zabývá postupem návrhu vodorovného vozíkového dopravníku na kontejnery a konstrukcí převodového mechanismu pro tento dopravník. Nejdříve se zabývá rešerší nákladní tramvajové dopravy. Následně je koncepcně navrhnut vodorovný vozíkový dopravník na kontejnery, pro který je vypočítán převodový mechanismus. Tento mechanismus je vytvořen jako CAD model a z něho je odvozena výkresová dokumentace.

Abstract:

This bachelor thesis is about the design process of horizontal car-type conveyor for containers and construction of transmission mechanism for this conveyor. First of all it deals with recherche of freight tram transport. Afterwards horizontal conveyor is conceptually designed. For this horizontal car-type conveyor for containers is transmission mechanism calculated. This mechanism is made as a CAD model from which documentation is derived.

OBSAH

Seznam symbolů a zkratka	1
1. Úvod	4
2. Rešerše	5
2.1. CARGO tramvaj Curych	5
2.2. CARGO tramvaj Drážďany	6
3. Návrhová část	7
3.1. Návrh tvaru vodorovného dopravníku	7
3.1.1. Koncept žebříku	7
3.1.2. Koncept oválu	7
3.1.3. Koncept výhybny	8
3.2. Rozměry vozíku	9
3.3. Připojení vozíků k lanu	9
3.4. Nadzvedávání vozíku	10
3.5. Napínání lana	11
4. Výpočtová část převodovky	12
4.1. Návrhové výpočty	12
4.2. Návrh elektromotoru	13
4.3. Návrh převodu	14
4.4. Výpočet momentů	15
4.5. Výpočet otáček na hřídelích	15
4.6. Výpočet modulů	16
4.7. Vypočet šířky pastorků a ozubených kol	18
4.8. Výpočet korekcí pastorků a ozubených kol	19
4.9. Výpočet průměru hřidel	23
4.10. Návrh pružné spojky	24
4.11. Návrh zubové spojky	24
4.12. Silové poměry	25
4.13. Výpočet reakcí v podporách	28
4.13.1. Hřidel I	28
4.13.2. Hřidel II	29
4.13.3. Hřidel III	31
4.13.4. Hřidel IV	32
4.13.5. Hřidel V	33
4.14. Návrh ložisek	34
4.14.1. Hřidel I	35
4.14.2. Hřidel II	36
4.14.3. Hřidel III	37
4.14.4. Hřidel IV	37
4.14.5. Hřidel V	39
4.15. Statická kontrola	40
4.15.1. Hřidel I	40
4.15.2. Hřidel II	41

4.15.3.	Hřídel III	42
4.15.4.	Hřídel IV	44
4.15.5.	Hřídel V	45
4.16.	Dynamická kontrola	46
4.17.	Kontrola tuhosti hřídele	47
4.17.1.	Kontrola torzní tuhosti	47
4.17.2.	Kontrola ohybové tuhosti	48
4.18.	Uložení náboj-hřídel	49
4.18.1.	Pero na vstupním hřídeli a pružné spojce	49
4.18.2.	Nalisování kola 2	50
4.18.3.	Nalisování kola 4	52
4.18.4.	Nalisování kola 6	53
4.18.5.	Nalisování kola 8	54
4.18.6.	Evolventní drážkování na výstupním hřídeli a zubové spojce	54
4.19.	Napínací síla	55
5.	Závěr	57
Seznam použité literatury		59
Seznam obrázků		61

SEZNAM SYMBOLŮ A ZKRATEK

m [kg] [t]	hmotnost
ρ [t/m ³]	objemová hustota
V [m ³]	objem
n [-] [ot/min]	počet vozíků, otáčky
g [m/s ²]	gravitační zrychlení
ξ [-]	součinitel (dále upřesněno v textu)
F [N] [kN]	síla, reakce v ložisku F
P [kW]	výkon
v [m/s]	rychlosť
η [-]	účinnosť
D [mm] [m]	průměr
i [-]	převodový poměr
z [-]	počet zubů
ω [-]	úhlová rychlosť
M_K [Nm] [Nmm]	kroutící moment
d [mm]	roztečný průměr
K_A [-]	součinitel vnějších dynamických sil
$K_{H\beta}$ [-]	součinitel nerovnoměrnosti zatížení zubů po šířce
b_{WH}/d	poměrná šířka
σ_{Hlim} [MPa]	mez únavy v dotyku
u [-]	převodové číslo
m_n [mm]	normálny modul
β [°]	úhel sklonu zuba
b [mm]	šířka pastorku nebo ozubeného kola
a [mm]	osová vzdáenosť
a_{CSN} [mm]	normalizovaná hodnota osové vzdáenosťi
Δ [mm]	rozdíl mezi vypočítanou a normalizovanou osovou vzdáenosťí
α_n [°]	úhel záběru nástroje
α_t [°]	úhel záběru nástroje v čelní rovině
α_{tw} [°]	korigovaný úhel záběru nástroje v čelní rovině
$inv\alpha_t$ [rad]	evolventní funkce involuta úhlu α_t
$\tilde{\alpha}_t$ [rad]	úhel záběru nástroje v čelní rovině v obloukové míře
$inv\alpha_{tw}$ [rad]	evolventní funkce involuta úhlu α_{tw}
x [-]	součinitel posunutí nástroje
τ [MPa]	smykové napětí
W_k [mm ³]	průřezový modul v krutu
k [-]	bezpečnosť
d_w [mm]	valivá kružnice

β_w [°]	valivý úhel sklonu zuba
α_{nw} [°]	valivý úhel záběru nástroje
F_T [N]	tečná síla
F_R [N]	radiální síla
F_A [N]	axiální síla
A_x [N]	(případně jiné písmeno) reakce v ložisku A v rovině radiálních a axiálních sil
a [mm]	(případně jiné písmeno) vzdálenost
A_y [N]	(případně jiné písmeno) reakce v ložisku A v rovině tečných sil
A [N]	(případně jiné písmeno) výsledná reakce v ložisku A
L_h [hod]	trvanlivost ložiska
C [kN]	dynamická únosnost ložiska
C_0 [kN]	statická únosnost ložiska
P [kN]	ekvivalentní zatížení ložiska
p [-]	exponent trvanlivosti
e [-]	výpočtový součinitel z katalogu SKF
Y [-]	výpočtový součinitel z katalogu SKF
K_A [kN]	axiální síla
M_{oxz} [Nmm]	ohybový moment v rovině xz
M_{oyz} [Nmm]	ohybový moment v rovině yz
M_o [Nmm]	výsledný ohybový moment
W_o [mm ³]	průřezový modul v ohybu
σ_o [MPa]	ohybové napětí
σ_{ored} [MPa]	redukované ohybové napětí
α [-] [1/°C] [°]	pevnostní součinitel, součinitel tepelné roztažnosti, úhel opásání
Re [MPa]	mez kluzu
φ [°]	úhel nakroucení, úhel sklonu
G [MPa]	modul pružnosti ve smyku
l_i [mm]	délka dílcího úseku
I_{pi} [mm ⁴]	polární kvadratický moment průřezu
θ [°/mm] [°/m]	nakroucení na jednotku délky
γ_D [mm]	dovolený průhybu
γ [mm]	průhyb
φ_D [°]	dovolený úhel sklonu
p [MPa]	tlak
h [mm]	výška pera
l_a [mm]	funkční délka pera
L [mm]	délka nalisovaného spoje
f [-]	součinitel tření
d_H [mm]	průměr lisovaného průměru hřídele

D_N [mm]	průměr lisovaného průměru náboje
C_N [-]	geometrická konstanta
Δd [mm]	přesah
σ [MPa]	hlavní napětí
σ_{kt} [MPa]	mez kluzu
v [mm]	minimální vůle pro uložení H7/g6
ΔT [°C]	potřebný rozdíl teplot náboje a hřídele pro nalisování
E [MPa]	Youngův modul pružnosti v tahu

1. Úvod

S přibývající dopravou začíná být odvoz odpadu z Prahy čím dál větší problém. Popelářská auta tvoří kolony před spalovnou v Malešicích a v jiných částech města. Tento problém je třeba řešit.

Řešením může být využití jiných způsobů dopravy odpadu z města. Tato práce vychází z konceptu odvážení odpadu pomocí tramvajové sítě. Kvůli nákupu nových a moderních tramvají jsou staré tramvaje Tatra T3 odstavovány a nevyužívány, přestože jsou stále plně funkční. Po odstranění střechy a vyztužení nosného rámu by se mohlo využívat tramvají Tatra T3 jako nákladních tramvají. Tyto tramvaje by měly za úkol odvézt kontejnery s odpadky na okraj města, odkud by se dále odvážely pomocí nákladních vozů na skládky nebo do jiných spaloven.

V první kapitole jsem provedl rešerši konceptu nákladních tramvají ve městě. Konkrétně jsem se zabýval městem Curych, ve kterém se tramvaje používají pro odvoz velkoobjemového odpadu z města, a městem Drážďany, kde tramvajovou síť využívá automobilka VW.

V druhé kapitole jsem vypracoval koncepční návrh vodorovného vozíkového dopravníku na kontejnery. Zabýval jsem se konkrétními místy a problémy dopravníku.

V poslední výpočtové kapitole jsem se zabýval návrhem převodového mechanismu pro dopravník, který jsem navrhl v druhé kapitole. Na základě výpočtů jsem vytvořil 3D model a z něho vytvořil 2D výkresy.

2. Rešerše

V této části mé bakalářské práce jsem zjišťoval, zdali v Evropě existuje koncept nákladních tramvají, který pomáhá odstranění nákladních aut z měst. Zjistil jsem, že ve švýcarském městě Curych odváží tramvaj velkoobjemový odpad a v německém městě Drážďany jezdí tramvaj, která sváží autodíly do automobilky VW.

2.1. CARGO tramvaj Curych

Tramvaje byly dříve využívány pro nákladní dopravu z vlakového nádraží do výrobních podniků, které byly postaveny daleko od vlakového nádraží. Tohoto konceptu se snaží využívat ve švýcarském Curychu.

CARGO tramvaj vznikla jako reakce na nelegální vyhazování velkoobjemového odpadu. Dříve bylo v Curychu nelegálně ročně vyhozeno okolo 300 tun velkoobjemového odpadu. Obyvatelé museli s odpadem do skládkového dvora, který bohužel nebyl pro všechny dobře dostupný. Kvůli tomu byla vyrobena CARGO tramvaj, která má tažný vůz a dva ploché vozíky, na nichž jsou umístěny standardní odpadní kontejnery (Obr. 1). [1]



Obr. 1.: CARGO tramvaj v Curychu

CARGO tramvaj v Curychu poprvé vyjela 15. dubna roku 2003 a v tento den bylo vybráno 7,7 tun velkoobjemového odpadu, což se dá považovat za velký úspěch. Tramvaje jezdí do různých částí města a mají svůj předepsaný jízdní řád (viz příloha A). Maximální hmotnost jednotlivého odpadku je 40 kg a maximální rozměr je 2,5 m. [1] [2]

2.2. CARGO tramvaj Drážďany

Automobilka Volkswagen vybudovala v německých Drážďanech transparentní továrnu pro výrobu elektromobilu VW Phaeton. Továrna měla být co nejvíce přístupná veřejnosti, a proto musela být umístěná ve městě. Pro Drážďany by to ovšem znamenalo zatížení dopravního systému města a zhoršení životního prostředí kvůli nákladním vozům, které měly vozit autodíly do továrny. Z tohoto důvodu automobilka VW a DVB (Dresdner Verkehrsbetriebe AG), místní provozovatel městské hromadné dopravy, vyvinuli CARGO tramvaj, která dováží autodíly do automobilky. [3]

CARGO tramvaj v Drážďanech je 59,4 m dlouhá, 2,2 m široká a uveze až 60 t autodílů, které se nakládají a vyklá dají pomocí stahovací boční stěny vozu (Obr. 2). Ovzduší města se díky CARGO tramvajím nezhoršuje, protože s každou jízdou tramvaje se ušetří tři jízdy nákladních vozů centrem města. První jízda CARGO tramvaje byla 1. března roku 2001. Projekt byl bohužel pozastaven v dubnu roku 2016 z důvodu ukončení výroby elektromobilů VW Phaeton. V továrně se již začal vyrábět nový typ elektromobilů VW e-Golf. Jedna z původních dvou CARGO tramvají je opět v provozu a v listopadu roku 2017 by měly být v provozu obě tramvaje. [3] [4]



Obr. 2.: CARGO tramvaj v továrně VW

3. Návrhová část

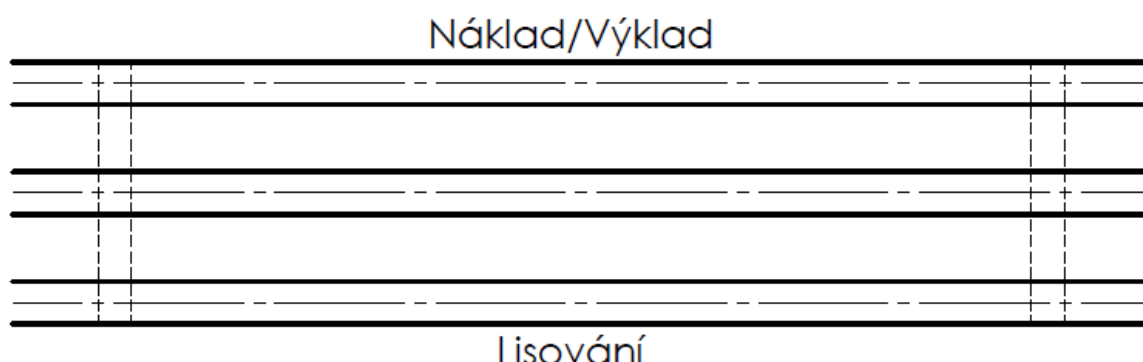
V praktické části se věnuji koncepčnímu návrhu celého dopravníku. Pro jednoduchost dopravníku jsem uvažoval doprovádění kontejnerů pomocí železničních vozíků, na kterých jsou umístěny kontejnery. Kontejnery jsou plněny pásovým dopravníkem, následně je odpad lisován a poté je vozík dopraven na místo, kde budou kontejnery vykládány a nakládány z vozíků na tramvaj pomocí svislého dopravníku.

3.1. Návrh tvaru vodorovného dopravníku

Základní parametr pro návrh vodorovného vozíkového dopravníku na kontejnery byla nezávislost lisování odpadků na nakládání a vykládání kontejnerů kvůli co největší plynulosti pracoviště. Dále uvádím tři různé koncepty dopravníků a jejich výhody a nevýhody.

3.1.1. Koncept žebříku

Tento koncept vychází z Obr. 3, kde tučná plná čára značí kolej, tenká čerchovaná tažné lano a tenká čárkovaná čára značí svislý dopravník, který přenáší jednotlivé vozíky z kolejí na kolej.



Obr. 3.: Koncept žebříku

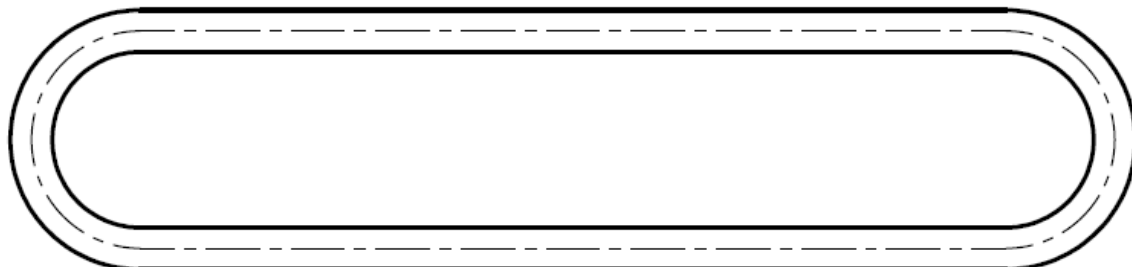
Technologicky je tento koncept velmi složitý a jeho provedení by bylo velmi drahé z důvodu přenosu vozíků. Pohyb vozíků po kolejích by musel být zajištěn pomocí tažných lan, která by byla na sobě nezávislá, nebo by musel být každý vozík motorizován. Logistika celého pracoviště by byla také velmi složitá.

Výhodou tohoto konceptu je minimální náročnost na rozměry dopravníku.

3.1.2. Koncept oválu

Koncept oválu vychází z Obr. 4, kde tučná plná čára značí kolej dopravníku a tenká čerchovaná čára značí tažné lano dopravníku.

Náklad/Výklad



Lisování

Obr. 4.: Koncept oválu

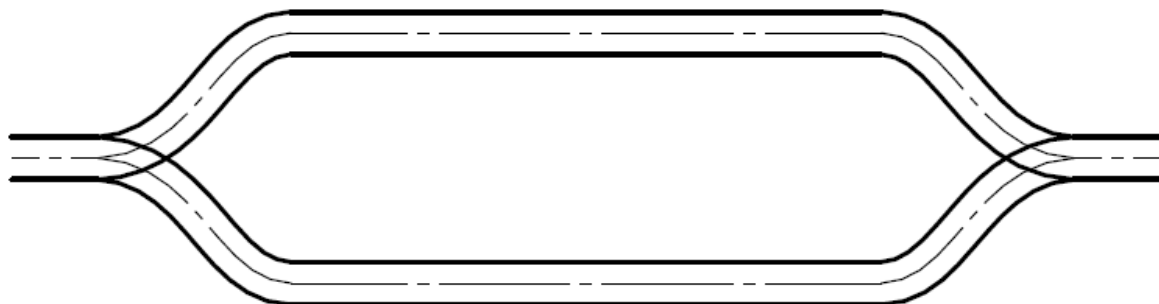
Výhodou tohoto konceptu je technologická a logistická jednoduchost vodorovného vozíkového dopravníku. Pro dopravu celého dopravníku by stačil pouze jeden pohon. Koncept oválného dopravníku bohužel nesplňuje nezávislost nákladu a výkladu kontejnerů na lisování. Tento nedostatek by se dal řešit posuvným svislým dopravníkem na náklad a výklad kontejnerů. Tudíž náklad a výklad vozíků by byly flexibilní a podřizovaly se lisování.

Kvůli předpokladu železniční dopravy vozíků by byl oválný dopravník velmi rozměrný (vnější rádius by byl příliš velký). Vnitřní prostor oválu by byl nejspíš nevyužitý. Rádiusy oválu by se daly zmenšit, pokud by nápravy vozíků byly naklápací.

3.1.3. Koncept výhybny

Koncept výhybny je inspirován výhybnami železniční dopravy. Vychází z Obr. 5, kde tučná černá čára značí kolej a tenká čerchovaná čára značí tažné lano.

Náklad/Výklad



Lisování

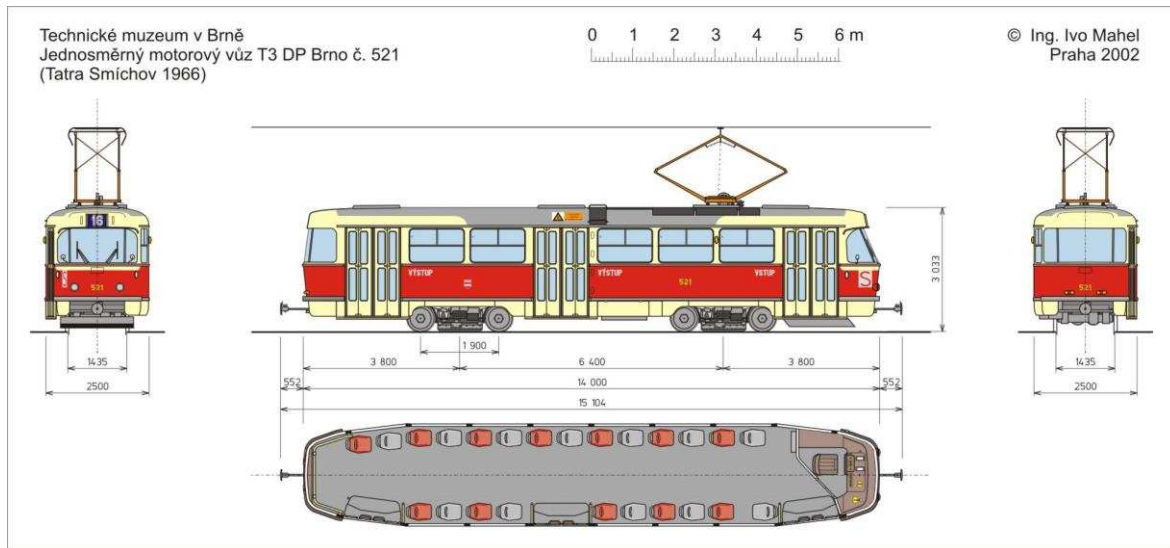
Obr. 5.: Koncept výhybny

Z obrázku je poznat, že koncept výhybny používá dvě na sobě nezávislá tažná lana. Rychlosť nákladu a výkladu kontejnerů je tedy nezávislý na rychlosti plnění a lisování kontejnerů. Největší technologická náročnost je v připojení a následného přepojení vozíku k příslušnému lanu. Konce kolejí by musely být opatřeny zarážedly.

Největší výhodou konceptu výhybny vidím v relativně malé prostorové náročnosti a relativně jednoduché technologičnosti. Pro další postup návrhu vodorovného vozíkového dopravníku na kontejnery vycházím z tohoto konceptu.

3.2. Rozměry vozíku

Při návrhu rozměrů nákladních vozíků jsem vycházel z rozměrů tramvaje Tatra T3 (Obr. 6.).

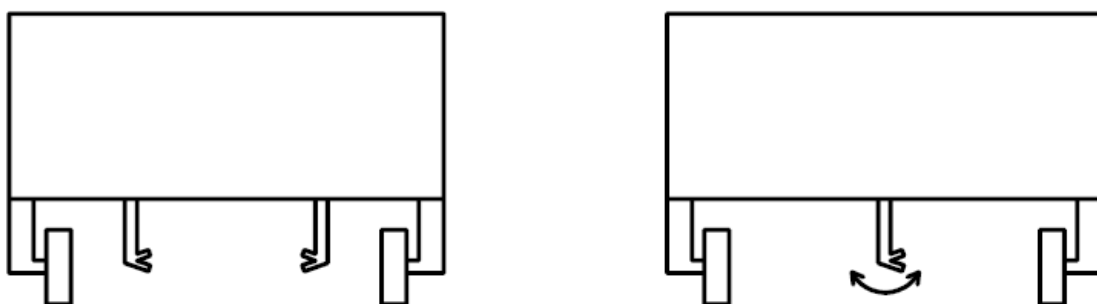


Obr. 6.: Rozměry tramvaje Tatra T3

Z rozměrů tramvaje jsem s ohledem na manipulaci kontejnerů a nosnosti tramvaje zvolil rozměry kontejnerů na 5x2x2 metru. Z těchto rozměrů se odvíjejí i plošné rozměry nákladních vozíků na 5x2 metru.

3.3. Připojení vozíků k lanu

Připojení vozíků k tažnému lanu je obdobné jako např. u lyžařského vleku. Problém je v přepojování vozíku z jednoho lana na druhý. Vozík by musel mít dva závěsné systémy na tažné lano. Pokud by měl mít pouze jeden závěsný systém, tak by bylo nutné, aby měl závěsný systém otočnou hlavu.

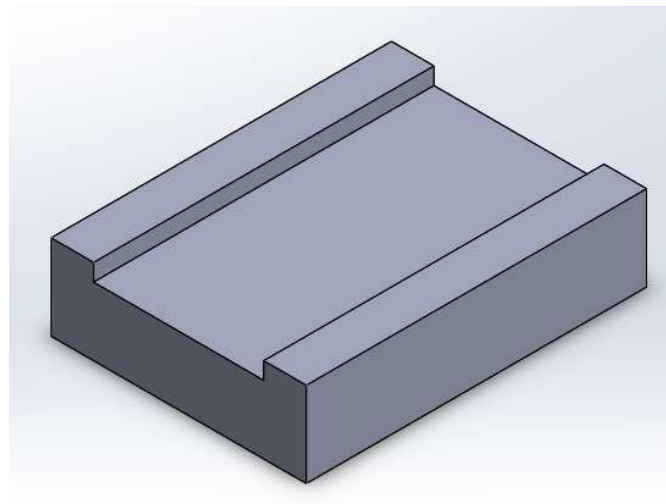


Obr. 7.: Vlevo dva závěsné systémy, vpravo závěsný systém s otočnou hlavou

Na Obr. 7 si nelze nevšimnout, že jsem navrhl zavěšení kol z vnější strany vozíku. Zavěšení kol z vnější strany umožňuje nadzvedávání vozíku pomocí vysouvacího betonového bloku. Tento blok bude vysouván během lisování odpadu.

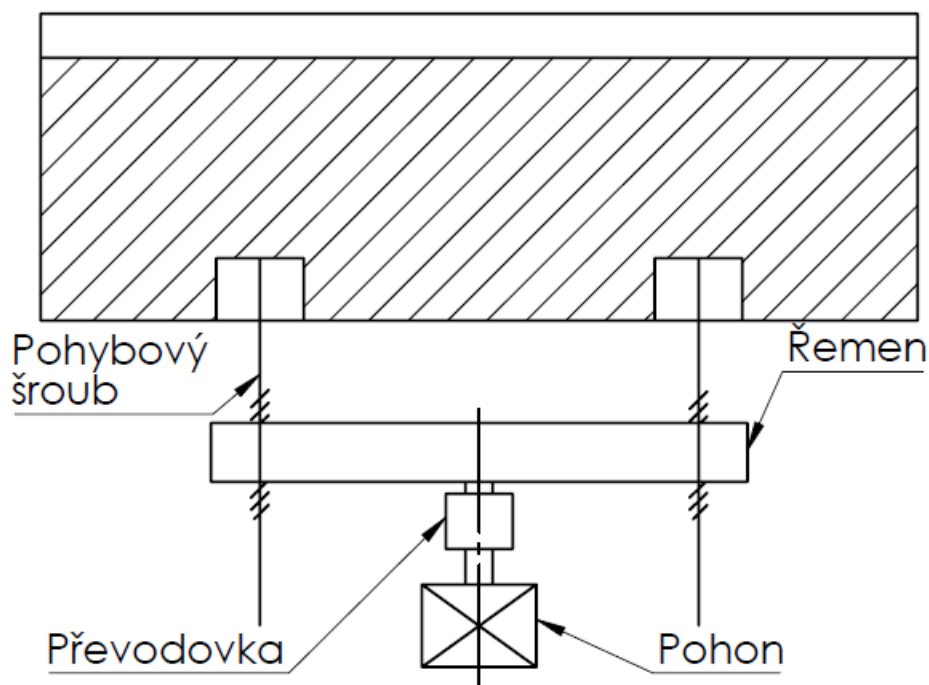
3.4. Nadzvedávání vozíku

Důležitá část celého dopravníku je nadzvedávání vozíku kvůli lisování pomocí bloku betonu (Obr. 8). Toto nadzvednutí je nutné, aby lisovací síla nepůsobila v ložiscích zavěšeného kola. Vybrání betonového bloku je nutné z důvodu zavěšení vozíku k tažnému lanu, které je uprostřed kolejnice.



Obr. 8.: Betonový blok

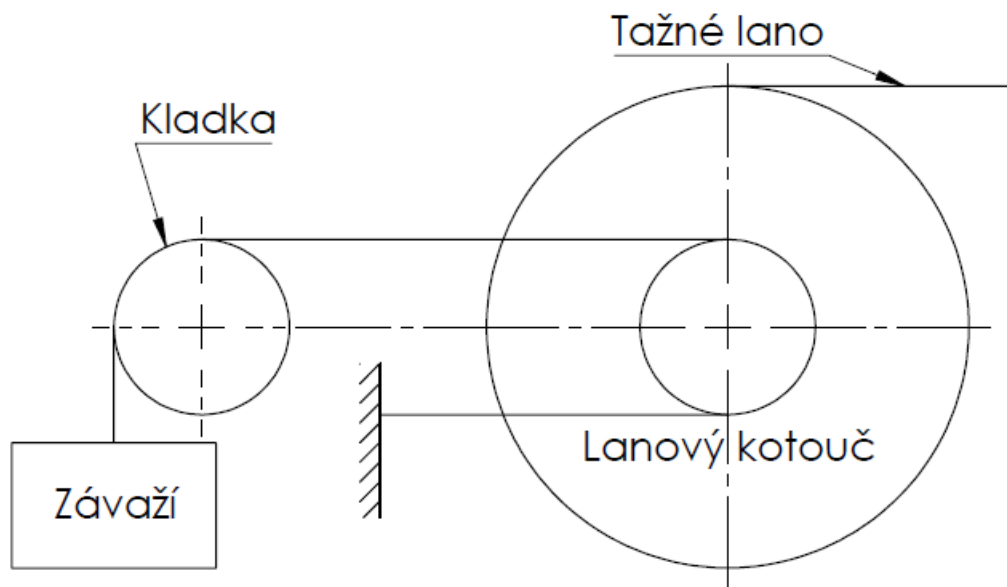
Betonový blok je nadzvedáván pomocí pohybových šroubů, které jsou šroubovány v matici řemenice. Schéma zvedání betonového bloku je na Obr. 9.



Obr. 9.: Koncepční schéma zvedání betonového bloku

3.5. Napínání lana

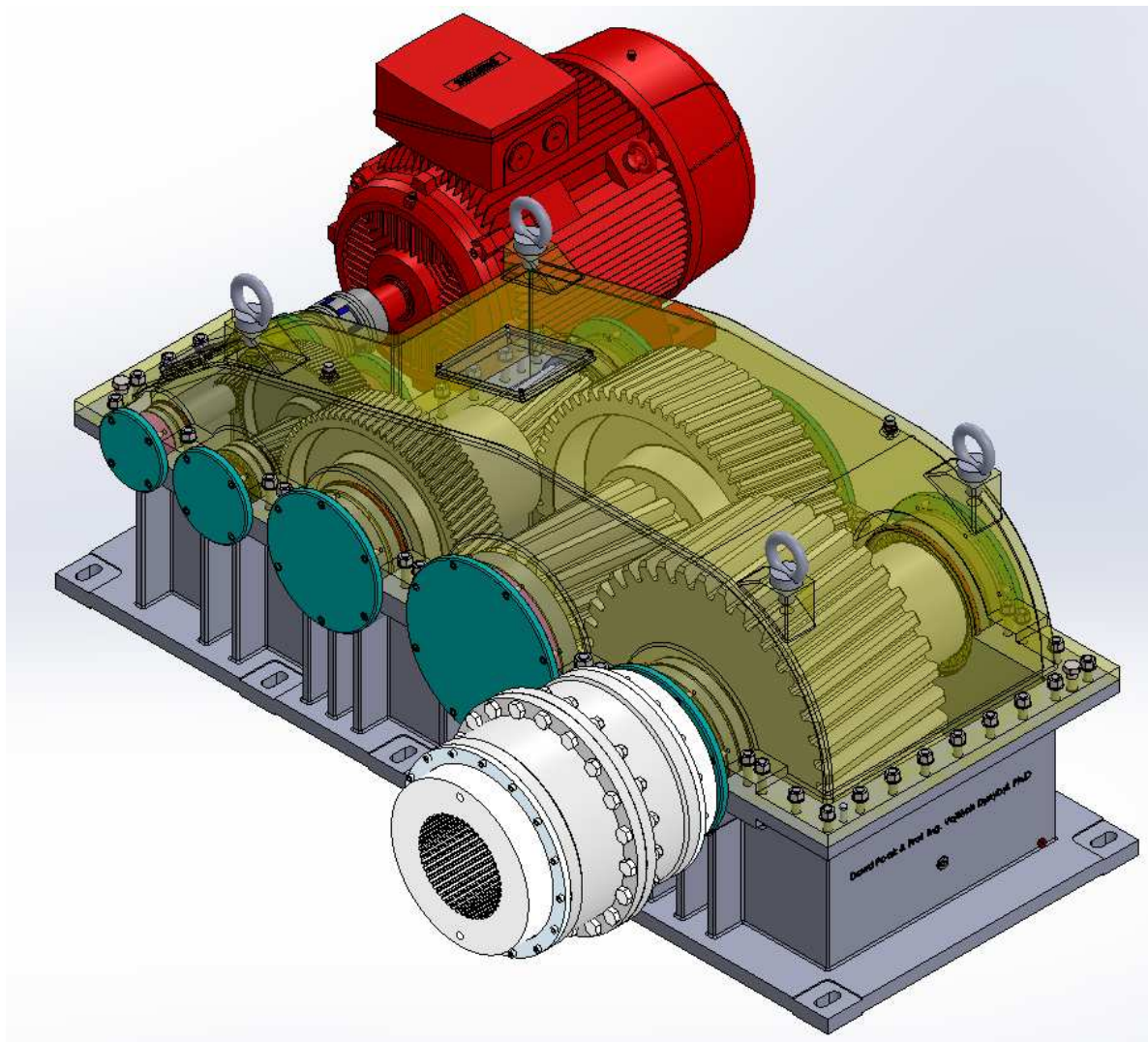
Napínání tažného lana dopravníku je velmi důležité, protože pokud bychom nedosáhli dostatečného předpětí lana, tak by lano v kladce prokluzovalo. Ve výpočtové části bakalářské práce se zmíním o Eulerově vztahu opásání a výpočtu napínací síly. Lano bude napínáno pomocí kladky podle Obr. 10.



Obr. 10.: Napínání tažného lana

4. Výpočtová část převodovky

V této části se věnuji návrhu a výpočtu čtyřstupňové čelní převodovky (Obr. 11).



Obr. 11.: Čtyřstupňová čelní převodovka

4.1. Návrhové výpočty

Délku jedné kolej dopravníku jsme stanovili na 120 metrů. V kapitole 3.2 Rozměry vozíku jsem stanovil délku vozíku na 5 metrů. Se započítáním místa na manipulaci jsme určili, že na jedné kolej bude maximálně 18 vozíků.

Objemová hustota neslisovaného odpadu se pohybuje okolo 0,5 [t/m³]. Kvůli maximální nosnosti tramvaje Tatra T3 10 tun na jednu nápravu jsme stanovili lisování na objemovou hustotu 0,6 [t/m³]. Hmotnost odpadků v kontejneru je tedy:

$$m_{odpadky} = V_{kontejner} \cdot \rho_{odpadky} = 5 \cdot 2 \cdot 2 \cdot 0,6 = 12 [t] \quad (1)$$

Rychlosť, ktorou se budou vozíky pohybovať jsme stanovili na 0,1 [m/s]. Uvažovaná hmotnosť vozíku je 1 tuna a hmotnosť kontejneru jsou 2 tuny. Sílu působící v laně jsem vypočítal dle následujícího vzorce

$$\begin{aligned} F_{tažná} &= (m_{vozík} + m_{odpadky} + m_{kontejner}) \cdot n \cdot g \cdot \xi \\ &= (1\ 000 + 12\ 000 + 2\ 000) \cdot 18 \cdot 9,81 \cdot 0,15 = 397 \text{ [kN]} \end{aligned} \quad (2)$$

Kde n je počet vozíků, g je gravitační zrychlení a ξ je výpočtový součinitel.

Z normy ČSN EN 12385-4 jsem odečetl potřebný průměr lana 28 [mm] pro pevnostní třídu 1770. U lana s duší z oceli se uvádí minimální síla při přetržení 494 [kN]. [5]

Následně jsem z normy ČSN 27 1820 odečetl potřebný průměr lanového kola 500 [mm]. [6]

Potřebný výkon bubnu jsem vypočítal pomocí vzorce

$$P_B = \frac{F_{tažná} \cdot v_{tažná}}{\xi_{výkon}} = \frac{397\ 000 \cdot 0,1}{0,8} = 50 \text{ [kW]} \quad (3)$$

Kde $\xi_{výkon}$ je součinitel bezpečnosti výkonu.

Průměr hřídele bubnu D_B jsem předběžně stanovil z pevnostního výpočtu v krutu, kde jsem uvažoval $\tau_D = 30 \text{ [Nmm}^{-2}\text{]}$.

$$D_B = \sqrt[3]{\frac{16 \cdot M_k}{\pi \cdot \tau_D}} = \sqrt[3]{\frac{16 \cdot 397\ 000 \cdot 250}{\pi \cdot 30}} = 256,1 \cong 260 \text{ [mm]} \quad (4)$$

Kde M_k je kroutící moment bubnu a τ_D je dovolené napětí v krutu.

4.2. Návrh elektromotoru

Elektromotor jsem navrhoval z vypočteného výkonu bubnu.

$$P'_m = \frac{P_B}{\eta_c} \quad (5)$$

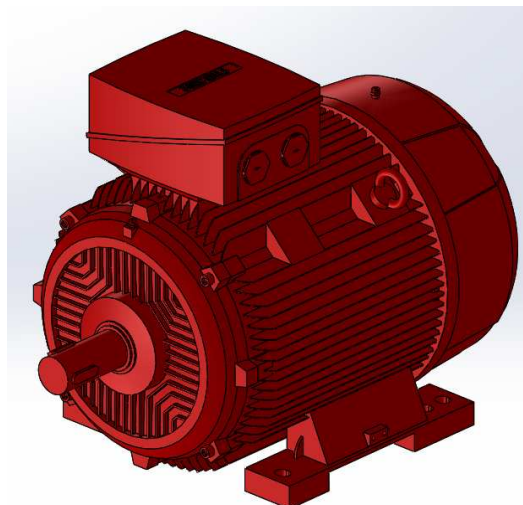
Kde η_c je celková účinnost převodového mechanismu

$$\eta_c = \eta_{12} \cdot \eta_{34} \cdot \eta_{56} \cdot \eta_{78} \cdot \eta_B = 0,98 \cdot 0,98 \cdot 0,98 \cdot 0,98 \cdot 0,95 = 0,88 \text{ [-]} \quad (6)$$

Kde η_{12} , η_{34} , η_{56} a η_{78} je účinnost soukolí a η_B je účinnost bubnu.

Celkovou účinnost jsem dosadil do vztahu (4)

$$P'_m = \frac{P_B}{\eta_c} = \frac{49\ 700}{0,88} = 57 \text{ [kW]} \quad (7)$$



Obr. 12.: Elektromotor SIEMENS 1LE1502-3AD23

Elektromotor SIEMENS 1LE1502-3AD23 (Obr. 12), s výkonem 75 [kW] a otáčkami 738 [ot/min], byl motor s nejbližším vyšším výkonem. Proto jsem ho vybral jako pohon k mému převodovému mechanismu. [7]

4.3. Návrh převodu

Nejdříve bylo potřeba vypočítat obvodovou rychlosť bubnu

$$v_B = \frac{D_B}{D_{lano}} \cdot v_{tažná} = \frac{260}{500} \cdot 0,1 = 0,052 [m \cdot s^{-1}] \quad (8)$$

Kde D_B je průměr hřídele bubnu a D_{lano} je průměr lanového kola.

Následně jsem spočítal otáčky na bubnu

$$n'_B = \frac{60 \cdot v_B}{\pi \cdot D_B} = \frac{60 \cdot 0,052}{\pi \cdot 0,26} = 3,8 [ot \cdot min^{-1}] \quad (9)$$

Celkový návrhový převod je

$$i'_C = \frac{n_M}{n'_B} = \frac{738}{3,8} = 193,2 [-] \quad (10)$$

Kde n_M jsou otáčky motoru a n'_B jsou otáčky bubnu

Následně bylo potřeba navrhnut počet zubů na jednotlivých soukolích. Pro větší plynulost a nejmenší rozměry převodového mechanismu jsem volil co možná největší převodový poměr na prvním soukolí. Zároveň nekorigovaná osová vzdálenost se nesměla lišit od normalizované vzdálenosti o více než 0,3 modulu soukolí. Snažil jsem se, aby převodový poměr soukolí nevyšel jako celé číslo kvůli opotřebení ozubeného kola a pastorku. Na pastorku číslo 1 jsem volil 19 zubů a na ozubeném kole číslo 2 jsem volil 103 zubů. Převodový poměr soukolí 12 je

$$i_{12} = \frac{z_2}{z_1} = \frac{103}{19} = 5,4 [-] \quad (11)$$

Kde z_1 je počet zubů na pastorku číslo 1 a z_2 je počet zubů na ozubeném kole číslo 2.

Obdobně jsem postupoval i u dalších soukolí

$$i_{34} = \frac{z_4}{z_3} = \frac{82}{18} = 4,6 [-] \quad (12)$$

$$i_{56} = \frac{z_6}{z_5} = \frac{64}{19} = 3,4 [-] \quad (13)$$

$$i_{78} = \frac{z_8}{z_7} = \frac{38}{17} = 2,2 [-] \quad (14)$$

Celkový převodový poměr převodového mechanismu je

$$i_C = i_{12} \cdot i_{34} \cdot i_{56} \cdot i_{78} = 5,4 \cdot 4,6 \cdot 3,4 \cdot 2,2 = 185,9 [-] \quad (15)$$

4.4. Výpočet momentů

Moment na vstupním hřídeli jsem vypočítal z parametrů motoru

$$M_{kI} = \frac{P_M}{\omega_M} = \frac{P_M}{2 \cdot \pi \cdot n_M} = \frac{1000 \cdot P_M}{2 \cdot \pi \cdot 60} = 9550 \cdot \frac{P_M}{n_M} = 9550 \cdot \frac{75}{738} = 970,5 [Nm] \quad (16)$$

Kde M_{kI} je moment na vstupním hřídeli, P_M je výkon elektromotoru a n_M jsou otáčky elektromotoru.

Moment na hřídeli II lze vypočítat z momentu na předchozím hřídeli, převodového poměru soukolí a účinnosti soukolí.

$$M_{kII} = M_{kI} \cdot n_{12} \cdot \eta_{12} = 970,5 \cdot 5,4 \cdot 0,98 = 5156 [Nm] \quad (17)$$

Obdobně se vypočítají momenty na dalších hřidelích.

$$M_{kIII} = M_{kII} \cdot n_{34} \cdot \eta_{34} = 5156 \cdot 4,6 \cdot 0,98 = 23019 [Nm] \quad (18)$$

$$M_{kIV} = M_{kIII} \cdot n_{56} \cdot \eta_{56} = 23019 \cdot 3,4 \cdot 0,98 = 75987 [Nm] \quad (19)$$

$$M_{kV} = M_{kIV} \cdot n_{78} \cdot \eta_{78} = 75987 \cdot 2,2 \cdot 0,98 = 166456 [Nm] \quad (20)$$

4.5. Výpočet otáček na hřidelích

Otáčky na prvním hřídeli se rovnají otáčkám elektromotoru.

$$n_I = n_M = 738 [ot \cdot min^{-1}] \quad (21)$$

Otáčky na hřídeli II lze vypočítat pomocí otáček z předchozí hřidele a převodového poměru soukolí.

$$n_{II} = \frac{n_I}{i_{12}} = \frac{738}{5,4} = 136 [ot \cdot min^{-1}] \quad (22)$$

Obdobně se vypočítají otáčky na dalších hřidelích.

$$n_{III} = \frac{n_{II}}{i_{34}} = \frac{136}{4,6} = 29,9 [ot \cdot min^{-1}] \quad (23)$$

$$n_{IV} = \frac{n_{III}}{i_{56}} = \frac{29,9}{3,4} = 8,87 [ot \cdot min^{-1}] \quad (24)$$

$$n_V = \frac{n_{IV}}{i_{78}} = \frac{8,87}{2,2} = 3,97 [ot \cdot min^{-1}] \quad (25)$$

4.6. Výpočet modulů

Při výpočtu modulu ozubených kol lze vycházet z namáhání zuba v dotyku nebo ohybu. Dále budu popisovat postup pro namáhání zuba v dotyku. [8]

Pro výpočet roztečné kružnice pastorku vycházím ze vztahu

$$d' = f_H \sqrt[3]{\frac{K_H \cdot M_k}{(b_{WH}/d) \sigma_{HP}^2} \cdot \frac{u+1}{u}} \quad (26)$$

Kde „ $f_H = 690$ pro šikmé zuby“ [8]

„ $K_H = K_A \cdot K_{H\beta}$ “ [8]

„ K_A je součinitel vnějších dynamických sil. Vyhledá se v ČSN 01 4686 část 2. Ekvivalentní a směrodatné výpočtové zatížení. Závisí na zatěžování převodovky hnacím a hnaným (pracovním) strojem. Pro převodovku hnanou elektromotorem, která pohání dopravník je $K_A = 1,0$.“ [8]

„ $K_{H\beta}$ je součinitel nerovnoměrnosti zatížení zubů po šířce (ČSN 01 4686 část 4. Návrhový a zjednodušený kontrolní výpočet čelních ozubených kol).“ [8]

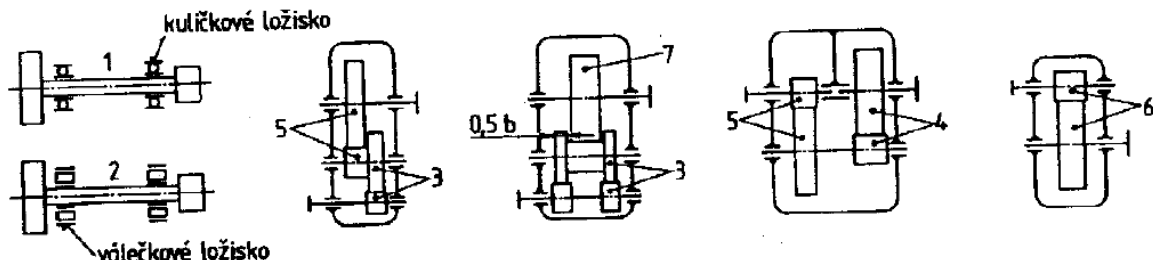
„ M_k je kroutící moment na hřídeli pastorku“ [Nm] [8]

b_{WH}/d je poměrná šířka a z tabulky jsem odečetl, že pro obě kola povrchově tvrzená (s výjimkou nitridace) se $b_{WH}/d=1,1$. [8]

„ $\sigma_{HP}=0,8\sigma_{Hlim}$ “ [8]

σ_{Hlim} je mez únavy v dotyku materiálu pastorku. Pro materiál 16 526 se $\sigma_{Hlim}=1330$ [MPa]. [8]

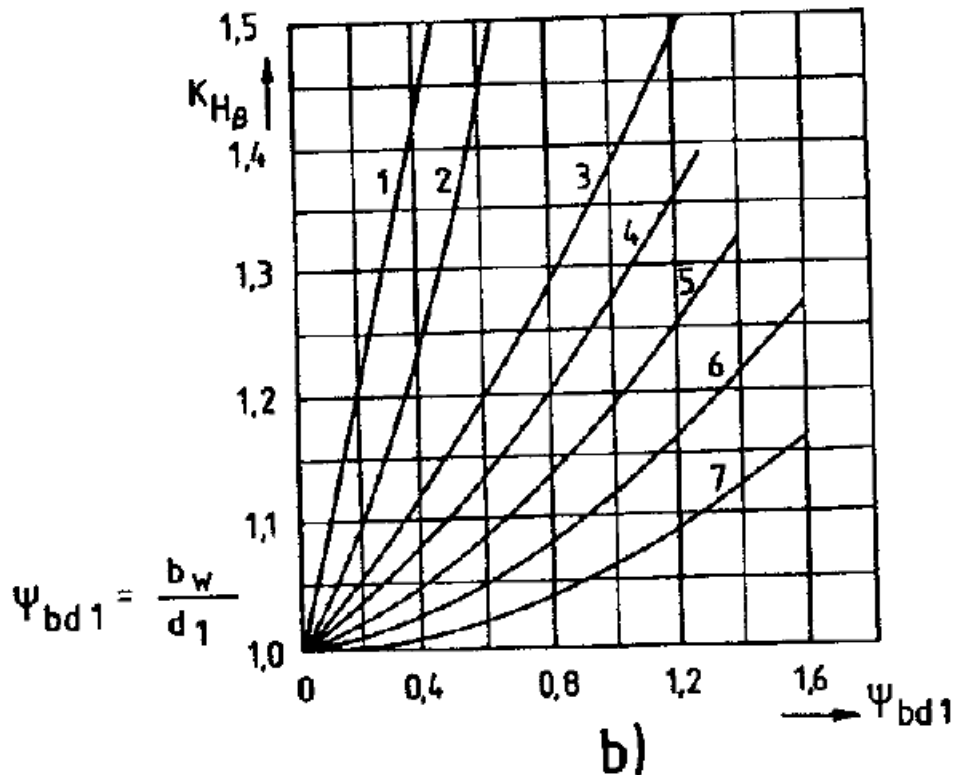
u je převodové číslo pro dané soukolí



Obr. 13.: Schéma pro určení křivky v diagramu $K_{H\beta}$

Pro výpočet návrhové roztečné kružnice pastorku jsem z diagramu odečetl součinitel nerovnoměrnosti zatížení zubů po šířce $K_{H\beta}$. Protože jsem zvolil materiál pastorku 16 526, který má tvrdost na boku zuba $V_{HV} = 650-700$ [HV], vyhledal jsem hodnotu $K_{H\beta}$ v diagramu platném pro $V_{HV}>350$ [HV] (Obr. 14). Pro odečet jsem určil z Obr. 13, že pro pastorek 1 je určující křivka 3. $K_{H\beta 1}$ je tedy roven 1,425. [8]

$$d'_1 = f_H \sqrt[3]{\frac{K_{H1} \cdot M_{kI}}{(b_{WH}/d)\sigma_{HP}^2} \cdot \frac{u_{12} + 1}{u_{12}}} = f_H \sqrt[3]{\frac{K_A \cdot K_{H\beta 1} \cdot M_{kI}}{(b_{WH}/d)(0.8 \cdot \sigma_{Hlim})^2} \cdot \frac{u_{12} + 1}{u_{12}}} = \\ = 690 \sqrt[3]{\frac{1 \cdot 1,425 \cdot 970,5}{1,1 \cdot (0.8 \cdot 1330)^2} \cdot \frac{5,4 + 1}{5,4}} = 75,6 [mm] \quad (27)$$


 Obr. 14.: Diagram pro odečtení $K_{H\beta}$

Návrh roztečných kružnic dalších pastorek jsem vypočítal obdobně. U pastorku číslo 3 je určující křivka 5. Po odečtení $K_{H\beta 3}$ je rovno 1,125. U pastorku číslo 5 je určující křivka 3. Po odečtení $K_{H\beta 5}$ je rovno 1,425. U pastorku číslo 7 je určující křivka 5. Po odečtení $K_{H\beta 7}$ je rovno 1,125.

$$d'_3 = f_H \sqrt[3]{\frac{K_{H3} \cdot M_{kII}}{(b_{WH}/d)\sigma_{HP}^2} \cdot \frac{u_{34} + 1}{u_{34}}} = f_H \sqrt[3]{\frac{K_A \cdot K_{H\beta 3} \cdot M_{kII}}{(b_{WH}/d)(0.8 \cdot \sigma_{Hlim})^2} \cdot \frac{u_{34} + 1}{u_{34}}} = \\ = 690 \sqrt[3]{\frac{1 \cdot 1,125 \cdot 5156}{1,1 \cdot (0.8 \cdot 1330)^2} \cdot \frac{4,6 + 1}{4,6}} = 123,1 [mm] \quad (28)$$

$$d'_5 = f_H \sqrt[3]{\frac{K_{H5} \cdot M_{kIII}}{(b_{WH}/d)\sigma_{HP}^2} \cdot \frac{u_{56} + 1}{u_{56}}} = f_H \sqrt[3]{\frac{K_A \cdot K_{H\beta 5} \cdot M_{kIII}}{(b_{WH}/d)(0.8 \cdot \sigma_{Hlim})^2} \cdot \frac{u_{56} + 1}{u_{56}}} = \\ = 690 \sqrt[3]{\frac{1 \cdot 1,425 \cdot 23019}{1,1 \cdot (0.8 \cdot 1330)^2} \cdot \frac{3,4 + 1}{3,4}} = 223,9 [mm] \quad (29)$$

$$d'_7 = f_H \sqrt[3]{\frac{K_{H7} \cdot M_{kIV}}{(b_{WH}/d)\sigma_{HP}^2} \cdot \frac{u_{78} + 1}{u_{78}}} = f_H \sqrt[3]{\frac{K_A \cdot K_{H\beta 7} \cdot M_{kIV}}{(b_{WH}/d)(0.8 \cdot \sigma_{Hlim})^2} \cdot \frac{u_{78} + 1}{u_{78}}} = \\ = 690 \sqrt[3]{\frac{1 \cdot 1,125 \cdot 75\,987}{1,1 \cdot (0.8 \cdot 1\,330)^2} \cdot \frac{2,2 + 1}{2,2}} = 319,6 [mm] \quad (30)$$

Pro výpočet roztečné kružnice se šikmými zuby platí

$$d = \frac{m_n \cdot z}{\cos(\beta)} \quad (31)$$

Kde m_n je normálny modul, β je úhel sklonu zuba a z je počet zubů na pastorku

Normálny modul lze vyjádřit jako

$$m_n = \frac{d \cdot \cos(\beta)}{z} \quad (32)$$

Úhel sklonu zuba na soukolí 12 jsem volil $\beta_{12}=12^\circ$, na soukolí 34 jsem volil $\beta_{34}=10^\circ$, na soukolí 56 jsem volil $\beta_{56}=8^\circ$ a na soukolí 78 jsem volil $\beta_{78}=6^\circ$. Normálné moduly jsem vypočítal a následně, pokud to bylo možné, zaokrouhlil na přednostní normalizovanou hodnotu dle tabulky ČSN 01 4608 (Obr. 15). [8]

$$m_{n12} = \frac{d'_1 \cdot \cos(\beta_{12})}{z_1} = \frac{75,6 \cdot \cos(12)}{19} = 3,9 \cong 4 [mm] \quad (33)$$

$$m_{n34} = \frac{d'_3 \cdot \cos(\beta_{34})}{z_3} = \frac{123,1 \cdot \cos(10)}{18} = 6,7 \cong 7 [mm] \quad (34)$$

$$m_{n56} = \frac{d'_5 \cdot \cos(\beta_{56})}{z_5} = \frac{223,9 \cdot \cos(8)}{19} = 11,7 \cong 12 [mm] \quad (35)$$

$$m_{n78} = \frac{d'_7 \cdot \cos(\beta_{78})}{z_7} = \frac{319,6 \cdot \cos(6)}{17} = 18,7 \cong 20 [mm] \quad (36)$$

<u>0,1</u>	<u>0,11</u>	<u>0,12</u>	<u>0,14</u>	<u>0,15</u>	<u>0,18</u>	<u>0,2</u>	<u>0,22</u>	<u>0,25</u>	<u>0,28</u>
<u>0,3</u>	<u>0,35</u>	<u>0,4</u>	<u>0,45</u>	<u>0,5</u>	<u>0,55</u>	<u>0,6</u>	<u>0,7</u>	<u>0,8</u>	<u>0,9</u>
<u>1</u>	<u>1,125</u>	<u>1,25</u>	<u>1,375</u>	<u>1,5</u>	<u>1,75</u>	<u>2</u>	<u>2,25</u>	<u>2,5</u>	<u>2,75</u>
<u>3</u>	<u>3,5</u>	<u>4</u>	<u>4,5</u>	<u>5</u>	<u>5,5</u>	<u>6</u>	<u>7</u>	<u>8</u>	<u>9</u>
<u>10</u>	11	<u>12</u>	14	<u>16</u>	18	<u>20</u>	22	<u>25</u>	28

Obr. 15.: Normalizované hodnoty modulu

4.7. Výpočet šířky pastorků a ozubených kol

Pro výpočet šířky pastorků a ozubených kol bylo nejdříve potřeba vypočítat průměry roztečných kružnic ozubených kol a pastorků pro stanovené moduly. Roztečné kružnice se vypočítají podle vztahu 31.

Dosazení hodnot jednotlivých ozubených kol a pastorků

$$d_1 = \frac{m_{n12} \cdot z_1}{\cos(\beta_{12})} = \frac{4 \cdot 19}{\cos(12)} = 77,7 [mm] \quad (37)$$

$$d_2 = \frac{m_{n12} \cdot z_2}{\cos(\beta_{12})} = \frac{4 \cdot 103}{\cos(12)} = 421,2 \text{ [mm]} \quad (38)$$

$$d_3 = \frac{m_{n34} \cdot z_3}{\cos(\beta_{34})} = \frac{7 \cdot 18}{\cos(10)} = 127,9 \text{ [mm]} \quad (39)$$

$$d_4 = \frac{m_{n34} \cdot z_4}{\cos(\beta_{34})} = \frac{7 \cdot 82}{\cos(10)} = 582,9 \text{ [mm]} \quad (40)$$

$$d_5 = \frac{m_{n56} \cdot z_5}{\cos(\beta_{56})} = \frac{12 \cdot 19}{\cos(8)} = 230,2 \text{ [mm]} \quad (41)$$

$$d_6 = \frac{m_{n56} \cdot z_6}{\cos(\beta_{56})} = \frac{12 \cdot 64}{\cos(8)} = 775,5 \text{ [mm]} \quad (42)$$

$$d_7 = \frac{m_{n78} \cdot z_7}{\cos(\beta_{78})} = \frac{20 \cdot 17}{\cos(6)} = 341,9 \text{ [mm]} \quad (43)$$

$$d_8 = \frac{m_{n78} \cdot z_8}{\cos(\beta_{78})} = \frac{20 \cdot 38}{\cos(6)} = 764,2 \text{ [mm]} \quad (44)$$

Šířku pastorek jsem vypočítal ze vztahu

$$b = (b_{WH}/d) \cdot d \quad (45)$$

Po dosazení jsem získal

$$b_1 = (b_{WH}/d) \cdot d_1 = 1,1 \cdot 77,7 = 85,4 \cong 85 \text{ [mm]} \quad (46)$$

$$b_3 = (b_{WH}/d) \cdot d_3 = 1,1 \cdot 127,9 = 140,7 \cong 141 \text{ [mm]} \quad (47)$$

$$b_5 = (b_{WH}/d) \cdot d_5 = 1,1 \cdot 230,2 = 253,2 \cong 253 \text{ [mm]} \quad (48)$$

$$b_7 = (b_{WH}/d) \cdot d_7 = 1,1 \cdot 341,9 = 376 \cong 400 \text{ [mm]} \quad (49)$$

Šířku pastorku 7 jsem musel zaokrouhlit na 400 [mm] kvůli výpočtu bezpečnosti pro dotyk. Výpočet této bezpečnosti jsem odečetl ze souboru Kontrola ozubení, který je k dostání na školním serveru SEPS. Výsledné tabulky kontroly ozubení uvádím v příloze B. [14]

Šířku kol jsem po doporučení z literatury [8] navrhoval o normálný modul menší než šířku pastorek.

$$b_2 = b_1 - m_{n12} = 85 - 4 = 81 \text{ [mm]} \quad (50)$$

$$b_4 = b_3 - m_{n34} = 141 - 7 = 134 \text{ [mm]} \quad (51)$$

$$b_6 = b_5 - m_{n56} = 253 - 12 = 241 \text{ [mm]} \quad (52)$$

$$b_8 = b_7 - m_{n78} = 400 - 20 = 380 \text{ [mm]} \quad (53)$$

4.8. Výpočet korekcí pastorek a ozubených kol

Nejdříve jsem vypočítal osovou vzdálenost soukolí.

$$a_{12} = \frac{m_{n12} \cdot (z_1 + z_2)}{2 \cdot \cos(\beta_{12})} = \frac{4 \cdot (19 + 103)}{2 \cdot \cos(12)} = 249,45 \text{ [mm]} \quad (54)$$

$$a_{34} = \frac{m_{n34} \cdot (z_3 + z_4)}{2 \cdot \cos(\beta_{34})} = \frac{7 \cdot (18 + 82)}{2 \cdot \cos(10)} = 355,40 \text{ [mm]} \quad (55)$$

$$a_{56} = \frac{m_{n56} \cdot (z_5 + z_6)}{2 \cdot \cos(\beta_{56})} = \frac{12 \cdot (19 + 64)}{2 \cdot \cos(8)} = 502,89 \text{ [mm]} \quad (56)$$

$$a_{78} = \frac{m_{n78} \cdot (z_7 + z_8)}{2 \cdot \cos(\beta_{78})} = \frac{20 \cdot (17 + 38)}{2 \cdot \cos(6)} = 553,03 \text{ [mm]} \quad (57)$$

Tyto hodnoty nejsou vhodné pro výrobu, proto ozubená kola a pastorky koriguji tak, aby hodnota osové vzdálenosti byla celé číslo. Hodnoty osových vzdáleností jsem volil podle normy ČSN 03 1014 Čelní ozubené převody pro převodovky viz Obr. 16. [8]

1. řada	40	50	63	80	100	125	160	200	250	315	400 atd.
2. řada			71	90	112	140	180	224	280	355	450 atd.

Obr. 16.: Normalizované rozměry osových vzdáleností

Pro soukolí 12 je normovaná osová vzdálenost $a_{\text{CSN}12}=250$ [mm], pro soukolí 34 je $a_{\text{CSN}34}=355$ [mm], pro soukolí 56 je $a_{\text{CSN}56}=500$ [mm] a pro soukolí 78 je $a_{\text{CSN}78}=550$ [mm]. Rozdíl osové vzdálenosti a normalizované vzdálenosti by se neměla lišit o více než 0,3 normálného modulu.

$$\Delta_{12} = |a_{12} - a_{\text{CSN}12}| = |249,45 - 250| = 0,55 < 1,2 = 0,3 \cdot 4 = 0,3 \cdot m_{n12} \quad (58)$$

$$\Delta_{34} = |a_{34} - a_{\text{CSN}34}| = |355,40 - 355| = 0,40 < 2,1 = 0,3 \cdot 7 = 0,3 \cdot m_{n34} \quad (59)$$

$$\Delta_{56} = |a_{56} - a_{\text{CSN}56}| = |502,89 - 500| = 2,89 < 3,6 = 0,3 \cdot 12 = 0,3 \cdot m_{n56} \quad (60)$$

$$\Delta_{78} = |a_{78} - a_{\text{CSN}78}| = |553,03 - 550| = 3,03 < 6 = 0,3 \cdot 20 = 0,3 \cdot m_{n78} \quad (61)$$

Kde Δ je rozdíl mezi vypočítanou osovou vzdáleností a normalizovanou osovou vzdáleností.

Všechna soukolí jsem navrhoval s úhlem záběru nástroje $\alpha_n=20$ [$^{\circ}$]. Pro úpravu osové vzdálenosti a na normalizovanou osovou vzdálenost a_{CSN} platí

$$a_{\text{CSN}} = a \cdot \frac{\cos(\alpha_t)}{\cos(\alpha_{tw})} \quad (62)$$

Kde α_t je úhel záběru v čelní rovině a α_{tw} je korigovaný úhel záběru v čelní rovině.

Úhel záběru v čelní rovině α_t jsem vyjádřil ze vzorce

$$\tan(\alpha_t) = \frac{\tan(\alpha_n)}{\cos(\beta)} \quad (63)$$

$$\alpha_{t12} = \arctan\left(\frac{\tan(\alpha_{n12})}{\cos(\beta_{12})}\right) = \arctan\left(\frac{\tan(20)}{\cos(12)}\right) = 20,41 \text{ [°]} \quad (64)$$

$$\alpha_{t34} = \arctan\left(\frac{\tan(\alpha_{n34})}{\cos(\beta_{34})}\right) = \arctan\left(\frac{\tan(20)}{\cos(10)}\right) = 20,28 \text{ [°]} \quad (65)$$

$$\alpha_{t56} = \arctan\left(\frac{\tan(\alpha_{n56})}{\cos(\beta_{56})}\right) = \arctan\left(\frac{\tan(20)}{\cos(8)}\right) = 20,18 \text{ [°]} \quad (66)$$

$$\alpha_{t78} = \arctan\left(\frac{\tan(\alpha_{n78})}{\cos(\beta_{78})}\right) = \arctan\left(\frac{\tan(20)}{\cos(6)}\right) = 20,10 \text{ [°]} \quad (67)$$

Následně jsem vypočítal involutu úhlu záběru v čelní rovině.

$$inv\alpha_{t12} = \operatorname{tg}(\alpha_{t12}) - \widetilde{\alpha_{t12}} = \operatorname{tg}(20,41) - \frac{\pi \cdot 20,41}{180} = 0,01587 \text{ [rad]} \quad (68)$$

$$inv\alpha_{t34} = \operatorname{tg}(\alpha_{t34}) - \widetilde{\alpha_{t34}} = \operatorname{tg}(20,28) - \frac{\pi \cdot 20,28}{180} = 0,01557 \text{ [rad]} \quad (69)$$

$$inv\alpha_{t56} = \operatorname{tg}(\alpha_{t56}) - \widetilde{\alpha_{t56}} = \operatorname{tg}(20,18) - \frac{\pi \cdot 20,18}{180} = 0,01533 \text{ [rad]} \quad (70)$$

$$inv\alpha_{t78} = \operatorname{tg}(\alpha_{t78}) - \widetilde{\alpha_{t78}} = \operatorname{tg}(20,10) - \frac{\pi \cdot 20,10}{180} = 0,01514 \text{ [rad]} \quad (71)$$

Kde $\tilde{\alpha}_t$ je úhel záběru v čelní rovině v obloukové míře.

Korigovaný úhel záběru v čelní rovině α_{tw} jsem vyjádřil jako

$$\begin{aligned} \alpha_{tw12} &= \arccos\left(\frac{a_{12}}{a_{\check{CSN}12}} \cdot \cos(\alpha_{t12})\right) = \arccos\left(\frac{249,45}{250} \cdot \cos(20,41)\right) \\ &= 20,75 [^{\circ}] \end{aligned} \quad (72)$$

$$\begin{aligned} \alpha_{tw34} &= \arccos\left(\frac{a_{34}}{a_{\check{CSN}34}} \cdot \cos(\alpha_{t34})\right) = \arccos\left(\frac{355,40}{355} \cdot \cos(20,28)\right) \\ &= 20,11 [^{\circ}] \end{aligned} \quad (73)$$

$$\begin{aligned} \alpha_{tw56} &= \arccos\left(\frac{a_{56}}{a_{\check{CSN}56}} \cdot \cos(\alpha_{t56})\right) = \arccos\left(\frac{502,89}{500} \cdot \cos(20,18)\right) \\ &= 19,26 [^{\circ}] \end{aligned} \quad (74)$$

$$\begin{aligned} \alpha_{tw78} &= \arccos\left(\frac{a_{78}}{a_{\check{CSN}78}} \cdot \cos(\alpha_{t78})\right) = \arccos\left(\frac{553,03}{550} \cdot \cos(20,10)\right) \\ &= 19,22 [^{\circ}] \end{aligned} \quad (75)$$

Následně jsem vypočítal involutu korigovaného úhlu záběru v čelní rovině.

$$inv\alpha_{tw12} = \operatorname{tg}(\alpha_{tw12}) - \widetilde{\alpha_{tw12}} = \operatorname{tg}(20,75) - \frac{\pi \cdot 20,75}{180} = 0,01670 \text{ [rad]} \quad (76)$$

$$inv\alpha_{tw34} = \operatorname{tg}(\alpha_{tw34}) - \widetilde{\alpha_{tw34}} = \operatorname{tg}(20,11) - \frac{\pi \cdot 20,11}{180} = 0,01516 \text{ [rad]} \quad (77)$$

$$inv\alpha_{tw56} = \operatorname{tg}(\alpha_{tw56}) - \widetilde{\alpha_{tw56}} = \operatorname{tg}(19,26) - \frac{\pi \cdot 19,26}{180} = 0,01326 \text{ [rad]} \quad (78)$$

$$inv\alpha_{tw78} = \operatorname{tg}(\alpha_{tw78}) - \widetilde{\alpha_{tw78}} = \operatorname{tg}(19,22) - \frac{\pi \cdot 19,22}{180} = 0,01318 \text{ [rad]} \quad (79)$$

Kde $\tilde{\alpha}_{tw}$ je korigovaný úhel záběru v čelní rovině v obloukové míře.

Pro výpočet korekcí jsem vycházel ze vzorce

$$inv\alpha_{tw12} = inv\alpha_{t12} + \frac{2 \cdot (x_1 + x_2)}{z_1 + z_2} \cdot \operatorname{tg}(\alpha_{n12}) \quad (80)$$

Kde $(x_1 + x_2)$ jsou součinitelé posunutí nástroje.

Součinitele posunutí nástroje jsem vyjádřil z rovnice 80 jako

$$\begin{aligned} (x_1 + x_2) &= \frac{z_1 + z_2}{2 \cdot \operatorname{tg}(\alpha_{n12})} (\operatorname{inv}\alpha_{tw12} - \operatorname{inv}\alpha_{t12}) \\ &= \frac{19 + 103}{2 \cdot \operatorname{tg}(20)} (0,01670 - 0,01587) = 0,1383 [-] \end{aligned} \quad (81)$$

$$\begin{aligned} (x_3 + x_4) &= \frac{z_3 + z_4}{2 \cdot \operatorname{tg}(\alpha_{n34})} (\operatorname{inv}\alpha_{tw34} - \operatorname{inv}\alpha_{t34}) \\ &= \frac{18 + 82}{2 \cdot \operatorname{tg}(20)} (0,01516 - 0,01557) = -0,0568 [-] \end{aligned} \quad (82)$$

$$\begin{aligned} (x_5 + x_6) &= \frac{z_5 + z_6}{2 \cdot \operatorname{tg}(\alpha_{n56})} (\operatorname{inv}\alpha_{tw56} - \operatorname{inv}\alpha_{t56}) \\ &= \frac{19 + 64}{2 \cdot \operatorname{tg}(20)} (0,01326 - 0,01533) = -0,2359 [-] \end{aligned} \quad (83)$$

$$\begin{aligned} (x_7 + x_8) &= \frac{z_7 + z_8}{2 \cdot \operatorname{tg}(\alpha_{n78})} (\operatorname{inv}\alpha_{tw78} - \operatorname{inv}\alpha_{t78}) \\ &= \frac{17 + 38}{2 \cdot \operatorname{tg}(20)} (0,01318 - 0,01514) = -0,1483 [-] \end{aligned} \quad (84)$$

Při rozdělování součtu součinitelů posunutí nástroje ($x_1 + x_2$) jsem se držel zásady, že pokud byl součet součinitelů menší než 0,3, tak jsem korigoval pouze kolo nebo pastorek. Pro korekci soukolí 12 jsem zvolil korekci pastorku 1 $x_1=0,1383 [-]$ a ozubené kolo jsem ponechal nekorigované. Pro korekci soukolí 34 jsem zvolil korekci ozubeného kola 4 $x_4=-0,0568 [-]$ a pastorek 3 jsem ponechal nekorigovaný, protože pokud bych korigoval pastorek 3, tak by mohlo nastat podřezání zubů pastorku. Ze stejného důvodu jsem korigoval ozubené kolo 6 u soukolí 56 $x_6=-0,2359 [-]$ a pastorek 5 jsem ponechal nekorigovaný. Stejně tak i u soukolí 78 jsem korigoval ozubené kolo 8 $x_8=-0,1483 [-]$ a pastorek 7 jsem ponechal nekorigovaný.

Posunutí nástroje v absolutní hodnotě jsem získal vynásobením součinitele posunutí nástroje normálovým modulem.

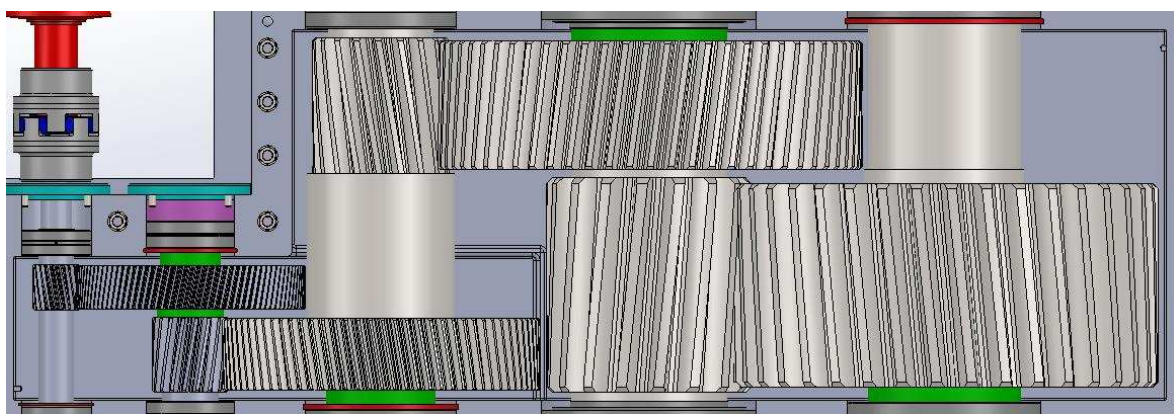
$$|x_1 \cdot m_{n12}| = |0,1383 \cdot 4| = 0,553 [mm] \quad (85)$$

$$|x_4 \cdot m_{n34}| = |(-0,0568) \cdot 7| = 0,398 [mm] \quad (86)$$

$$|x_6 \cdot m_{n56}| = |(-0,2359) \cdot 12| = 2,831 [mm] \quad (87)$$

$$|x_8 \cdot m_{n78}| = |(-0,1483) \cdot 20| = 2,966 [mm] \quad (88)$$

Schéma výsledného soukolí je na Obr. 17.



Obr. 17.: Schéma výsledného soukolí

4.9. Výpočet průměru hřídelů

Průměr hřídelů jsem předběžně navrhoval z pevnostní podmínky v krutu. Hřídele budou zatěžovány krutem, ohybem a tlakem, nebo případně tahem.

$$\tau = \frac{M_k}{W_k} \quad (89)$$

Kde W_k je průřezový modul v krutu, který se pro kruhový průřez vypočítá podle vztahu

$$W_k = \frac{\pi \cdot d^3}{16} \quad (90)$$

Po dosazení a úpravě rovnice jsem získal rovnici pro průměr hřídele

$$d = \sqrt[3]{\frac{16 \cdot M_k}{\pi \cdot \tau}} \quad (91)$$

Kde τ je dovolené napětí v krutu. Pro hřídel I jsem volil $\tau_{D1}=25$ [MPa], pro hřídel II $\tau_{DII}=30$ [MPa], pro hřídel III $\tau_{DIII}=40$ [MPa], pro hřídel IV $\tau_{DIV}=45$ [MPa] a pro hřídel V $\tau_{DV}=50$ [MPa].

Dosadil jsem hodnoty pro jednotlivé hřídele a průměry následně zaokrouhlil na hodnoty vnitřních průměrů ložisek. U vstupního a výstupního hřídele jsem hodnoty zaokrouhloval podle ČSN 01 4990. Průměr hřídele III jsem musel zvětšit kvůli kontrole průhybu. [9]

$$d_I = \sqrt[3]{\frac{16 \cdot M_{kI}}{\pi \cdot \tau_I}} = \sqrt[3]{\frac{16 \cdot 970,5 \cdot 1\,000}{\pi \cdot 25}} = 58,3 \cong 60 \text{ [mm]} \quad (92)$$

$$d_{II} = \sqrt[3]{\frac{16 \cdot M_{kII}}{\pi \cdot \tau_{DII}}} = \sqrt[3]{\frac{16 \cdot 5\,156 \cdot 1\,000}{\pi \cdot 30}} = 95,7 \cong 100 \text{ [mm]} \quad (93)$$

$$d_{III} = \sqrt[3]{\frac{16 \cdot M_{kIII}}{\pi \cdot \tau_{DIII}}} = \sqrt[3]{\frac{16 \cdot 23\,019 \cdot 1\,000}{\pi \cdot 40}} = 143,1 \cong 180 \text{ [mm]} \quad (94)$$

$$d_{IV} = \sqrt[3]{\frac{16 \cdot M_{kIV}}{\pi \cdot \tau_{DIV}}} = \sqrt[3]{\frac{16 \cdot 75\ 987 \cdot 1\ 000}{\pi \cdot 45}} = 204,9 \cong 220 \text{ [mm]} \quad (95)$$

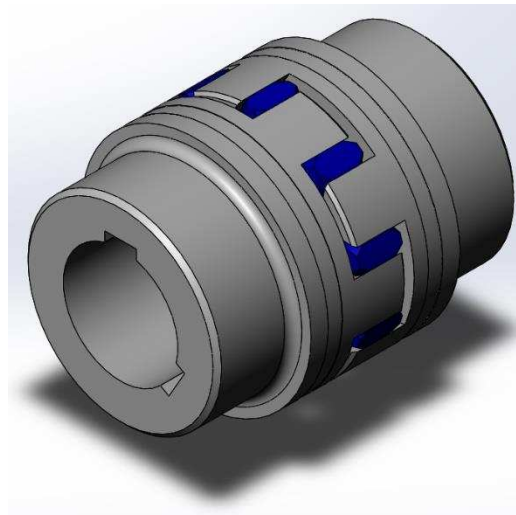
$$d_V = \sqrt[3]{\frac{16 \cdot M_{kV}}{\pi \cdot \tau_{DV}}} = \sqrt[3]{\frac{16 \cdot 166\ 456 \cdot 1\ 000}{\pi \cdot 50}} = 256,9 \cong 260 \text{ [mm]} \quad (96)$$

4.10. Návrh pružné spojky

Na vstupním hřídeli jsem navrhoval pružnou spojku kvůli větší plynulosti při zapnutí a vypnutí elektromotoru. Spojku jsem navrhoval s bezpečností $k_{ps}=1,5$ [-].

$$M_{kDps} = k_{ps} \cdot M_{kl} = 1,5 \cdot 970,5 = 1\ 456 \text{ [Nm]} \quad (97)$$

Kde M_{kDps} je minimální dovolený kroutící moment pružné spojky.



Obr. 18.: Pružná spojka ROTEX GS 75 St 92 Sh-A

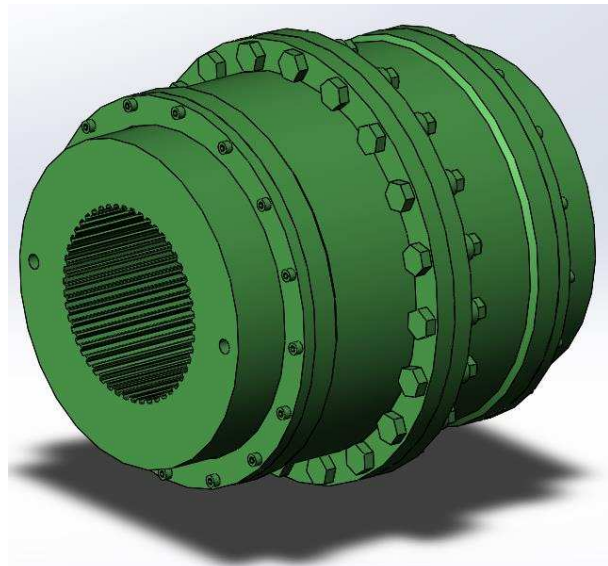
Spojku jsem vybral z katalogu firmy KTR. Konkrétně se jedná o spojku s označením ROTEX GS 75 St 92 Sh-A (Obr. 18). V katalogu se uvádí (viz příloha C), že spojka má maximální dovolený kroutící moment 1920 [Nm]. Spojka vyhovuje také rozměrově, protože maximální přípojná díra pro hřídel je Ø95 [mm]. [10]

4.11. Návrh zubové spojky

Na výstupním hřídeli jsem navrhoval dvouřadou zubovou spojku. Návrhový výpočet jsem počítal s bezpečností $k_{zs}=1,5$ [-].

$$M_{kDzs} = k_{zs} \cdot M_{kV} = 1,5 \cdot 166\ 456 = 249\ 684 \text{ [Nm]} \quad (98)$$

Kde M_{kDzs} je minimální dovolený kroutící moment zubové spojky.



Obr. 19.: Zubová spojka GEARex DA 85 (42CrMo4)

Vybral jsem spojku GEARex DA 85 (42CrMo4) (Obr. 19) z katalogu firmy KTR (viz příloha D). Maximální dovolený kroutící moment této spojky je podle katalogu 380 000 [Nm]. Maximální přípojná díra pro hřídel je ø325 [mm]. Spojka tedy vyhovuje i po rozměrové stránce. [11]

4.12. Silové poměry

Silové poměry na hřídelích jsem řešil ve 2 vzájemně kolmých rovinách. Konkrétně v rovině tečných F_T sil a v rovině radiálních F_R a axiálních F_A sil. Pro přesnější výpočty je vhodné řešit silové poměry na valivých kružnicích d_w . Dále je nutno přepočítat úhel sklonu zuba β na valivý úhel sklonu zuba β_w a úhel záběru α_n na valivý úhel záběru α_{nw} .

Valivé kružnice jsem vypočítal pomocí daných výpočtů.

$$d_{w1} = d_1 \cdot \frac{\cos(\alpha_{t12})}{\cos(\alpha_{tw12})} = 77,7 \cdot \frac{\cos(20,41)}{\cos(20,75)} = 77,9 \text{ [mm]} \quad (99)$$

$$d_{w2} = d_2 \cdot \frac{\cos(\alpha_{t12})}{\cos(\alpha_{tw12})} = 421,2 \cdot \frac{\cos(20,41)}{\cos(20,75)} = 422,1 \text{ [mm]} \quad (100)$$

$$d_{w3} = d_3 \cdot \frac{\cos(\alpha_{t34})}{\cos(\alpha_{tw34})} = 127,9 \cdot \frac{\cos(20,28)}{\cos(20,11)} = 127,8 \text{ [mm]} \quad (101)$$

$$d_{w4} = d_4 \cdot \frac{\cos(\alpha_{t34})}{\cos(\alpha_{tw34})} = 582,9 \cdot \frac{\cos(20,28)}{\cos(20,11)} = 582,2 \text{ [mm]} \quad (102)$$

$$d_{w5} = d_5 \cdot \frac{\cos(\alpha_{t56})}{\cos(\alpha_{tw56})} = 230,2 \cdot \frac{\cos(20,18)}{\cos(19,26)} = 228,9 \text{ [mm]} \quad (103)$$

$$d_{w6} = d_6 \cdot \frac{\cos(\alpha_{t56})}{\cos(\alpha_{tw56})} = 775,5 \cdot \frac{\cos(20,18)}{\cos(19,26)} = 771,1 \text{ [mm]} \quad (104)$$

$$d_{w7} = d_7 \cdot \frac{\cos(\alpha_{t78})}{\cos(\alpha_{tw78})} = 341,9 \cdot \frac{\cos(20,10)}{\cos(19,22)} = 340 \text{ [mm]} \quad (105)$$

$$d_{w8} = d_8 \cdot \frac{\cos(\alpha_{t78})}{\cos(\alpha_{tw78})} = 764,2 \cdot \frac{\cos(20,10)}{\cos(19,22)} = 760 \text{ [mm]} \quad (106)$$

Pro výpočet valivého úhlu sklonu zuba β_w jsem vycházel ze vztahu

$$tg(\beta_w) = tg(\beta) \cdot \frac{d_w}{d} \quad (107)$$

Po úpravě a dosazení

$$\beta_{w12} = arctg \left(tg(\beta_{12}) \cdot \frac{d_{w1}}{d_1} \right) = arctg \left(tg(12) \cdot \frac{77,9}{77,7} \right) = 12,21 [^\circ] \quad (108)$$

$$\beta_{w34} = arctg \left(tg(\beta_{34}) \cdot \frac{d_{w3}}{d_3} \right) = arctg \left(tg(10) \cdot \frac{127,8}{127,9} \right) = 10,09 [^\circ] \quad (109)$$

$$\beta_{w56} = arctg \left(tg(\beta_{56}) \cdot \frac{d_{w5}}{d_5} \right) = arctg \left(tg(8) \cdot \frac{228,9}{230,2} \right) = 8,01 [^\circ] \quad (110)$$

$$\beta_{w78} = arctg \left(tg(\beta_{78}) \cdot \frac{d_{w7}}{d_7} \right) = arctg \left(tg(6) \cdot \frac{340}{341,9} \right) = 5,99 [^\circ] \quad (111)$$

Valivý úhel záběru α_{nw} jsem vypočítal ze vztahu

$$tg(\alpha_{nw}) = \cos(\beta_w) \cdot tg(\alpha_{tw}) \quad (112)$$

Po úpravě a dosazení

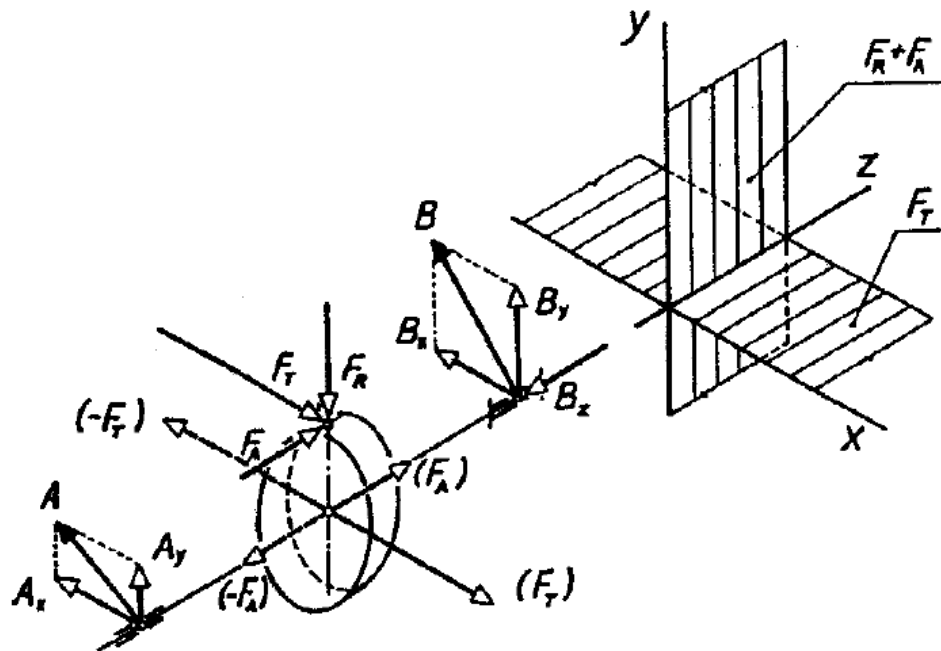
$$\begin{aligned} \alpha_{nw12} &= arctg(\cos(\beta_{w12}) \cdot tg(\alpha_{tw12})) = arctg(\cos(12,21) \cdot tg(20,75)) \\ &= 21,21 [^\circ] \end{aligned} \quad (113)$$

$$\begin{aligned} \alpha_{nw34} &= arctg(\cos(\beta_{w34}) \cdot tg(\alpha_{tw34})) = arctg(\cos(10,09) \cdot tg(20,11)) \\ &= 20,65 [^\circ] \end{aligned} \quad (114)$$

$$\begin{aligned} \alpha_{nw56} &= arctg(\cos(\beta_{w56}) \cdot tg(\alpha_{tw56})) = arctg(\cos(8,01) \cdot tg(19,26)) \\ &= 19,82 [^\circ] \end{aligned} \quad (115)$$

$$\begin{aligned} \alpha_{nw78} &= arctg(\cos(\beta_{w78}) \cdot tg(\alpha_{tw78})) = arctg(\cos(5,99) \cdot tg(19,22)) \\ &= 19,87 [^\circ] \end{aligned} \quad (116)$$

Radiální, axiální a tečná síla se dají rozkreslit do rovin podle Obr. 20.



Obr. 20.: Rozkreslení sil do rovin

Výchozí síla, ze které se vypočítá radiální a axiální síla, je tečná síla. Obecně ji lze vyjádřit jako

$$F_T = \frac{2 \cdot M_k}{d_w} \quad (117)$$

Kde \mathbf{M}_k odpovídá kroutícímu momentu a d_w valivé kružnici pastorku. [8]

$$F_{T12} = \frac{2 \cdot M_{kI}}{d_{w1}} = \frac{2 \cdot 970,5}{77,9} = 24\ 927 \text{ [N]} \quad (118)$$

$$F_{T34} = \frac{2 \cdot M_{kII}}{d_{w3}} = \frac{2 \cdot 5\ 156}{127,8} = 80\ 690 \text{ [N]} \quad (119)$$

$$F_{T56} = \frac{2 \cdot M_{kIII}}{d_{w5}} = \frac{2 \cdot 23\ 019}{228,9} = 201\ 113 \text{ [N]} \quad (120)$$

$$F_{T78} = \frac{2 \cdot M_{kIV}}{d_{w7}} = \frac{2 \cdot 75\ 987}{340} = 446\ 981 \text{ [N]} \quad (121)$$

Index 12 znamená, že síla působí z pastorku 1 na ozubené kolo 2.

Následně jsem vypočítal radiální sílu.

$$F_{R12} = F_{T12} \cdot \frac{\tan(\alpha_{nw12})}{\cos(\beta_{w12})} = 24\ 927 \cdot \frac{\tan(21,21)}{\cos(12,21)} = 9\ 898 \text{ [N]} \quad (122)$$

$$F_{R34} = F_{T34} \cdot \frac{\tan(\alpha_{nw34})}{\cos(\beta_{w34})} = 80\ 690 \cdot \frac{\tan(20,65)}{\cos(10,09)} = 30\ 891 \text{ [N]} \quad (123)$$

$$F_{R56} = F_{T56} \cdot \frac{\tan(\alpha_{nw56})}{\cos(\beta_{w56})} = 201\ 113 \cdot \frac{\tan(19,82)}{\cos(8,01)} = 73\ 209 \text{ [N]} \quad (124)$$

$$F_{R78} = F_{T78} \cdot \frac{\tan(\alpha_{nw78})}{\cos(\beta_{w78})} = 446\,981 \cdot \frac{\tan(19,87)}{\cos(5,99)} = 162\,395 [N] \quad (125)$$

Poté jsem vypočítal axiální sílu.

$$F_{A12} = F_{T12} \cdot \tan(\beta_{w12}) = 24\,927 \cdot \tan(12,21) = 5\,392 [N] \quad (126)$$

$$F_{A34} = F_{T34} \cdot \tan(\beta_{w34}) = 80\,690 \cdot \tan(10,09) = 14\,361 [N] \quad (127)$$

$$F_{A56} = F_{T56} \cdot \tan(\beta_{w56}) = 201\,113 \cdot \tan(8,01) = 28\,286 [N] \quad (128)$$

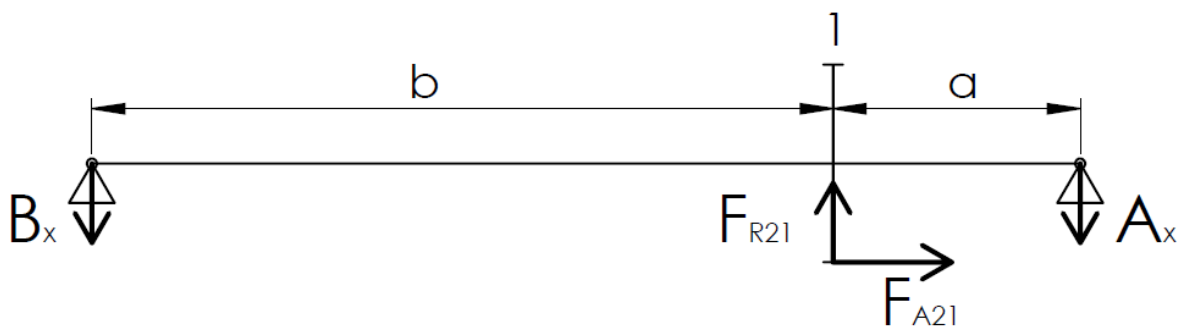
$$F_{A78} = F_{T78} \cdot \tan(\beta_{w78}) = 446\,981 \cdot \tan(5,99) = 46\,893 [N] \quad (129)$$

4.13. Výpočet reakcí v podporách

Pro výpočet reakcí v podporách hřídelů jsem si nejdříve rozkreslil síly do dvou rovin. První rovina byla rovina axiálních a radiálních sil a druhá rovina byla rovina tečných sil. Jako axiálně zatížené ložisko jsem volil to, které bylo méně radiálně zatíženo.

4.13.1. Hřídel I

Výchozí schéma roviny radiálních a axiálních sil pro hřídel I (Obr. 21):



Obr. 21.: Rovina radiálních a axiálních sil (Hřídel I.)

Pro výpočet reakcí jsem vycházel ze silové a momentové rovnice.

$$F_{R21} - B_x - A_x = 0 \quad (130)$$

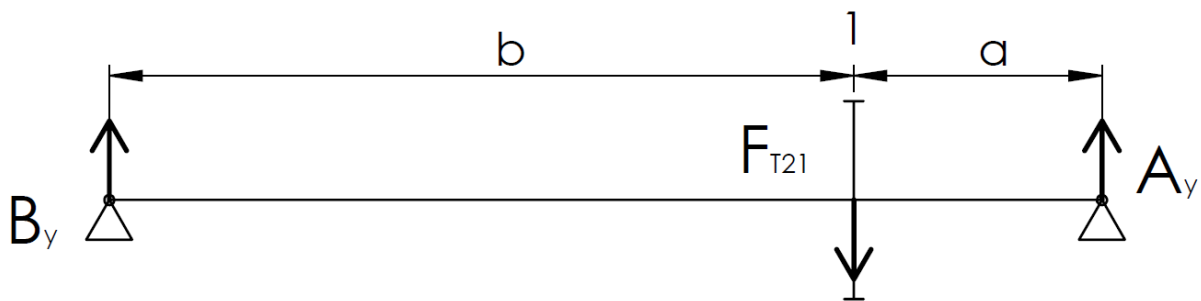
$$F_{R21} \cdot b + F_{A21} \cdot \frac{d_{w1}}{2} - A_x \cdot (a + b) = 0 \quad (131)$$

Následně jsem vyjádřil

$$A_x = \frac{F_{R21} \cdot b + F_{A21} \cdot \frac{d_{w1}}{2}}{a + b} = \frac{9\,898 \cdot 244,5 + 5\,392 \cdot \frac{77,9}{2}}{82,5 + 244,5} = 8\,043 [N] \quad (132)$$

$$B_x = F_{R21} - A_x = 9\,898 - 8\,043 = 1\,855 [N] \quad (133)$$

Výchozí schéma roviny tangenciálních sil pro hřídel I (Obr. 22):



Obr. 22.: Rovina tečných sil (Hřídel I.)

Pro výpočet reakcí jsem vycházel ze silové a momentové rovnice.

$$B_y + A_y - F_{T21} = 0 \quad (134)$$

$$A_y \cdot (b + a) - F_{T21} \cdot b = 0 \quad (135)$$

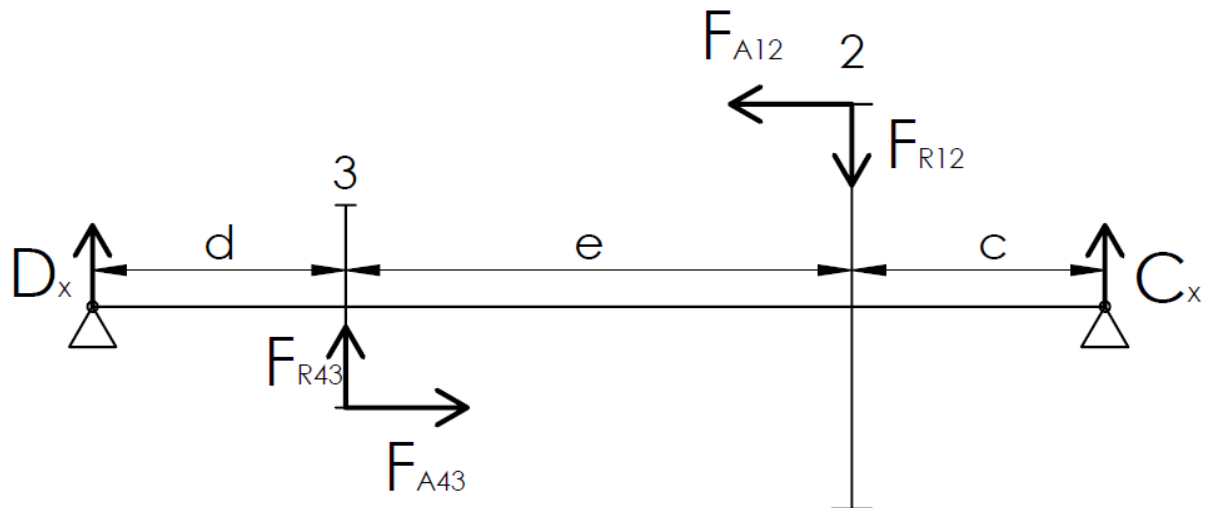
Následně jsem vyjádřil

$$A_y = \frac{F_{T21} \cdot b}{b + a} = \frac{24\,927 \cdot 244,5}{244,5 + 82,5} = 18\,638 [N] \quad (136)$$

$$B_y = F_{T21} - A_y = 24\,927 - 18\,638 = 6\,289 [N] \quad (137)$$

Obdobně jsem postupoval i u ostatních hřídelů.

4.13.2. Hřídel II



Obr. 23.: Rovina radiálních a axiálních sil (Hřídel II.)

$$D_x + F_{R43} - F_{R12} + C_x = 0 \quad (138)$$

$$F_{R43} \cdot d - F_{R12} \cdot (d + e) + C_x \cdot (d + e + c) + F_{A43} \cdot \frac{d_{w3}}{2} + F_{A12} \cdot \frac{d_{w2}}{2} = 0 \quad (139)$$

Následně jsem vyjádřil

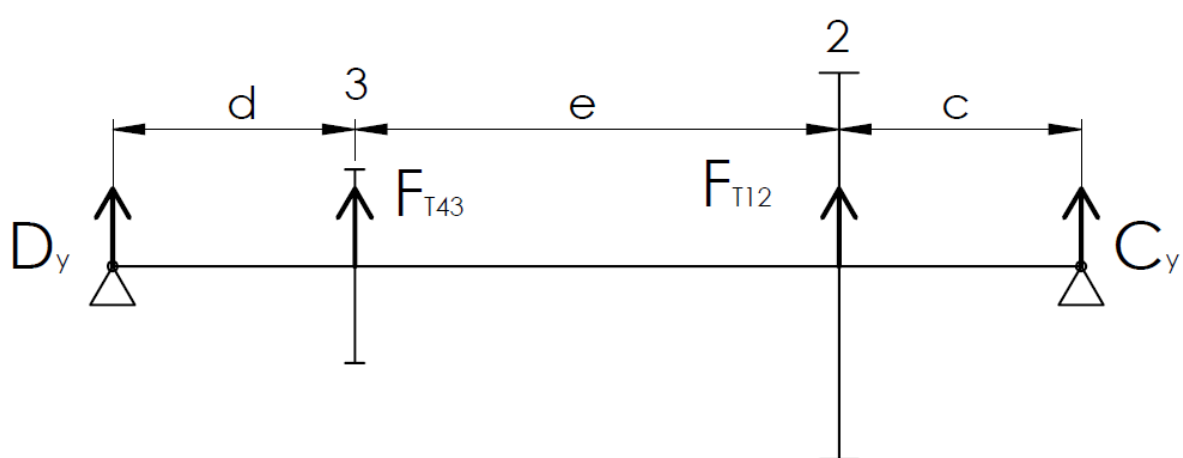
$$C_x = \frac{F_{R12} \cdot (d + e) - F_{R43} \cdot d - F_{A43} \cdot \frac{d_{w3}}{2} - F_{A12} \cdot \frac{d_{w2}}{2}}{d + e + c}$$

$$= \frac{9\ 898 \cdot (113,5 + 126) - 30\ 891 \cdot 113,5 - 14\ 361 \cdot \frac{127,8}{2} - 5\ 392 \cdot \frac{422,1}{2}}{113,5 + 126 + 97,5} \quad (140)$$

$$= -9\ 469 [N]$$

$$D_x = F_{R12} - F_{R43} - C_x = 9\ 898 - 30\ 891 - (-9\ 469) = -11\ 523 [N] \quad (141)$$

Záporné znaménko znamená opačný smysl směru síly.



Obr. 24.: Rovina tečných sil (Hřídel II.).

$$D_y + F_{T43} + F_{T12} + C_y = 0 \quad (142)$$

$$F_{T43} \cdot d + F_{T12} \cdot (d + e) + C_y \cdot (d + e + c) = 0 \quad (143)$$

Následně jsem vyjádřil

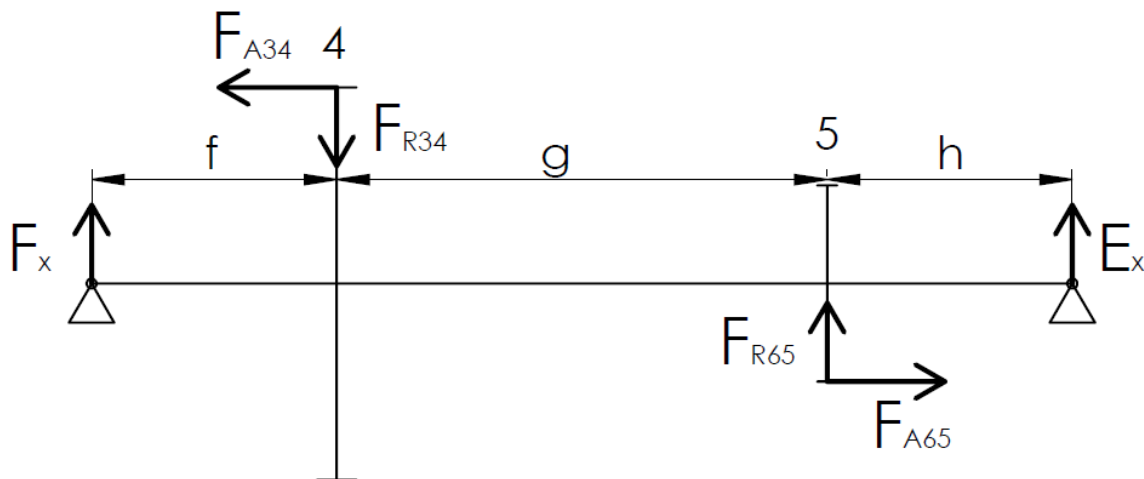
$$C_y = -\frac{F_{T43} \cdot d + F_{T12} \cdot (d + e)}{d + e + c} = -\frac{80\ 690 \cdot 113,5 + 24\ 927 \cdot (113,5 + 126)}{113,5 + 126 + 97,5} \quad (144)$$

$$= -44\ 981 [N]$$

$$D_y = -(C_y + F_{T43} + F_{T12}) = -(-44\ 981 + 80\ 690 + 24\ 927) \quad (145)$$

$$= -60\ 726 [N]$$

4.13.3. Hřídel III



Obr. 25.: Rovina radiálních a axiálních sil (Hřídel III.)

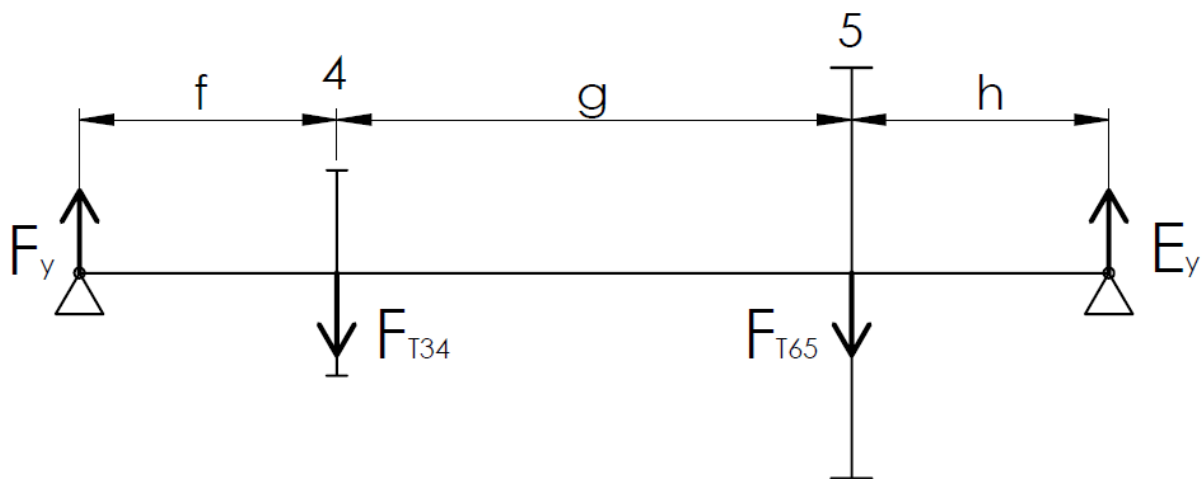
$$F_x - F_{R34} + F_{R65} + E_x = 0 \quad (146)$$

$$F_{R34} \cdot f - F_{A34} \cdot \frac{d_{w4}}{2} - F_{R65} \cdot (f + g) - F_{A65} \cdot \frac{d_{w5}}{2} - E_x \cdot (f + g + h) = 0 \quad (147)$$

Následně jsem vyjádřil

$$\begin{aligned} E_x &= \frac{F_{R34} \cdot f - F_{A34} \cdot \frac{d_{w4}}{2} - F_{R65} \cdot (f + g) - F_{A65} \cdot \frac{d_{w5}}{2}}{f + g + h} \\ &= \frac{30\,891 \cdot 138,5 - 14\,361 \cdot \frac{582,2}{2} - 73\,209 \cdot (138,5 + 465) - 28\,286 \cdot \frac{228,9}{2}}{138,5 + 465 + 180,5} \quad (148) \\ &= -60\,358 [N] \end{aligned}$$

$$F_x = F_{R34} - F_{T65} - E_x = 30\,891 - 73\,209 - (-60\,358) = 18\,041 [N] \quad (149)$$



Obr. 26.: Rovina tečných sil (Hřídel III.)

$$F_y - F_{T34} - F_{T65} + E_y = 0 \quad (150)$$

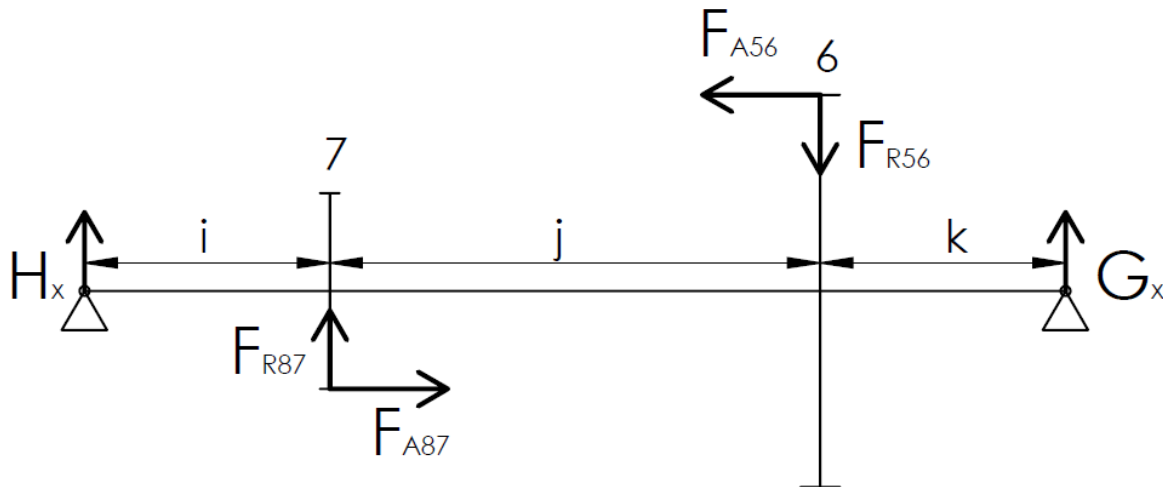
$$F_{T34} \cdot f + F_{T65} \cdot (f + g) - E_y \cdot (f + g + h) = 0 \quad (151)$$

Následně jsem vyjádřil

$$E_y = \frac{F_{T34} \cdot f + F_{T65} \cdot (f + g)}{f + g + h} = \frac{80\ 690 \cdot 138,5 + 201\ 113 \cdot (138,5 + 465)}{138,5 + 465 + 180,5} = 169\ 065 [N] \quad (152)$$

$$F_y = F_{T34} + F_{T65} - E_y = 80\ 690 + 201\ 113 - 169\ 065 = 112\ 737 [N] \quad (153)$$

4.13.4. Hřídel IV



Obr. 27.: Rovina radiálních a axiálních sil (Hřídel IV.)

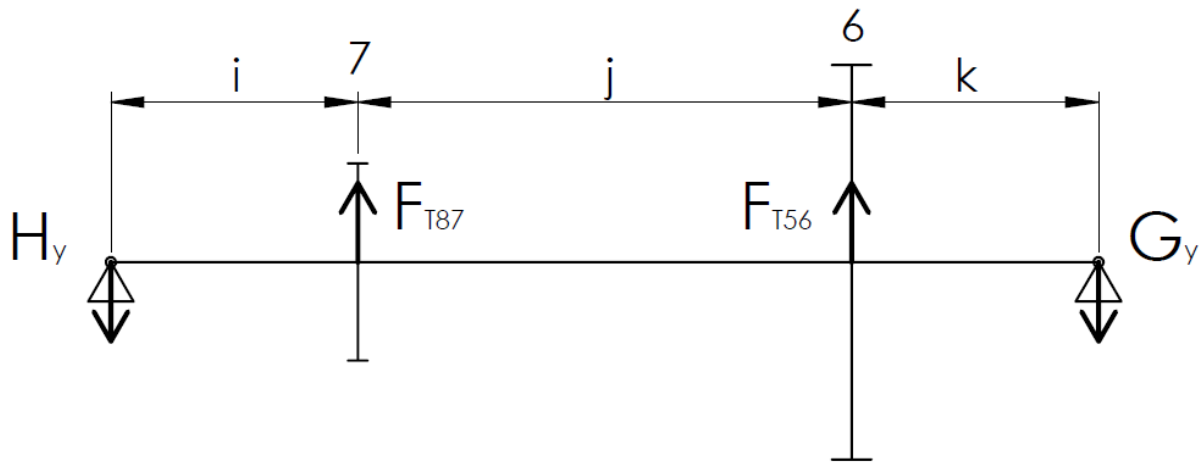
$$H_x + F_{R87} - F_{R56} + G_x = 0 \quad (154)$$

$$F_{R87} \cdot i + F_{A87} \cdot \frac{d_{w7}}{2} - F_{R56} \cdot (i + j) + F_{A56} \cdot \frac{d_{w6}}{2} + G_x \cdot (i + j + k) = 0 \quad (155)$$

Následně jsem vyjádřil

$$\begin{aligned} G_x &= -\frac{F_{R87} \cdot i + F_{A87} \cdot \frac{d_{w7}}{2} - F_{R56} \cdot (i + j) + F_{A56} \cdot \frac{d_{w6}}{2}}{i + j + k} \\ &= -\frac{162\ 395 \cdot 252 + 46\ 893 \cdot \frac{340}{2} - 73\ 209 \cdot (252 + 335,5) + 28\ 286 \cdot \frac{771,1}{2}}{252 + 335,5 + 178,5} \quad (156) \\ &= -21\ 920 [N] \end{aligned}$$

$$H_x = F_{R56} - F_{R87} - G_x = 73\ 209 - 162\ 395 - (-21\ 920) = -67\ 266 [N] \quad (157)$$



Obr. 28.: Rovina tečných sil (Hřídel IV.)

$$F_{T87} + F_{T56} - H_y - G_y = 0 \quad (158)$$

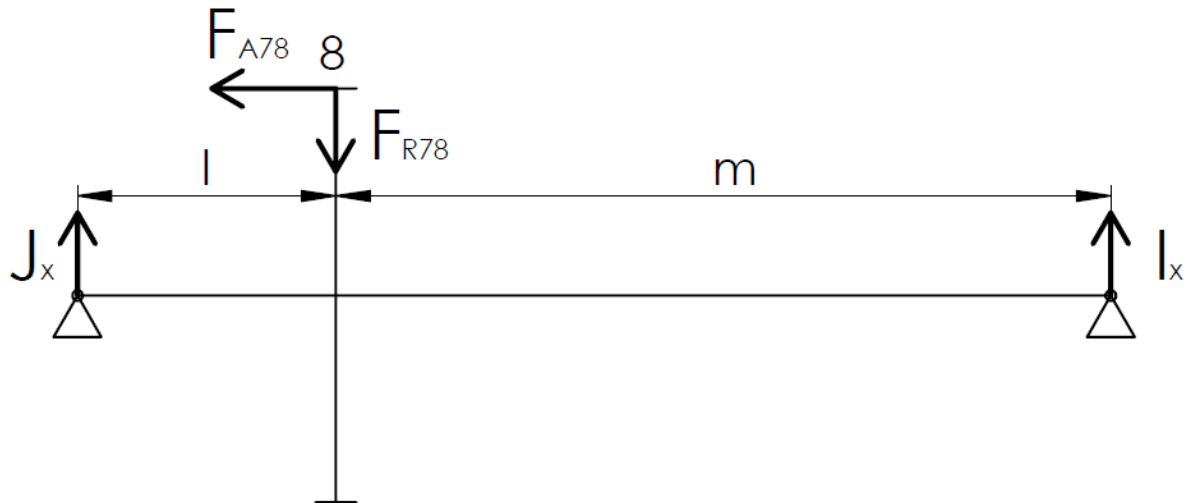
$$F_{T87} \cdot i + F_{T56} \cdot (i + j) - G_y(i + j + k) = 0 \quad (159)$$

Následně jsem vyjádřil

$$G_y = \frac{F_{T87} \cdot i + F_{T56} \cdot (i + j)}{i + j + k} = \frac{446\,981 \cdot 252 + 201\,113 \cdot (252 + 335,5)}{252 + 335,5 + 178,5} \\ = 301\,296 [N] \quad (160)$$

$$H_y = F_{T87} + F_{T56} - G_y = 446\,981 + 201\,113 - 301\,296 = 346\,797 [N] \quad (161)$$

4.13.5. Hřídel V



Obr. 29.: Rovina radiálních a axiálních sil (Hřídel V.)

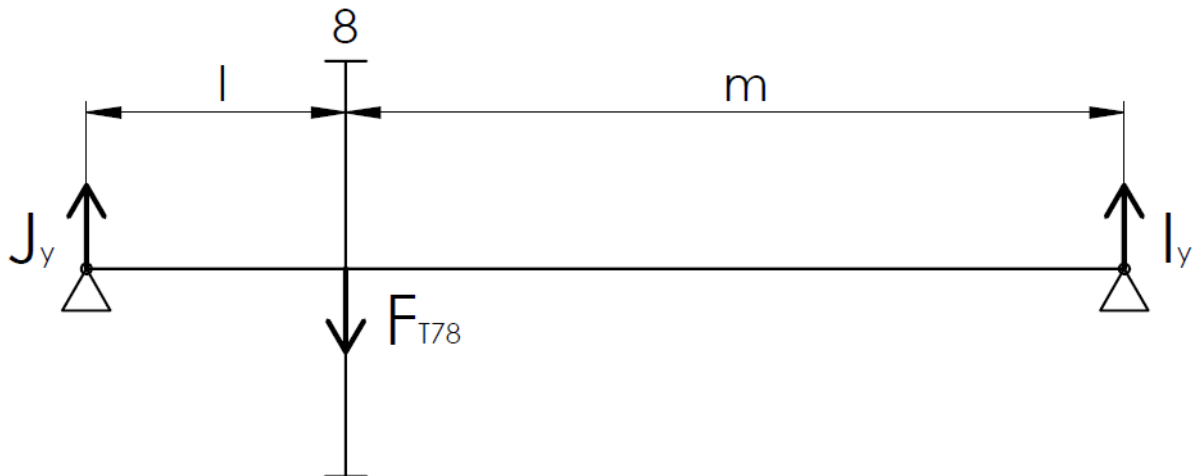
$$J_x - F_{R78} + I_x = 0 \quad (162)$$

$$F_{R78} \cdot l - F_{A78} \cdot \frac{d_{w8}}{2} - I_x \cdot (l + m) = 0 \quad (163)$$

Následně jsem vyjádřil

$$I_x = \frac{F_{R78} \cdot l - F_{A78} \cdot \frac{d_{ws}}{2}}{l + m} = \frac{162\ 395 \cdot 255,5 - 46\ 893 \cdot \frac{760}{2}}{255,5 + 534,5} = 87\ 317 [N] \quad (164)$$

$$J_x = F_{R78} - I_x = 162\ 395 - 87\ 317 = 75\ 078 [N] \quad (165)$$



Obr. 30.: Rovina tečných sil (Hřídel V.)

$$J_y - F_{T78} + I_y = 0 \quad (166)$$

$$F_{T78} \cdot l - I_y \cdot (l + m) = 0 \quad (167)$$

Následně jsem vyjádřil

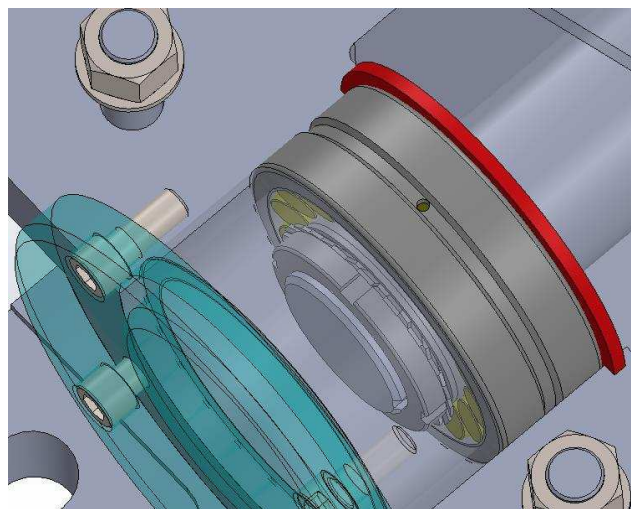
$$I_y = \frac{F_{T78} \cdot l}{l + m} = \frac{446\ 981 \cdot 255,5}{255,5 + 534,5} = 144\ 562 [N] \quad (168)$$

$$J_y = F_{T78} - I_y = 446\ 981 - 144\ 562 = 302\ 419 [N] \quad (169)$$

4.14. Návrh ložisek

Pro návrh ložisek bylo nejdříve potřeba vypočítat reakce i pro případ opačného směru otáčení vstupního hřídele. Následně jsem reakce v rovině axiálních a radiálních sil a v rovině tangenciálních sil sečetl. Pro následující výpočty jsem používal větší hodnoty sil. Mým úkolem bylo navrhnout ložiska s minimální trvanlivostí 25 000 hodin.

Ložiska jsem axiálně zajišťoval pomocí KM matic a MB podložek (Obr. 31).



Obr. 31.: Axiální zajištění ložiska

4.14.1. Hřídel I

V ložisku A působí radiální síla.

$$A = \sqrt{A_x^2 + A_y^2} = \sqrt{8\ 043^2 + 18\ 638^2} = 20\ 300 \text{ [N]} \quad (170)$$

V ložisku B působí radiální síla.

$$B = \sqrt{B_x^2 + B_y^2} = \sqrt{3\ 139^2 + (-6\ 289)^2} = 7\ 029 \text{ [N]} \quad (171)$$

Protože v ložisku B působí menší radiální síla než v ložisku A, volil jsem ložisko B jako axiálně-radiální ložisko.

$$B_A = F_{A12} = 5\ 392 \text{ [N]} \quad (172)$$

Ložisko jsem volil z katalogu SKF. Pro hřídel I jsem volil soudečkové ložisko 22312 E pro ložisko A i ložisko B. Soudečková ložiska se používají v těžkých provozech. Proto jsou vhodná pro moji převodovku. Postupoval jsem podle instrukcí z katalogu. Dynamická únosnost daného ložiska je $C=310 \text{ [kN]}$ a statická únosnost je $C_0=335 \text{ [kN]}$. [12] Trvanlivost ložiska A jsem počítal ze vztahu

$$L_{hA} = \left(\frac{C}{A}\right)^p \cdot \frac{10^6}{60 \cdot n_I} = \left(\frac{310}{20,3}\right)^{\frac{10}{3}} \cdot \frac{10^6}{60 \cdot 738} = 199\ 542 \text{ [hod]} \quad (173)$$

Kde L_{hA} je životnost ložiska A a p je exponent trvanlivosti. [8] [12]

Pro ložisko B jsem nejdříve musel určit poměr axiální a radiální síly působící na ložisko a následně porovnat s výpočtovým součinitelem e z katalogu SKF.

$$\frac{B_A}{B} = \frac{5\ 392}{7\ 029} = 0,77 > e = 0,35 \quad (174)$$

Kde e je výpočtový součinitel odečtený z katalogu SKF. [12]

Následně jsem vypočítal ekvivalentní dynamické zatížení ložiska P_B .

$$P_B = 0,67 \cdot B + Y_2 \cdot B_A = 0,67 \cdot 7\ 029 + 2,9 \cdot 5\ 392 = 20,3 [kN] \quad (175)$$

Kde Y_2 je výpočtový součinitel uvedený v katalogu SKF. [12]

Trvanlivost ložiska B jsem vypočítal ze vztahu

$$L_{hB} = \left(\frac{C}{P_B} \right)^p \cdot \frac{10^6}{60 \cdot n_I} = \left(\frac{310}{20,35} \right)^{\frac{10}{3}} \cdot \frac{10^6}{60 \cdot 738} = 198\ 032 [hod] \quad (176)$$

4.14.2. Hřídel II

Obdobně jsem postupoval při návrhu ložisek pro hřídel II. Nejdříve jsem tedy vypočítal radiální síly v ložiscích.

$$C_R = \sqrt{C_x^2 + C_y^2} = \sqrt{(-9\ 469)^2 + (-44\ 891)^2} = 45\ 879 [N] \quad (177)$$

$$D = \sqrt{D_x^2 + D_y^2} = \sqrt{(-23\ 723)^2 + 60\ 726^2} = 65\ 195 [N] \quad (178)$$

Ložisko zatížené axiální i radiální silou jsem volil ložisko C.

$$C_A = F_{A34} - F_{A12} = 14\ 361 - 5\ 392 = 8\ 969 [N] \quad (179)$$

Pro hřídel II jsem volil soudečkové ložisko 23120 CC/W33 pro obě ložiska. Dynamická únosnost daného ložiska je $C=365 [kN]$ a statická únosnost je $C_0=490 [kN]$. [12] Nejdříve jsem obdobně jako u ložiska B musel určit poměr mezi axiální a radiální silou působící v ložisku C.

$$\frac{C_A}{C} = \frac{8\ 969}{45\ 879} = 0,20 \leq e = 0,3 \quad (180)$$

[12]

Následně jsem vypočítal ekvivalentní dynamické zatížení ložiska P_C .

$$P_C = C_R + Y_1 \cdot C_A = 45\ 879 + 2,3 \cdot 8\ 969 = 66,5 [kN] \quad (181)$$

[12]

Trvanlivost ložisek C a D jsem vypočítal ze vztahu

$$L_{hC} = \left(\frac{C}{P_C} \right)^p \cdot \frac{10^6}{60 \cdot n_{II}} = \left(\frac{365}{66,5} \right)^{\frac{10}{3}} \cdot \frac{10^6}{60 \cdot 136,1} = 35\ 697 [hod] \quad (182)$$

$$L_{hD} = \left(\frac{C}{D} \right)^p \cdot \frac{10^6}{60 \cdot n_{II}} = \left(\frac{365}{65,2} \right)^{\frac{10}{3}} \cdot \frac{10^6}{60 \cdot 136,1} = 38\ 148 [hod] \quad (183)$$

4.14.3. Hřídel III

Pro návrh ložisek na hřídel III jsem postupoval stejně jako u předchozích hřídelí.

$$E = \sqrt{E_x^2 + E_y^2} = \sqrt{(-60\ 358)^2 + 169\ 065^2} = 179\ 516 [N] \quad (184)$$

$$F = \sqrt{F_x^2 + F_y^2} = \sqrt{18\ 041^2 + 112\ 737^2} = 114\ 172 [N] \quad (185)$$

Jako axiálně-radiální ložisko jsem tedy volil ložisko F.

$$F_A = F_{A56} - F_{A34} = 28\ 286 - 14\ 361 = 13\ 925 [N] \quad (186)$$

Pro hřídel III jsem volil soudečkové ložisko 23036 CC/W33 pro obě ložiska. Dynamická únosnost daného ložiska je $C=830$ [kN] a statická únosnost je $C_0=1\ 250$ [kN]. [12] Poměr mezi axiální a radiální silou je

$$\frac{F_A}{F} = \frac{13\ 925}{114\ 172} = 0,12 \leq e = 0,24 \quad (187)$$

[12]

Ekvivalentní dynamické zatížení ložiska P_F .

$$P_F = F + Y_1 \cdot F_A = 114\ 172 + 2,8 \cdot 13\ 925 = 153,2 [kN] \quad (188)$$

[12]

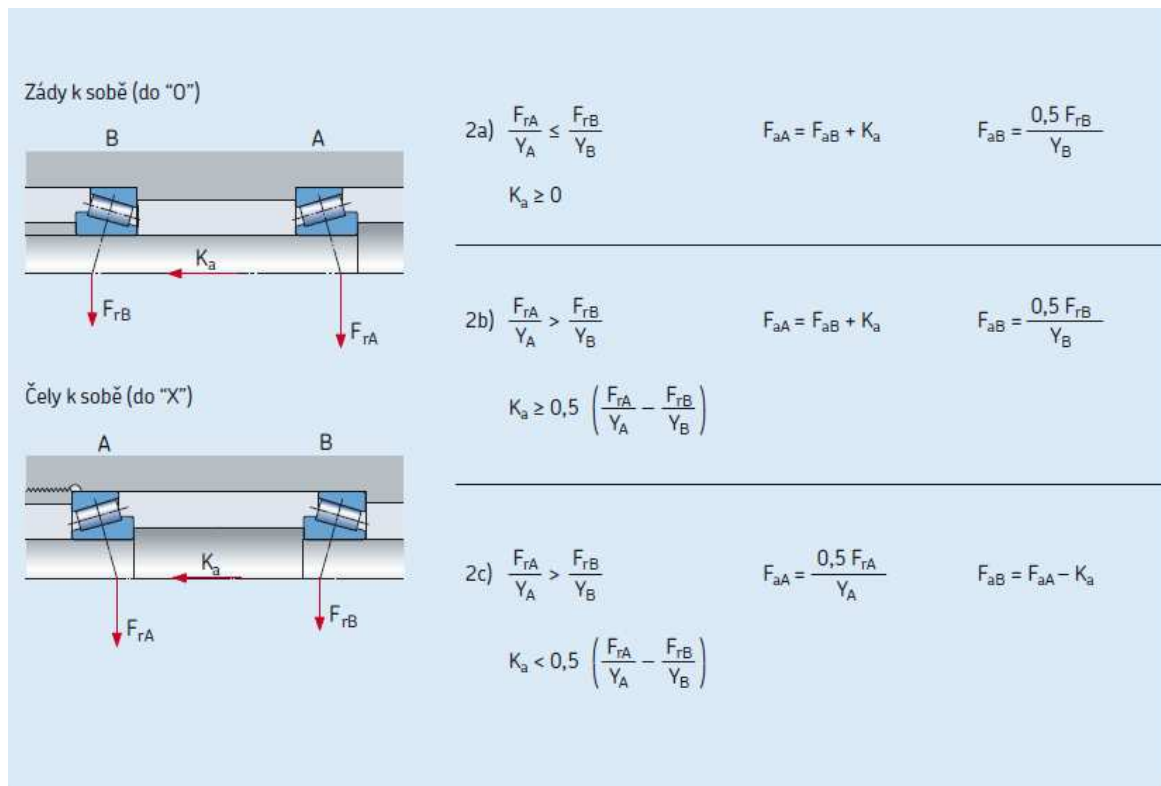
Trvanlivost ložisek E a F jsem vypočítal ze vztahu

$$L_{hE} = \left(\frac{C}{E}\right)^p \cdot \frac{10^6}{60 \cdot n_{III}} = \left(\frac{830}{179,5}\right)^{\frac{10}{3}} \cdot \frac{10^6}{60 \cdot 29,9} = 91\ 833 [hod] \quad (189)$$

$$L_{hF} = \left(\frac{C}{P_F}\right)^p \cdot \frac{10^6}{60 \cdot n_{III}} = \left(\frac{830}{153,2}\right)^{\frac{10}{3}} \cdot \frac{10^6}{60 \cdot 29,9} = 155\ 893 [hod] \quad (190)$$

4.14.4. Hřídel IV

Pro hřídel IV jsem volil kuželíkové ložisko 30244 J2 pro obě ložiska. Dynamická únosnost daného ložiska je $C=990$ [kN] a statická únosnost je $C_0=1\ 400$ [kN]. Při výpočtu sil působících od ložiska jsem vycházel z tabulky (Obr. 32) z katalogu SKF. [12]



Obr. 32.: Axiální zatížení kuželíkových ložisek

Volil jsem konfiguraci čely k sobě (do „X“), protože při dané konfiguraci nastává menší zatížení ložisek a jejich trvanlivost je tedy delší. V obrázku odpovídá ložisko **A** mému ložisku **G** a ložisko **B** odpovídá ložisku **H**. Nejdříve bylo zapotřebí zjistit poměry radiálních sil působících v ložiscích.

$$G = \sqrt{G_x^2 + G_y^2} = \sqrt{27\,368^2 + (-301\,296)^2} = 302\,537 [N] \quad (191)$$

$$H = \sqrt{H_x^2 + H_y^2} = \sqrt{(-116\,554)^2 + (-346\,797)^2} = 365\,860 [N] \quad (192)$$

$$\frac{G}{Y_G} = \frac{302\,537}{1,4} = 216 \leq \frac{H}{Y_H} = \frac{365\,860}{1,4} = 261 \quad (193)$$

Kde **Y_G** a **Y_H** jsou výpočtové součinitelé, které jsem odečetl z katalogu SKF. [12]

Z Obr. 32 z případu 2a) jsem použil vzorce pro výpočet axiální síly působící v ložiscích.

$$H_A = \frac{0,5 \cdot H}{Y_H} = \frac{0,5 \cdot 365\,860}{1,4} = 130,7 [kN] \quad (194)$$

$$G_A = H_A + K_A = 130,7 + 18,6 = 149,3 [kN] \quad (195)$$

Kde **K_A** je axiální síla působící od ozubeného kola a pastorku. [12]

Následně jsem musel určit poměry axiálních a radiálních sil působících v ložiscích.

$$\frac{G_A}{G} = \frac{149,3}{302,5} = 0,49 > e = 0,43 \quad (196)$$

$$\frac{H_A}{H} = \frac{130,7}{365,9} = 0,36 \leq e = 0,43 \quad (197)$$

[12]

Ekvivalentní dynamické zatížení v ložisku H je podle katalogu SKF rovno radiálnímu zatížení. Ekvivalentní dynamické zatížení v ložisku G jsem vypočítal pomocí rovnice

$$P_G = 0,4 \cdot G + Y_G \cdot G_A = 0,4 \cdot 302,5 + 1,4 \cdot 149,3 = 330 [kN] \quad (198)$$

[12]

Trvanlivost ložisek jsem určil obdobně jako u předchozích ložisek.

$$L_{hG} = \left(\frac{C}{P_G} \right)^p \cdot \frac{10^6}{60 \cdot n_{IV}} = \left(\frac{990}{330} \right)^{\frac{10}{3}} \cdot \frac{10^6}{60 \cdot 8,9} = 73\,160 [hod] \quad (199)$$

$$L_{hH} = \left(\frac{C}{H} \right)^p \cdot \frac{10^6}{60 \cdot n_{IV}} = \left(\frac{990}{365,9} \right)^{\frac{10}{3}} \cdot \frac{10^6}{60 \cdot 8,9} = 51\,870 [hod] \quad (200)$$

4.14.5. Hřidel V

Pro hřidel V jsem vybral soudečkové ložisko 23952 CC/W33 z katalogu SKF. Dynamická únosnost daného ložiska je $C=980 [kN]$ a statická únosnost je $C_0=1\,800 [kN]$. Vypočítal jsem celkové radiální síly působící v ložiscích. [12]

$$I = \sqrt{I_x^2 + I_y^2} = \sqrt{132\,430^2 + (-144\,562)^2} = 196\,050 [N] \quad (201)$$

$$J = \sqrt{J_x^2 + J_y^2} = \sqrt{75\,078^2 + 302\,419^2} = 311\,599 [N] \quad (202)$$

Ložisko zatížené axiální i radiální silou jsem volil ložisko I.

$$I_A = F_{A78} = 46\,893 [N] \quad (203)$$

Poměr mezi axiální a radiální silou je

$$\frac{I_A}{I} = \frac{46\,893}{196\,050} = 0,24 > e = 0,18 \quad (204)$$

[12]

Následně jsem vypočítal ekvivalentní dynamické zatížení ložiska P_c .

$$P_I = 0,67 \cdot I + Y_2 \cdot I_A = 0,67 \cdot 196\,050 + 5,6 \cdot 46\,893 = 394 [kN] \quad (205)$$

[12]

Trvanlivost ložisek I a J jsem vypočítal ze vztahu

$$L_{hI} = \left(\frac{C}{P_I} \right)^p \cdot \frac{10^6}{60 \cdot n_V} = \left(\frac{980}{394} \right)^{\frac{10}{3}} \cdot \frac{10^6}{60 \cdot 3,97} = 61\,183 [hod] \quad (206)$$

$$L_{hJ} = \left(\frac{C}{J}\right)^p \cdot \frac{10^6}{60 \cdot n_V} = \left(\frac{980}{311,6}\right)^{\frac{10}{3}} \cdot \frac{10^6}{60 \cdot 3,97} = 133\ 700 [hod] \quad (207)$$

4.15. Statická kontrola

Statickou kontrolou prošly všechny hřídele. Hřídele jsem vždy kontroloval pod pastorkem nebo pod ozubeným kolem, protože v těchto místech působí největší ohybový moment a zároveň kroutící moment. Jako výchozí schéma jsem používal schéma z kapitoly 4.13 Výpočet reakcí v podporách. V příloze přikládám průběhy ohybových momentů hřidelů.

4.15.1. Hřídel I

Hřídel I jsem kontroloval pouze v jednom místě a to pod pastorkem. Momenty jsem určil podle následujících výrazů

$$M_{oxz} = A_x \cdot a = 8\ 043 \cdot 82,5 = 663\ 548 [Nm] \quad (208)$$

$$M_{oyz} = A_y \cdot a = 18\ 638 \cdot 82,5 = 1\ 537\ 635 [Nm] \quad (209)$$

$$M_o = \sqrt{M_{oxz}^2 + M_{oyz}^2} = \sqrt{663\ 548^2 + 1\ 537\ 635^2} = 1\ 674\ 722 [Nm] \quad (210)$$

$$M_{kl} = F_{T12} \cdot \frac{d_{w1}}{2} = 24\ 927 \cdot \frac{77,87}{2} = 970\ 533 [Nm] \quad (211)$$

Následně jsem určil modul v ohybu a modul v krutu

$$W_o = \frac{\pi \cdot d^3}{32} = \frac{\pi \cdot 68^3}{32} = 30\ 869 [mm^3] \quad (212)$$

$$W_k = \frac{\pi \cdot d^3}{16} = \frac{\pi \cdot 68^3}{16} = 61\ 739 [mm^3] \quad (213)$$

Pomocí modulu v ohybu a modulu v krutu jsem vypočítal napětí v ohybu a napětí v krutu.

$$\sigma_o = \frac{M_o}{W_o} = \frac{1\ 674\ 722}{30\ 869} = 54,3 [Nm^{-2}] \quad (214)$$

$$\tau_k = \frac{M_{kl}}{W_k} = \frac{970\ 533}{61\ 739} = 15,7 [Nm^{-2}] \quad (215)$$

Z vypočítaných napětí v ohybu a napětí v krutu jsem vypočítal redukované napětí v ohybu.

$$\sigma_{ored} = \sqrt{\sigma_o^2 + (\alpha \cdot \tau_k)^2} = \sqrt{54,3^2 + (\sqrt{3} \cdot 15,7)^2} = 60,7 [Nm^{-2}] \quad (216)$$

Kde α je pevnostní součinitel. Protože jsem vycházel z hypotézy HMH (deformační energie změny tvaru), tak $\alpha = \sqrt{3}$. [8]

Statickou bezpečnost jsem získal poměrem redukovaného napětí v ohybu a mezí kluzu materiálu hřídele R_e . [13]

$$k_s = \frac{R_e}{\sigma_{ored}} = \frac{16\ 526}{60,7} = 14,6 [-] \quad (217)$$

Hřídel I vyhověla statické kontrole s bezpečností 14,6.

U dalších hřídelů jsem postupoval obdobně. U redukovaného napětí jsem musel počítat i s napětím vzniklým z důvodu nalisování ozubených kol viz kapitola 4.18. Uložení náboj-hřídel.

4.15.2. Hřídel II

Pod pastorkem index 1 a pod ozubeným kolem index 2:

Výpočet momentů

$$\begin{aligned} M_{oxz1} &= D_x \cdot d + F_{A43} \cdot \frac{d_{w3}}{2} = 11\ 523 \cdot 113,5 + 14\ 361 \cdot \frac{127,8}{2} \\ &= 2\ 225\ 528 [Nm] \end{aligned} \quad (218)$$

$$M_{oyz1} = D_y \cdot d = 60\ 726 \cdot 113,5 = 6\ 892\ 401 [Nm] \quad (219)$$

$$M_{o1} = \sqrt{M_{oxz1}^2 + M_{oyz1}^2} = \sqrt{2\ 225\ 528^2 + 6\ 892\ 401^2} = 7\ 242\ 801 [Nm] \quad (220)$$

$$M_{oxz2} = C_x \cdot c + F_{A12} \cdot \frac{d_{w2}}{2} = 9\ 469 \cdot 97,5 + 5\ 392 \cdot \frac{422}{2} = 2\ 060\ 940 [Nm] \quad (221)$$

$$M_{oyz2} = C_y \cdot c = 44\ 891 \cdot 97,5 = 4\ 376\ 873 [Nm] \quad (222)$$

$$M_{o2} = \sqrt{M_{oxz2}^2 + M_{oyz2}^2} = \sqrt{2\ 060\ 940^2 + 4\ 376\ 873^2} = 4\ 837\ 819 [Nm] \quad (223)$$

$$M_{kII} = F_{T34} \cdot \frac{d_{w3}}{2} = 80\ 690 \cdot \frac{127,8}{2} = 5\ 154\ 813 [Nm] \quad (224)$$

Výpočet modulů

$$W_{o1} = \frac{\pi \cdot d_1^3}{32} = \frac{\pi \cdot 110^3}{32} = 130\ 671 [mm^3] \quad (225)$$

$$W_{k1} = \frac{\pi \cdot d_1^3}{16} = \frac{\pi \cdot 110^3}{16} = 261\ 341 [mm^3] \quad (226)$$

$$W_{o2} = \frac{\pi \cdot d_2^3}{32} = \frac{\pi \cdot 105^3}{32} = 113\ 650 [mm^3] \quad (227)$$

$$W_{k2} = \frac{\pi \cdot d_2^3}{16} = \frac{\pi \cdot 105^3}{16} = 227\ 299 [mm^3] \quad (228)$$

Výpočet napětí v krutu a v ohybu

$$\sigma_{o1} = \frac{M_{o1}}{W_{o1}} = \frac{7\ 242\ 801}{130\ 671} = 55,4 [Nm^{-2}] \quad (229)$$

$$\tau_{k1} = \frac{M_{kII}}{W_{k1}} = \frac{5\ 154\ 813}{261\ 341} = 19,7 \text{ [Nm m}^{-2}\text{]} \quad (230)$$

$$\sigma_{o2} = \frac{M_{o2}}{W_{o2}} = \frac{4\ 837\ 819}{113\ 650} = 42,6 \text{ [Nm m}^{-2}\text{]} \quad (231)$$

$$\tau_{k2} = \frac{M_{kII}}{W_{k2}} = \frac{5\ 154\ 813}{227\ 299} = 22,7 \text{ [Nm m}^{-2}\text{]} \quad (232)$$

Výpočet redukovaného napětí v ohybu

$$\sigma_{ored1} = \sqrt{\sigma_{o1}^2 + (\alpha \cdot \tau_{k1})^2} = \sqrt{55,4^2 + (\sqrt{3} \cdot 19,7)^2} = 65,1 \text{ [Nm m}^{-2}\text{]} \quad (233)$$

$$\begin{aligned} \sigma_{ored2} &= \sqrt{(\sigma_{o2} + p_{max})^2 + (\alpha \cdot \tau_{k2})^2} = \sqrt{(42,6 + 65)^2 + (\sqrt{3} \cdot 22,7)^2} \\ &= 114,6 \text{ [Nm m}^{-2}\text{]} \end{aligned} \quad (234)$$

Kde p_{max} je tlak v hřídeli vyvolaný nalisováním ozubeného kola (výpočet nalisování je uveden v kapitole 4.18 Uložení náboj hřídel). [8]

Výpočet statické bezpečnosti

$$k_{s1} = \frac{R_{e\ 16\ 526}}{\sigma_{ored1}} = \frac{885}{65,1} = 13,6 [-] \quad (235)$$

$$k_{s2} = \frac{R_{e\ 16\ 526}}{\sigma_{ored2}} = \frac{885}{114,6} = 7,7 [-] \quad (236)$$

[13]

Hřídel II vyhověla statické kontrole s bezpečností 7,7.

4.15.3. Hřídel III

Pod ozubeným kolem index 1 a pod pastorkem index 2:

Výpočet momentů

$$M_{oxz1} = F_x \cdot f = 18\ 211 \cdot 129,5 = 2\ 358\ 245 \text{ [Nm m]} \quad (237)$$

$$M_{oyz1} = F_y \cdot f = 114\ 155 \cdot 129,5 = 14\ 783\ 073 \text{ [Nm m]} \quad (238)$$

$$M_{o1} = \sqrt{M_{oxz1}^2 + M_{oyz1}^2} = \sqrt{2\ 358\ 245^2 + 14\ 783\ 073^2} = 14\ 970\ 001 \text{ [Nm m]} \quad (239)$$

$$M_{oxzz2} = E_x \cdot h = 60\ 529 \cdot 181 = 10\ 955\ 749 \text{ [Nm m]} \quad (240)$$

$$M_{oyzz2} = E_y \cdot h = 167\ 648 \cdot 181 = 30\ 344\ 288 \text{ [Nm m]} \quad (241)$$

$$\begin{aligned} M_{o2} &= \sqrt{M_{oxzz2}^2 + M_{oyzz2}^2} = \sqrt{10\ 955\ 749^2 + 30\ 344\ 288^2} \\ &= 32\ 261\ 498 \text{ [Nm m]} \end{aligned} \quad (242)$$

$$M_{kIII} = F_{T65} \cdot \frac{d_{w5}}{2} = 201\ 113 \cdot \frac{229}{2} = 23\ 027\ 439 \text{ [Nm m]} \quad (243)$$

Výpočet modulů

$$W_{o1} = \frac{\pi \cdot d_1^3}{32} = \frac{\pi \cdot 194^3}{32} = 716\,812 [mm^3] \quad (244)$$

$$W_{k1} = \frac{\pi \cdot d_1^3}{16} = \frac{\pi \cdot 194^3}{16} = 1\,433\,623 [mm^3] \quad (245)$$

$$W_{o2} = \frac{\pi \cdot d_2^3}{32} = \frac{\pi \cdot 200^3}{32} = 785\,398 [mm^3] \quad (246)$$

$$W_{k2} = \frac{\pi \cdot d_2^3}{16} = \frac{\pi \cdot 200^3}{16} = 1\,570\,796 [mm^3] \quad (247)$$

Výpočet napětí v krutu a v ohybu

$$\sigma_{o1} = \frac{M_{o1}}{W_{o1}} = \frac{14\,970\,001}{716\,812} = 20,9 [Nmm^{-2}] \quad (248)$$

$$\tau_{k1} = \frac{M_{kIII}}{W_{k1}} = \frac{23\,027\,439}{1\,433\,623} = 16,1 [Nmm^{-2}] \quad (249)$$

$$\sigma_{o2} = \frac{M_{o2}}{W_{o2}} = \frac{32\,261\,498}{785\,398} = 41,1 [Nmm^{-2}] \quad (250)$$

$$\tau_{k2} = \frac{M_{kIII}}{W_{k2}} = \frac{23\,027\,439}{1\,570\,796} = 14,7 [Nmm^{-2}] \quad (251)$$

Výpočet redukovaného napětí v ohybu

$$\begin{aligned} \sigma_{ored1} &= \sqrt{(\sigma_{o1} + p_{max})^2 + (\alpha \cdot \tau_{k1})^2} = \sqrt{(20,9 + 62,9)^2 + (\sqrt{3} \cdot 16,1)^2} \\ &= 88,3 [Nmm^{-2}] \end{aligned} \quad (252)$$

$$\sigma_{ored2} = \sqrt{\sigma_{o2}^2 + (\alpha \cdot \tau_{k2})^2} = \sqrt{41,1^2 + (\sqrt{3} \cdot 14,7)^2} = 48,3 [Nmm^{-2}] \quad (253)$$

[8]

Výpočet statické bezpečnosti

$$k_{s1} = \frac{R_e\,16\,526}{\sigma_{ored1}} = \frac{885}{88,3} = 10 [-] \quad (254)$$

$$k_{s2} = \frac{R_e\,16\,526}{\sigma_{ored2}} = \frac{885}{48,3} = 18,3 [-] \quad (255)$$

[13]

Hřídel III vyhověla statické kontrole s bezpečností 10.

4.15.4. Hřídel IV

Pod pastorkem index 1 a pod ozubeným kolem index 2:

Výpočet momentů

$$M_{oxz1} = H_x \cdot i + F_{A87} \cdot \frac{d_{w7}}{2} = 67\ 266 \cdot 252 + 46\ 893 \cdot \frac{340}{2} = 24\ 922\ 842 \text{ [Nm]} \quad (256)$$

$$M_{oyz1} = H_y \cdot i = 346\ 797 \cdot 252 = 87\ 392\ 844 \text{ [Nm]} \quad (257)$$

$$M_{o1} = \sqrt{M_{oxz1}^2 + M_{oyz1}^2} = \sqrt{24\ 922\ 842^2 + 87\ 392\ 844^2} = 90\ 877\ 155 \text{ [Nm]} \quad (258)$$

$$M_{oxz2} = G_x \cdot k + F_{A56} \cdot \frac{d_{w6}}{2} = 21\ 920 \cdot 178,5 + 28\ 286 \cdot \frac{771}{2} = 14\ 816\ 973 \text{ [Nm]} \quad (259)$$

$$M_{oyz2} = G_y \cdot k = 301\ 296 \cdot 178,5 = 53\ 781\ 336 \text{ [Nm]} \quad (260)$$

$$M_{o2} = \sqrt{M_{oxz2}^2 + M_{oyz2}^2} = \sqrt{2\ 060\ 940^2 + 4\ 376\ 873^2} = 4\ 837\ 819 \text{ [Nm]} \quad (261)$$

$$M_{kIV} = F_{T87} \cdot \frac{d_{w7}}{2} = 446\ 981 \cdot \frac{340}{2} = 75\ 986\ 770 \text{ [Nm]} \quad (262)$$

Výpočet modulů

$$W_{o1} = \frac{\pi \cdot d_1^3}{32} = \frac{\pi \cdot 292^3}{32} = 2\ 444\ 266 \text{ [mm}^3\text{]} \quad (263)$$

$$W_{k1} = \frac{\pi \cdot d_1^3}{16} = \frac{\pi \cdot 292^3}{16} = 4\ 888\ 532 \text{ [mm}^3\text{]} \quad (264)$$

$$W_{o2} = \frac{\pi \cdot d_2^3}{32} = \frac{\pi \cdot 230^3}{32} = 1\ 194\ 492 \text{ [mm}^3\text{]} \quad (265)$$

$$W_{k2} = \frac{\pi \cdot d_2^3}{16} = \frac{\pi \cdot 230^3}{16} = 2\ 388\ 985 \text{ [mm}^3\text{]} \quad (266)$$

Výpočet napětí v krutu a v ohybu

$$\sigma_{o1} = \frac{M_{o1}}{W_{o1}} = \frac{90\ 877\ 155}{2\ 444\ 266} = 37,2 \text{ [Nm}^{-2}\text{]} \quad (267)$$

$$\tau_{k1} = \frac{M_{kIV}}{W_{k1}} = \frac{75\ 986\ 770}{4\ 888\ 532} = 15,5 \text{ [Nm}^{-2}\text{]} \quad (268)$$

$$\sigma_{o2} = \frac{M_{o2}}{W_{o2}} = \frac{55\ 785\ 077}{1\ 194\ 492} = 46,7 \text{ [Nm}^{-2}\text{]} \quad (269)$$

$$\tau_{k2} = \frac{M_{kIV}}{W_{k2}} = \frac{75\ 986\ 770}{2\ 388\ 985} = 31,8 \text{ [Nm}^{-2}\text{]} \quad (270)$$

Výpočet redukovaného napětí v ohybu

$$\sigma_{ored1} = \sqrt{\sigma_{o1}^2 + (\alpha \cdot \tau_{k1})^2} = \sqrt{37,2^2 + (\sqrt{3} \cdot 15,5)^2} = 45,9 \text{ [Nm}^{-2}\text{]} \quad (271)$$

$$\begin{aligned}\sigma_{ored2} &= \sqrt{(\sigma_{o2} + p_{max})^2 + (\alpha \cdot \tau_{k1})^2} = \sqrt{(46,7 + 76,4)^2 + (\sqrt{3} \cdot 31,8)^2} \\ &= 134,9 \text{ [Nm m}^{-2}\text{]}\end{aligned}\quad (272)$$

[8]

Výpočet statické bezpečnosti

$$k_{s1} = \frac{R_{e16526}}{\sigma_{ored1}} = \frac{885}{45,9} = 19,3 \text{ [-]} \quad (273)$$

$$k_{s2} = \frac{R_{e16526}}{\sigma_{ored2}} = \frac{885}{134,9} = 6,6 \text{ [-]} \quad (274)$$

[13]

Hřídel IV vyhověla statické kontrole s bezpečností 6,6.

4.15.5. Hřídel V

Výpočet momentů

$$M_{oxz} = I_x \cdot m = 132\,430 \cdot 534,5 = 70\,783\,835 \text{ [Nm m]} \quad (275)$$

$$M_{oyz} = I_y \cdot m = 144\,562 \cdot 534,5 = 77\,268\,389 \text{ [Nm m]} \quad (276)$$

$$M_o = \sqrt{M_{oxz}^2 + M_{oyz}^2} = \sqrt{70\,783\,835^2 + 77\,268\,389^2} = 104\,789\,099 \text{ [Nm m]} \quad (277)$$

$$M_{kV} = F_{T78} \cdot \frac{d_{w8}}{2} = 446\,981 \cdot \frac{760}{2} = 169\,852\,780 \text{ [Nm m]} \quad (278)$$

Výpočet modulů

$$W_o = \frac{\pi \cdot d^3}{32} = \frac{\pi \cdot 270^3}{32} = 1\,932\,374 \text{ [mm}^3\text{]} \quad (279)$$

$$W_k = \frac{\pi \cdot d^3}{16} = \frac{\pi \cdot 270^3}{16} = 169\,852\,780 \text{ [mm}^3\text{]} \quad (280)$$

Výpočet napětí v krutu a v ohybu

$$\sigma_o = \frac{M_o}{W_o} = \frac{104\,789\,099}{1\,932\,374} = 54,2 \text{ [Nm m}^{-2}\text{]} \quad (281)$$

$$\tau_k = \frac{M_{kV}}{W_k} = \frac{169\,852\,780}{3\,864\,748} = 43,9 \text{ [Nm m}^{-2}\text{]} \quad (282)$$

Výpočet redukovaného napětí v ohybu

$$\begin{aligned}\sigma_{ored} &= \sqrt{(\sigma_o + p_{max})^2 + (\alpha \cdot \tau_k)^2} = \sqrt{(54,2 + 72,6)^2 + (\sqrt{3} \cdot 43,9)^2} \\ &= 147,9 \text{ [Nm m}^{-2}\text{]}\end{aligned}\quad (283)$$

[8]

Výpočet statické bezpečnosti

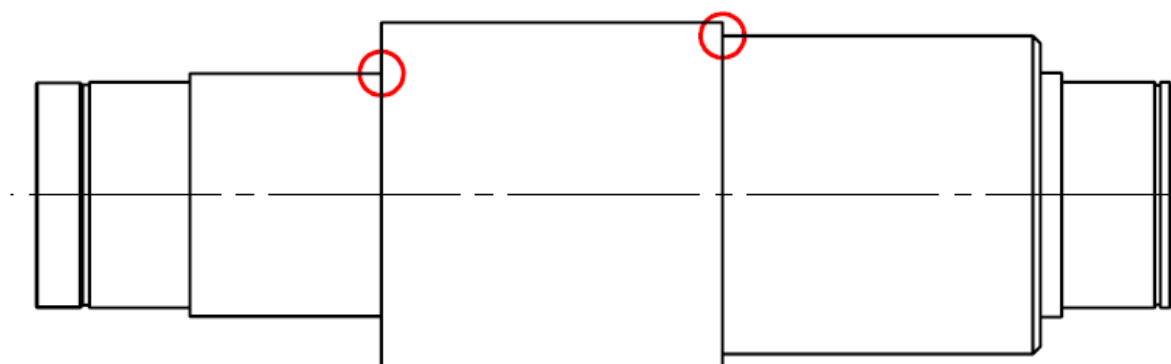
$$k_s = \frac{R_{e\ 11\ 500}}{\sigma_{ored}} = \frac{265}{147,9} = 1,8 [-] \quad (284)$$

[13]

Hřídel V vyhověla statické kontrole s bezpečností 1,8.

4.16. Dynamická kontrola

Dynamickou kontrolu jsem provedl pouze na předložovém hřídeli III. Pro výpočet dynamické kontroly jsem využil programu All_Dynamická analýza bez VBA.xls, který je dostupný na školním serveru SEPS. Uvádí 2 nejhorší místa, která jsou vyobrazena na Obr. 33. [14]



Obr. 33.: Ukázka míst dynamické kontroly hřidele III

Napětí ve vrubu				
		σ_{ao} : 25,03028348	MPa	
		τ_m : 16,06209836	MPa	
Míra bezpečnosti				
$k_\sigma = \sigma_{cox} / \sigma_{ao}$		k_σ : 10,72201201		
$k_\tau = \tau_{kt} / \tau_m$		k_τ : 33,05919239		
$k = 1/\sqrt{(1/k_\sigma^2 + 1/k_\tau^2)}$		k : 10,19901237		

Obr. 34.: Dynamická kontrola osazení ozubeného kola

Napětí ve vrubu				
		σ_{ao} :	34,55699448	MPa
		τ_m :	17,20592259	MPa
Míra bezpečnosti				
$k\sigma = \sigma_{cox} / \sigma_{ao}$		$k\sigma$:	8,71489419	
$k\tau = \tau_{kt} / \tau_m$		$k\tau$:	30,86146629	
$k = 1/\sqrt{1/k\sigma^2 + 1/k\tau^2}$		k :	8,386909822	

Obr. 35.: Dynamická kontrola osazení pastorku

Předlobová hřídel III prošla dynamickou kontrolou. V místě osazení ozubeného kola (Obr. 34) vyšla dynamická bezpečnost 10,2 a v místě osazení pastorku (Obr. 35) vyšla dynamická bezpečnost 8,4. Pro osazení pastorku jsem počítal s výběhem frézy o poloměru R70. [14]

4.17. Kontrola tuhosti hřídele

Kontrolu tuhosti jsem provedl na předlobovém hřídeli III.

4.17.1. Kontrola torzní tuhosti

Pro výpočet celkového úhlu nakroucení jsem vycházel ze vzorce

$$\varphi = \frac{M_k}{G} \cdot \frac{180}{\pi} \cdot \sum_{i=1}^n \frac{l_i}{I_{pi}} \quad (285)$$

Kde M_k je kroutící moment na daném hřídeli, G je modul pružnosti ve smyku, l_i je délka dílčího úseku pro příslušný polární kvadratický moment průřezu I_{pi} , který jsem vyjádřil pomocí vztahu

$$I_{pi} = \frac{\pi}{32} \cdot d_i^4 \quad (286)$$

Kde d_i je průměr dílčího úseku.

Po dosazení do vzorce

$$\begin{aligned}\varphi &= \frac{M_{kIII}}{G} \cdot \frac{180}{\pi} \cdot \sum_{i=1}^n \frac{l_i}{I_{pi}} \\ &= \frac{23\,019 \cdot 10^3}{0,81 \cdot 10^5} \cdot \frac{180}{\pi} \cdot \left(\frac{67}{\frac{\pi}{32} \cdot 190^4} + \frac{271,5}{\frac{\pi}{32} \cdot 275^4} + \frac{126,5}{\frac{\pi}{32} \cdot 200^4} \right) \\ &= 0,0295 [^\circ]\end{aligned}\quad (287)$$

Jako kontrolní hodnota se uvádí celkový úhel nakroucení na jednotku délky.

$$\vartheta = \frac{\varphi}{l} = \frac{0,0295}{465} = 6,34 \cdot 10^{-5} [\text{°mm}^{-1}] = 6,34 \cdot 10^{-2} [\text{°m}^{-1}] \quad (288)$$

„Dovolená hodnota nakroucení na jednotku délky je ϑ_D je **(0,25÷0,35) [°m⁻¹]**.“ [8]
Hřidel tedy vyhovuje kontrole torzní tuhosti.

4.17.2. Kontrola ohybové tuhosti

Při kontrole ohybové tuhosti jsem vycházel z programu All_Pruhyb_Hridel2.xls, který je dostupný na školním serveru SEPS. Nejdříve jsem kontroloval maximální průhyb y_{max} a průhyb v místech uložení ozubených kol na hřidle y_k . [14]

Maximální dovolený průhyb hřidle mezi ložisky. [8]

$$y_{Dmax} = \frac{l}{3000} = \frac{784}{3000} = 0,26 [\text{mm}] \quad (289)$$

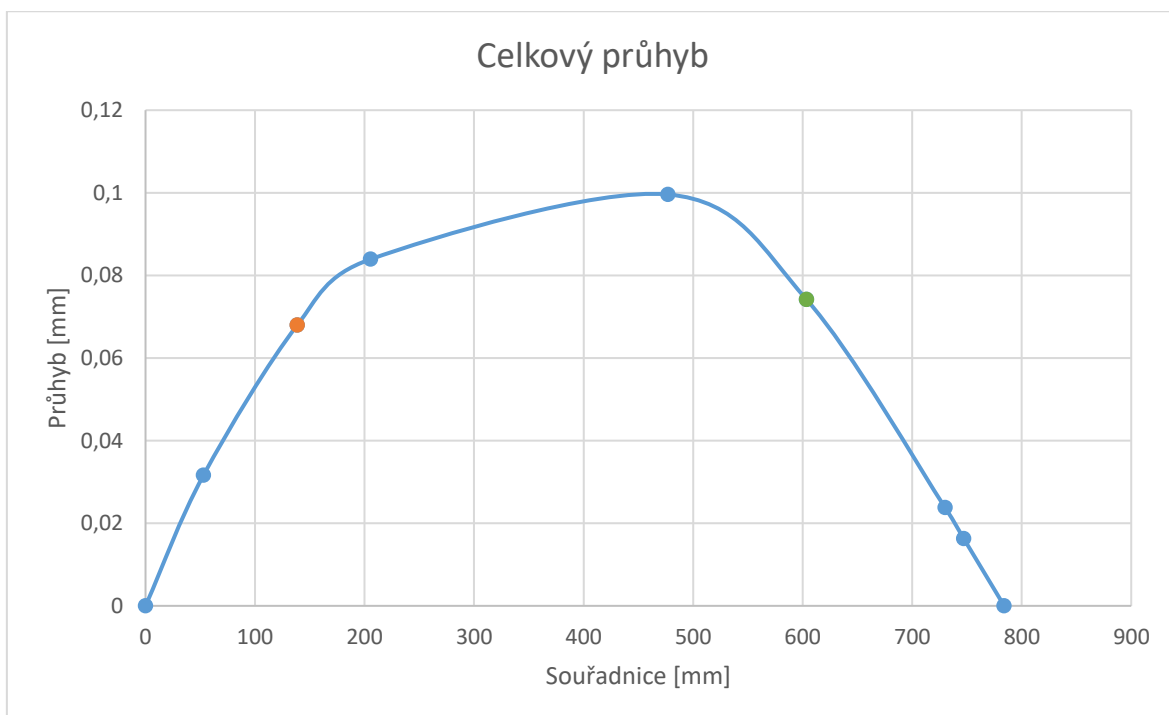
Maximální dovolený průhyb pod ozubeným kolem. [8]

$$y_{Dk1} = \frac{m_{34}}{100} = \frac{7}{100} = 0,07 [\text{mm}] \quad (290)$$

Maximální dovolený průhyb pod pastorkem. [8]

$$y_{Dk2} = \frac{m_{56}}{100} = \frac{12}{100} = 0,12 [\text{mm}] \quad (291)$$

Pro celkový průhyb jsem vytvořil graf, kde je vlevo oranžově označen průhyb pod ozubeným kolem a vpravo zeleně označen průhyb pod pastorkem.



Obr. 36.: Průhyb hřídele III

Z grafu (Obr. 36) jsem odečetl průhyb pod ozubeným kolem $y_{k1}=0,068$ [mm], průhyb pod pastorkem $y_{k2}=0,074$ [mm] a maximální průhyb mezi ložisky je $y_{\max}=0,1$ [mm]. Po porovnání s maximálními dovolenými hodnotami můžeme prohlásit, že hřídel III vyhovuje kontrole ohybové tuhosti z hlediska průhybů. [14]

Maximální dovolený úhel sklonu v místě uložení ozubených kol. [8]

$$\varphi_{DK} = (3 \div 7) ['] \quad (292)$$

Maximální dovolený úhel sklonu v ložiscích. [8]

$$\varphi_{DL} = (5 \div 10) ['] \quad (293)$$

Z programu All_Pruhyb_Hridel2.xls jsem odečetl úhel sklonu pod ložisky $\varphi_{L1}=0,04$ ['] a $\varphi_{L2}=0,026$ ['] a úhel sklonu v místě uložení ozubeného kola $\varphi_{K1}=0,019$ ['] a úhel sklonu v místě uložení pastorku $\varphi_{K2}=0,02$ [']. Vypočítané hodnoty úhlu sklonu jsou výrazně menší než dovolené hodnoty. Hřídel III tedy vyhovuje kontrole ohybové tuhosti z hlediska naklopení. [14]

4.18. Uložení náboj-hřídel

4.18.1. Pero na vstupním hřídeli a pružné spojce

Pro průměr hřídele $d=60$ [mm] jsem podle normy ČSN 02 2562 zvolil 2 pera 18x11x70. Pero jsem kontroloval na otlačení. [5]

$$p = \frac{4 \cdot M_{kI}}{d_H \cdot h \cdot 2 \cdot l_a} = \frac{4 \cdot 970,5 \cdot 10^3}{60 \cdot 11 \cdot 2 \cdot (70 - 18)} = 56,6 \text{ [MPa]} \quad (294)$$

	provozní režim	povrch	
		netvrzený	tvrzený
spojení nepohyblivé	Δ	35 ÷ 50	40 ÷ 80
	~	50 ÷ 80	80 ÷ 130
	—	80 ÷ 120	130 ÷ 200
spojení pohyblivé bez zatížení	Δ	10 ÷ 15	15 ÷ 30
	~	15 ÷ 25	30 ÷ 50
	—	25 ÷ 40	50 ÷ 70
spojení pohyblivé pod zatížením	Δ		3 ÷ 7
	~		7 ÷ 15
	—		15 ÷ 30

Obr. 37.: Dovolený tlak pera pro styk s hřídelem a nábojem

Dovolený tlak $p_D = (110 \div 120) \text{ [MPa]}$ (Obr. 37). Pera 18x11x70 vyhovují kontrole na otlačení pera. [15]

Kontrola na stříh.

$$\tau = \frac{2 \cdot M_{kI}}{d_H \cdot b \cdot 2 \cdot l_a} = \frac{2 \cdot 970,5 \cdot 10^3}{60 \cdot 18 \cdot 2 \cdot (70 - 18)} = 17,3 \text{ [Nmm}^{-2}\text{]} \quad (295)$$

Dovolené smykové napětí je $\tau_D = (60 \div 90) \text{ [MPa]}$. Pera 18x11x70 vyhovují kontrole na stříh. [15]

4.18.2. Nalisování kola 2

Pro nalisování jsem nejdříve musel určit minimální tlak ve spoji.

$$p_{min} = \frac{k \cdot M_{kII}}{\pi \cdot d_{HII} \cdot L \cdot f \cdot \frac{d_{HII}}{2}} = \frac{1,1 \cdot 5\ 156 \cdot 10^3}{\pi \cdot 105 \cdot 81 \cdot 0,12 \cdot \frac{105}{2}} = 33,7 \text{ [MPa]} \quad (296)$$

Kde k je součinitel bezpečnosti, d_{HII} je průměr hřídele, L je délka nalisovaného spoje a f je součinitel tření. [15]

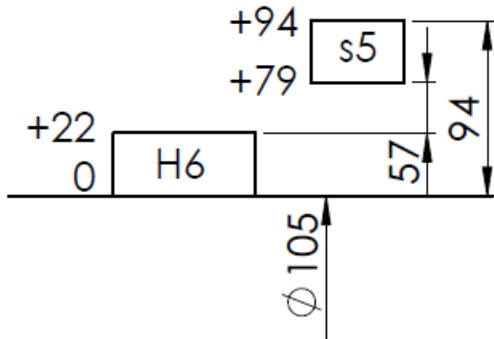
Při stanovení minimálního přesahu jsem nejdříve vypočítal geometrickou konstantu a poté s pomocí dané geometrické konstanty vypočítal hodnotu minimálního přesahu.

$$C_N = \frac{D_N^2 + d_H^2}{D_N^2 - d_H^2} = 1,893 \text{ [-]} \quad (297)$$

Kde $D_N = 1,8 \cdot d_H$.

$$\Delta d_{min} = p_{min} \cdot d_{HII} \cdot \frac{1}{E} \cdot (C_N + 1) = 33,7 \cdot 105 \cdot \frac{1}{2,1 \cdot 10^5} \cdot (1,893 + 1) \\ = 0,04874 [mm] \quad (298)$$

Kde E je modul pružnosti.



Obr. 38.: Uložení H6/s5 kola 2

Pro nalisování kola 2 za tepla jsem navrhl uložení **H6/s5** (Obr. 38), pro které platí minimální přesah $\delta_{min}=0,057$ [mm] a maximální přesah $\delta_{max}=0,094$ [mm]. [5] Maximální tlak ve spoji jsem vypočítal pomocí následujícího vztahu

$$p_{max} = \frac{\Delta d_{max}}{d_{HII} \cdot \frac{1}{E} \cdot (C_N + 1)} = \frac{0,094}{105 \cdot \frac{1}{2,1 \cdot 10^5} \cdot (1,893 + 1)} = 65 [MPa] \quad (299)$$

Pro stanovení pevnostní kontroly náboje jsem musel určit σ_{red} . Proto jsem nejdříve určil velikosti hlavních napětí.

$$\sigma_1 = C_N \cdot p_{max} = 1,893 \cdot 65 = 123 [Nmm^{-2}] \quad (300)$$

$$\sigma_2 = 0 \quad (301)$$

$$\sigma_3 = -p_{max} = -65 [Nmm^{-2}] \quad (302)$$

Podle teorie HMH jsem určil σ_{red} .

$$\sigma_{red} = \sqrt{\sigma_1^2 + \sigma_3^2 - \sigma_1 \cdot \sigma_3} = \sqrt{123^2 + (-65)^2 - 123 \cdot (-65)} \\ = 165,4 [Nmm^{-2}] \quad (303)$$

Mez kluzu materiálu 16 526 je $\sigma_{kt}=880$ [Nmm^{-2}]. Bezpečnost navrženého nalisování je $k=5,3$ [-]. [13]

Pro výpočet potřebného ohřátí náboje jsem vycházel z minimální vůle pro uložení **H7/g6**. [5] [13]

$$\Delta T = \frac{\Delta d_{max} + v}{\alpha \cdot d_{HII}} = \frac{0,094 + 0,012}{11,5 \cdot 10^{-6} \cdot 105} = 87,8 [^{\circ}C] \quad (304)$$

Kde v je minimální vůle pro uložení **H7/g6** a α je součinitel lineární tepelné roztažnosti.

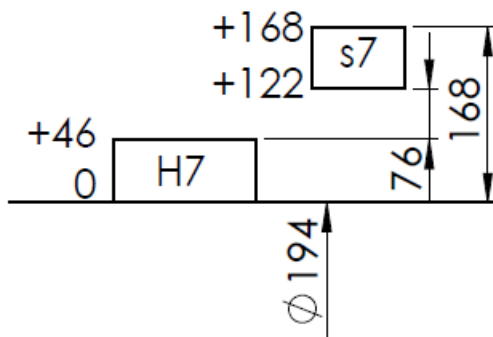
4.18.3. Nalisování kola 4

Při navrhování ostatních ozubených kol jsem postupoval obdobně jako u kola 2.

$$p_{min} = \frac{k \cdot M_{kIII}}{\pi \cdot d_{HIII} \cdot L \cdot f \cdot \frac{d_{HIII}}{2}} = \frac{1,1 \cdot 23\,019 \cdot 10^3}{\pi \cdot 194 \cdot 134 \cdot 0,12 \cdot \frac{194}{2}} = 26,6 \text{ [MPa]} \quad (305)$$

$$C_N = \frac{D_N^2 + d_H^2}{D_N^2 - d_H^2} = 1,893 \quad (306)$$

$$\Delta d_{min} = p_{min} \cdot d_{HIII} \cdot \frac{1}{E} \cdot (C_N + 1) = 26,6 \cdot 194 \cdot \frac{1}{2,1 \cdot 10^5} \cdot (1,893 + 1) \\ = 0,07118 \text{ [mm]} \quad (307)$$



Obr. 39.: Uložení H7/s7 kola 4

Pro nalisování kola 4 za tepla jsem navrhl uložení **H7/s7** (Obr. 39), pro které platí minimální přesah $\delta_{min}=0,076$ [mm] a maximální přesah $\delta_{max}=0,168$ [mm]. [5]

$$p_{max} = \frac{\Delta d_{max}}{d_{HIII} \cdot \frac{1}{E} \cdot (C_N + 1)} = \frac{0,168}{194 \cdot \frac{1}{2,1 \cdot 10^5} \cdot (1,893 + 1)} = 71,2 \text{ [MPa]} \quad (308)$$

$$\sigma_1 = C_N \cdot p_{max} = 1,893 \cdot 71,2 = 134,7 \text{ [Nmm}^{-2}\text{]} \quad (309)$$

$$\sigma_2 = 0 \quad (310)$$

$$\sigma_3 = -p_{max} = -71,2 \text{ [Nmm}^{-2}\text{]} \quad (311)$$

$$\sigma_{red} = \sqrt{\sigma_1^2 + \sigma_3^2 - \sigma_1 \cdot \sigma_3} = \sqrt{134,7^2 + (-71,2)^2 - 134,7 \cdot (-71,2)} \\ = 181,2 \text{ [Nmm}^{-2}\text{]} \quad (312)$$

Mez kluzu materiálu 16 526 je $\sigma_{kt}=880$ [Nmm⁻²]. Výsledná bezpečnost lisovaného spoje je tedy $k=4,9$ [-]. [13]

Pro výpočet potřebného ohřátí náboje jsem vycházel z minimální vůle pro uložení **H7/g6**. [5]

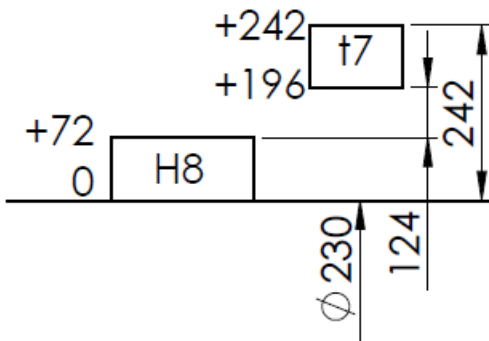
$$\Delta T = \frac{\Delta d_{max} + \nu}{\alpha \cdot d_{HIII}} = \frac{0,168 + 0,014}{11,5 \cdot 10^{-6} \cdot 194} = 93,1 \text{ [}^{\circ}\text{C}] \quad (313)$$

4.18.4. Nalisování kola 6

$$p_{min} = \frac{k \cdot M_{kIV}}{\pi \cdot d_{HIV} \cdot L \cdot f \cdot \frac{d_{HIV}}{2}} = \frac{1,1 \cdot 75\,987 \cdot 10^3}{\pi \cdot 230 \cdot 241 \cdot 0,12 \cdot \frac{230}{2}} = 34,8 [MPa] \quad (314)$$

$$C_N = \frac{D_N^2 + d_H^2}{D_N^2 - d_H^2} = 1,893 \quad (315)$$

$$\Delta d_{min} = p_{min} \cdot d_{HIV} \cdot \frac{1}{E} \cdot (C_N + 1) = 34,8 \cdot 230 \cdot \frac{1}{2,1 \cdot 10^5} \cdot (1,893 + 1) \\ = 0,1102 [mm] \quad (316)$$



Obr. 40.: Uložení H8/t7 kola 6

Pro nalisování kola 6 za tepla jsem navrhl uložení **H8/t7** (Obr. 40), pro které platí minimální přesah $\delta_{min}=0,124$ [mm] a maximální přesah $\delta_{max}=0,242$ [mm]. [5]

$$p_{max} = \frac{\Delta d_{max}}{d_{HIV} \cdot \frac{1}{E} \cdot (C_N + 1)} = \frac{0,242}{230 \cdot \frac{1}{2,1 \cdot 10^5} \cdot (1,893 + 1)} = 76,4 [MPa] \quad (317)$$

$$\sigma_1 = C_N \cdot p_{max} = 1,893 \cdot 76,4 = 144,6 [Nmm^{-2}] \quad (318)$$

$$\sigma_2 = 0 \quad (319)$$

$$\sigma_3 = -p_{max} = -76,4 [Nmm^{-2}] \quad (320)$$

$$\sigma_{red} = \sqrt{\sigma_1^2 + \sigma_3^2 - \sigma_1 \cdot \sigma_3} = \sqrt{144,6^2 + (-76,4)^2 - 144,6 \cdot (-76,4)} \\ = 194,4 [Nmm^{-2}] \quad (321)$$

Mez kluzu materiálu 16 526 je $\sigma_{kt}=880$ [Nmm⁻²]. Bezpečnost navrženého lisovaného spoje je $k=4,5$ [-]. [13]

Pro výpočet potřebného ohřátí náboje jsem vycházel z minimální vůle pro uložení **H7/g6**. [5]

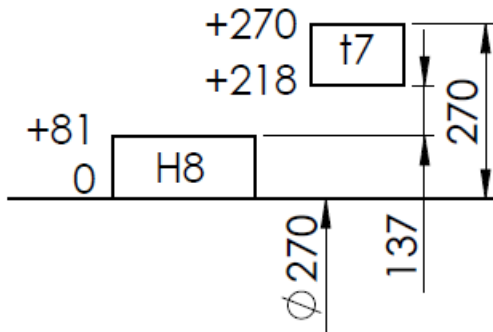
$$\Delta T = \frac{\Delta d_{max} + \nu}{\alpha \cdot d_{HIV}} = \frac{0,242 + 0,015}{11,5 \cdot 10^{-6} \cdot 230} = 97,2 [^{\circ}C] \quad (322)$$

4.18.5. Nalisování kola 8

$$p_{min} = \frac{k \cdot M_{kV}}{\pi \cdot d_{HV} \cdot L \cdot f \cdot \frac{d_{HV}}{2}} = \frac{1,1 \cdot 166\,456 \cdot 10^3}{\pi \cdot 270 \cdot 380 \cdot 0,12 \cdot \frac{270}{2}} = 35,1 [MPa] \quad (323)$$

$$C_N = \frac{D_N^2 + d_H^2}{D_N^2 - d_H^2} = 1,893 \quad (324)$$

$$\Delta d_{min} = p_{min} \cdot d_{HV} \cdot \frac{1}{E} \cdot (C_N + 1) = 35,1 \cdot 270 \cdot \frac{1}{2,1 \cdot 10^5} \cdot (1,893 + 1) \\ = 0,1304 [mm] \quad (325)$$



Obr. 41.: Uložení H8/t7 kola 8

Pro nalisování kola 8 za tepla jsem navrhl uložení **H8/t7** (Obr. 41), pro které platí minimální přesah $\delta_{min}=0,137$ [mm] a maximální přesah $\delta_{max}=0,27$ [mm]. [5]

$$p_{max} = \frac{\Delta d_{max}}{d_{HV} \cdot \frac{1}{E} \cdot (C_N + 1)} = \frac{0,27}{270 \cdot \frac{1}{2,1 \cdot 10^5} \cdot (1,893 + 1)} = 72,6 [MPa] \quad (326)$$

$$\sigma_1 = C_N \cdot p_{max} = 1,893 \cdot 72,6 = 137,4 [Nmm^{-2}] \quad (327)$$

$$\sigma_2 = 0 \quad (328)$$

$$\sigma_3 = -p_{max} = -72,6 [Nmm^{-2}] \quad (329)$$

$$\sigma_{red} = \sqrt{\sigma_1^2 + \sigma_3^2 - \sigma_1 \cdot \sigma_3} = \sqrt{137,4^2 + (-72,6)^2 - 137,4 \cdot (-72,6)} \\ = 184,7 [Nmm^{-2}] \quad (330)$$

Mez kluzu materiálu 11 500 je $\sigma_{kt}=290$ [Nmm⁻²]. Bezpečnost nalisovaného spoje je $k=1,6$ [-]. [13]

Pro výpočet potřebného ohřátí náboje jsem vycházel z minimální vůle pro uložení **H7/g6**. [5]

$$\Delta T = \frac{\Delta d_{max} + \nu}{\alpha \cdot d_{HV}} = \frac{0,27 + 0,017}{11,5 \cdot 10^{-6} \cdot 270} = 92,4 [^{\circ}C] \quad (331)$$

4.18.6. Evolventní drážkování na výstupním hřídeli a zubové spojce

Pro spojení výstupního hřídele a zubové spojky jsem navrhl evolventní drážkování s nominálním průměrem $D=260$ [mm], modulem $m=5$ [mm] a počtem zubů $z=50$ [-].

Kontrola zubů na otlačení

$$p = \frac{M_{kV}}{0,45 \cdot m^2 \cdot z^2 \cdot l \cdot \psi} = \frac{166\,456 \cdot 10^3}{0,45 \cdot 5^2 \cdot 50^2 \cdot 280 \cdot 1} = 21,1 \text{ [MPa]} \quad (332)$$

Dovolený tlak je $p_D = (110 \div 120) \text{ [MPa]}$. Evolventní drážkování vyhovělo kontrole na otlačení. [13]

Hřídel jsem pod evolventním drážkováním kontroloval na krut.

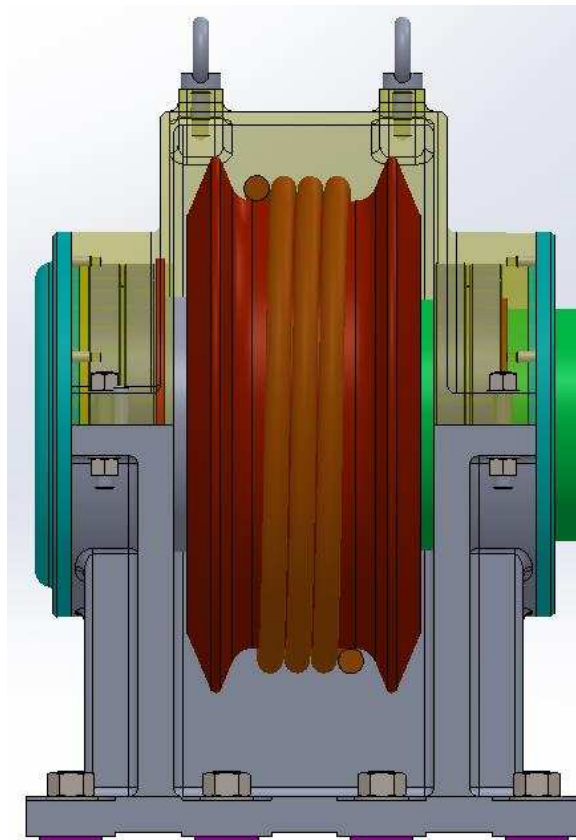
$$\tau = \frac{M_{kV}}{W_k} = \frac{M_{kV}}{\frac{\pi \cdot d^3}{16}} = \frac{166\,456 \cdot 10^3}{\frac{\pi \cdot 249^3}{16}} = 54,9 \text{ [Nmm}^{-2}\text{]} \quad (333)$$

Kde d je patní kružnice evolventního drážkování.

Dovolené smykové napětí pro míjivé zatížení pro materiál 11 500 je $\tau_{D11\,500} = (55 \div 85) \text{ [Nmm}^{-2}\text{]}$. Hřídel V vyhovuje pevnostní podmínce v krutu. [15]

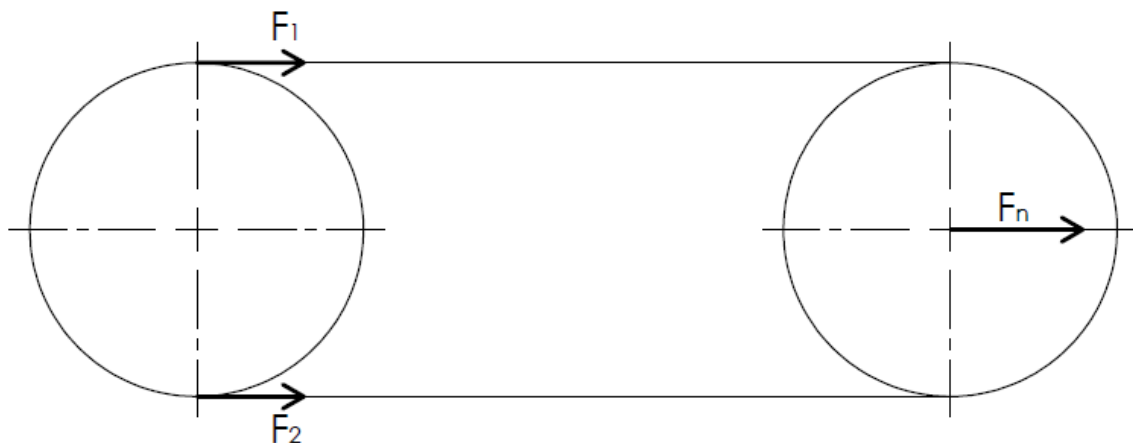
4.19. Napínací síla

Kvůli funkčnosti celého dopravníku je nutno stanovit sílu, kterou bude lano napínáno. Pokud by nedošlo k potřebnému předepnutí lana, tak by lano začalo prokluzovat a celý dopravník by se stal nefunkčním. Aby napínací síla nebyla příliš veliká, tak bude lano třikrát ovinuto okolo lanového kotouče (Obr. 42).



Obr. 42.: Lanový kotouč

Při výpočtech vycházím z Obr. 43, kde F_1 je tažná síla způsobená vozíky, F_2 je síla odlehčená a F_n je napínací síla.



Obr. 43.: Schéma pro výpočet napínací síly

Pro výpočet síly F_2 jsem vycházel z Eulerova vztahu opásání.

$$\frac{F_1}{F_2} = e^{\alpha \cdot f} \quad (334)$$

Kde α je úhel opásání, f je součinitel tření, který jsme stanovili jako 0,11, a e je Eulerovo číslo.

Po úpravě a dosazení

$$F_2 = \frac{F_1}{e^{\alpha \cdot f}} = \frac{397}{e^{7 \cdot \pi \cdot 0,11}} = 35,3 [kN] \quad (335)$$

Napínací sílu při zatížení jsem vypočítal ze vztahu uvedeném v literatuře [17].

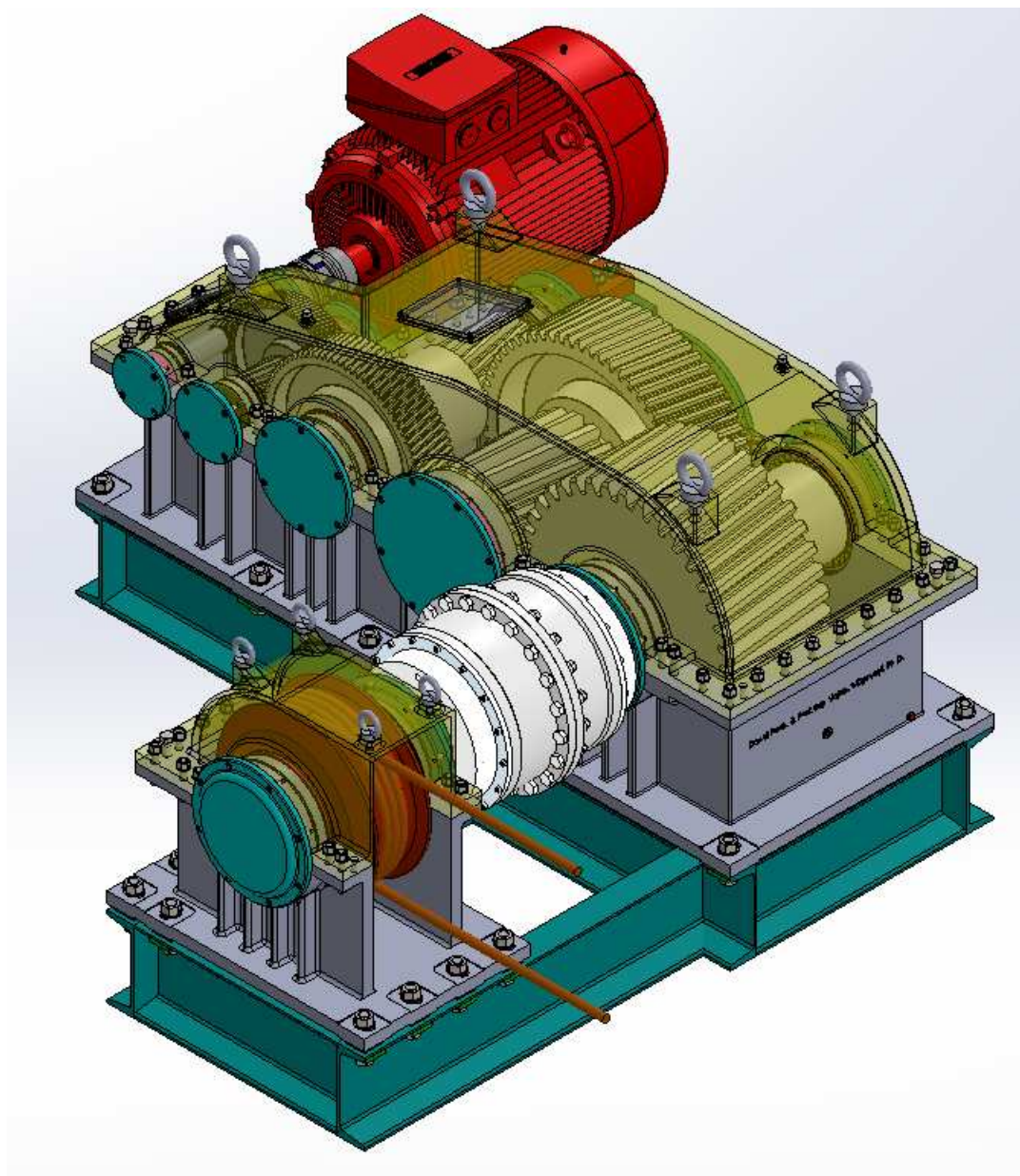
$$F_n = F_1 \cdot \frac{e^{\alpha \cdot f} + 1}{e^{\alpha \cdot f} - 1} = 397 \cdot \frac{e^{7 \cdot \pi \cdot 0,11} + 1}{e^{7 \cdot \pi \cdot 0,11} - 1} = 475 [kN] \quad (336)$$

5. Závěr

V této bakalářské práci jsem se nejdříve věnoval krátké rešerší na téma nákladních tramvají ve městech. Dále jsem koncepčně řešil vodorovný dopravník, který dopravuje kontejnery se slisovaným odpadem do míst, kde jsou kontejnery nakládány na upravené tramvaje Tatra T3. Z tohoto koncepčního návrhu vzešly základní parametry pro převodový mechanismus, který jsem řešil ve výpočtové části.

Během návrhu převodů soukolí převodového mechanismu jsem zjistil, že převodový mechanismus bude čtyřstupňový. Pro tento převod jsem navrhl elektromotor, který pohání celý vodorovný dopravník. Převodový mechanismus jsem celý patřičně propočítal a bezpečnostně zkontoval.

Z vypočteného převodového mechanismu jsem vytvořil 3D model v programu SolidWorks (Obr. 44) a následně vypracoval část výkresové dokumentace.



Obr. 44.: 3D model převodového mechanismu s lanovým kotoučem

Celý převodový mechanismus popsaný v této bakalářské práci předpokládá mazání pomocí brodění ozubených kol. Pro tento předpoklad byla speciálně navržena vana skříně, která je rozdělena na dvě sekce s různě vysokým dnem. Po zpětném zamýšlení nad tímto typem mazání se dá předpokládat, že kvůli velmi nízké úhlové rychlosti výstupního hřídele nebyl tento předpoklad správný. Pro mazání ložisek a zubů ozubených kol a pastorků by mělo být po skříni rozvedeno mazivo, které by bylo do rozvodného systému vháněno pomocí čerpadla. Toto zamýšlení bylo již nad rámec zadání bakalářské práce, ale je to problém, který by se při reálném použití musel řešit.

Seznam použité literatury

- [1] Cargotram. *Www.proaktiva.com* [online]. 2004 [cit. 2017-05-31]. Dostupné z: <http://www.proaktiva.ch/tram/zurich/cargotram.html>
- [2] Fahrplan Cargo-Tram und E-Tram. In: *Www.stadt-zuerich.ch* [online]. Curych: ERZ Entsorgung + Recycling Zürich, 2016 [cit. 2017-05-31]. Dostupné z: https://www.stadt-zuerich.ch/content/dam/stzh/ted/Deutsch/erz/Sauberer_Zuerich/Publikationen_und_Broschueren/SZ_Fahrplan_Cargo_E_Tram_2017.pdf
- [3] CarGo Tram Dresden: urban freight transport on tramways. *LivingRail* [online]. Mcrit [cit. 2017-05-31]. Dostupné z: http://81.47.175.201/livingrail/index.php?option=com_content&view=article&id=705:cargo-tram-dresden-urban-freight-transport-on-tramways&catid=40:logistics&Itemid=130
- [4] Freight tram to support electric car production. *Metro Report International* [online]. London: Metro Report, 2017 [cit. 2017-05-31]. Dostupné z: <http://www.metro-report.com/news/single-view/view/freight-tram-to-support-electric-car-production.html>
- [5] LEINVEBER, Jiří a Pavel VÁVRA. *Strojnické tabulky: pomocná učebnice pro školy technického zaměření*. 5., upr. vyd. Úvaly: Albra, 2011. ISBN 978-80-7361-081-4.
- [6] ČSN 27 1820. Kladky a bubny pro ocelová lana. 1957.
- [7] Elektromotor SIEMENS 1LE1502-3AD23 75kW,738ot. *Elektromotory.net* [online]. Zábřeh: Elektromotory Moravec [cit. 2017-06-01]. Dostupné z: <http://www.elektromotory.net/siemens/1la7-750-otacek/1le1502-3ad2-75kw-738ot-1.html>
- [8] KUGL, Otmar. *Projekt - 3. ročník*. Praha: Vydavatelství ČVUT, 1997. ISBN 80-010-1638-2.
- [9] ČSN 01 4990. Válcové konce hřidelů. 1988.
- [10] 01_flexible_jaw_bin_bush_ROTEx. *KTR* [online]. Jevíčko: KTR CZ, spol [cit. 2017-06-01]. Dostupné z: https://www.ktr.com/fileadmin/ktr/media/Tools_Downloads/kataloge/03_backlash-free_jaw_couplings_ROTEx_GS.pdf
- [11] 02_tooth_gear_coupling_GEARex. *KTR* [online]. Jevíčko: KTR CR, spol [cit. 2017-06-01]. Dostupné z: https://www.ktr.com/fileadmin/ktr/media/Tools_Downloads/kataloge/02_tooth_gear_coupling_GEARex.pdf
- [12] SKF [online]. [cit. 2017-06-01]. Dostupné z: <http://www.skf.com/cz/index.html>
- [13] Základní dovolené napětí pro ohyb a pro otlačení. *Www.ozubeni.cz* [online]. [cit. 2017-06-01]. Dostupné z: <http://www.ozubeni.cz/ozubeni/vlastnosti.html>
- [14] SEPS - elektronická podpora studia [online]. 2017 [cit. 2017-06-01]. Dostupné z: www.seps.fs.cvut.cz
- [15] ŠVEC, Vladimír. *Části a mechanismy strojů: spoje a části spojovací*. Vyd. 3. V Praze: České vysoké učení technické, 2008. ISBN 978-80-01-04138-3.
- [16] ČSN 01 4955. Drážková spojení evolventní s úhlem profilu 30°. 1981.

- [17] JANČÍK, Luděk a Jiří ZÝMA. *Části a mechanismy strojů: (Bakalářské studium)*. V Praze:
České vysoké učení technické, 1996. ISBN 80-010-1422-3.

Seznam obrázků

- [1] Cargotram. [Www.proaktivatva.com](http://www.proaktivatva.com) [online]. 2004 [cit. 2017-05-31]. Dostupné z: <http://www.proaktivatva.ch/tram/zurich/cargotram.html>
- [2] PANKOW, Gabriel. Dieselgate-Urteil: Deutscher VW-Händler muss Golf zurückkaufen. In: *Produktion* [online]. Produktion, 2016 [cit. 2017-05-31]. Dostupné z: https://www.produktion.de/files/upload/post/pro/2016/11/141732/vw_glaeserne-manufaktur_4.jpg
- [3] Koncept žebříku
- [4] Koncept oválu
- [5] Koncept výhybny
- [6] 521 - Tramvaj T3. In: *Technické muzeum v Brně* [online]. Praha: Technické muzeum v Brně, 2002 [cit. 2017-05-31]. Dostupné z: <http://www.sabdigital.com/expozicemhd/?akce=exponaty-tramvaje-brno-521-tramvaj-t3>
- [7] Vlevo dva závěsné systémy, vpravo závěsný systém s otočnou hlavou
- [8] Betonový blok
- [9] Koncepční schéma zvedání betonového bloku
- [10] Napínání tažného lana
- [11] Čtyřstupňová čelní převodovka
- [12] Elektromotor SIEMENS 1LE1502-3AD23
- [13] Schéma pro určení křivky v diagramu KHβ, KUGL, Otmar. *Projekt - 3. ročník*. Praha: Vydavatelství ČVUT, 1997. ISBN 80-010-1638-2.
- [14] Diagram pro odečtení KHβ, KUGL, Otmar. *Projekt - 3. ročník*. Praha: Vydavatelství ČVUT, 1997. ISBN 80-010-1638-2.
- [15] Normalizované hodnoty modulu, KUGL, Otmar. *Projekt - 3. ročník*. Praha: Vydavatelství ČVUT, 1997. ISBN 80-010-1638-2.
- [16] Normalizované hodnoty osových vzdáleností, KUGL, Otmar. *Projekt - 3. ročník*. Praha: Vydavatelství ČVUT, 1997. ISBN 80-010-1638-2.
- [17] Schéma výsledného soukolí
- [18] Pružná spojka ROTEX GS 75 St 92 Sh-A
- [19] Zubová spojka GEARex DA 85 (42CrMo4)
- [20] Rozkreslení sil do rovin, KUGL, Otmar. *Projekt - 3. ročník*. Praha: Vydavatelství ČVUT, 1997. ISBN 80-010-1638-2.
- [21] Rovina radiálních a axiálních sil (Hřídel I.)
- [22] Rovina tečných sil (Hřídel I.)
- [23] Rovina radiálních a axiálních sil (Hřídel II.)
- [24] Rovina tečných sil (Hřídel II.)
- [25] Rovina radiálních a axiálních sil (Hřídel III.)
- [26] Rovina tečných sil (Hřídel III.)
- [27] Rovina radiálních a axiálních sil (Hřídel IV.)
- [28] Rovina tečných sil (Hřídel IV.)
- [29] Rovina radiálních a axiálních sil (Hřídel V.)
- [30] Rovina tečných sil (Hřídel V.)
- [31] Axiální zajištění ložiska

- [32] Axiální zatížení kuželíkových ložisek, SKF [online]. [cit. 2017-06-01]. Dostupné z: <http://www.skf.com/cz/index.html>
- [33] Ukázka míst dynamické kontroly hřídele III
- [34] Dynamická kontrola osazení ozubeného kola
- [35] Dynamická kontrola osazení pastorku
- [36] Průhyb hřídele III, SEPS - elektronická podpora studia [online]. 2017 [cit. 2017-06-01]. Dostupné z: www.seps.fs.cvut.cz
- [37] Dovolený tlak pera pro styk náboje a hřídele
- [38] Uložení H6/s5 kola 2
- [39] Uložení H7/s7 kola 4
- [40] Uložení H8/t7 kola 6
- [41] Uložení H8/t7 kola 8
- [42] Lanový kotouč
- [43] Schéma pro výpočet napínací síly
- [44] 3D model převodového mechanismu s lanovým kotoučem

PŘÍLOHY

A. Jízdní řád CARGO tramvaje v Curychu

VZ - Haltestelle	Haltestellen und Fahrplan												
	Annahmzeit: 15 bis 19 Uhr (Ausnahmen: Tramdepot Hirsland und Tramdepot Universität Irchel)												
	WOCHENTAG	JAN	FEB	MAR	APR	MAY	JUN	JUL	AUG	SEP	OCT	NOV	DEZ
Altstrieden	Mittwoch	11.	6.	9.	5.	3/31.	28.	12.	-	20.	18.	15.	13.
Burgwies	Mittwoch	25.	22.	22.	19.	17.	14.	-	16.	6.	4.	1,29.	-
Hirszbach	Montag	16.	13.	13.	10.	8.	-	10.	20.	11.	8.	6.	4.
Letzigrund	Dienstag	24.	21.	21.	18.	16.	13.	-	15.	5.	3/31.	28.	-
Seebach	Dienstag	10.	7.	7.	4.	2/30.	27.	14.	-	19.	17.	14.	12.
Strassenverkehrszentrum	Mittwoch	16.	15.	15.	12.	24.	21.	-	30.	13.	11.	9.	6.
Tiefenbrunnen	Mittwoch	4.	1.	1.	1,29.	26.	10.	7.	5.	23.	27.	25.	22.
Tramdepot Hard	Donnerstag	5.	2.	2,20.	27.	14.	9.	6.	24.	7.	5.	2,20.	-
Tramdepot Universität Irchel	Freitag	18.	16.	16.	13.	-	22.	-	31.	24.	19.	16.	14.
Wertau	Freitag	13.	10.	10.	7.	5.	2/30.	14.	-	15.	13.	10.	8.
Wollishofen	Dienstag	3,31.	28.	28.	25.	8.	6.	4.	22.	28.	24.	21.	19.
	Dienstag	17.	14.	14.	11.	23.	20.	-	29.	12.	10.	7.	5.
	Samstag	21.	18.	18.	28.	22.	24.	-	-	23.	21.	18.	16.
	Sonntag	7.	4.	4.	1.	13.	10.	8.	28.	9.	7.	4.	2.
	Montag	28.	23.	23.	20.	18.	15.	-	17.	28.	26.	23.	21.
	Dienstag	12.	9.	9.	6.	4.	1,29.	13.	-	14.	12.	9.	7.
	Freitag	20.	17.	17.	20.	26.	23.	-	-	1/22.	20.	17.	15.
	Montag	9.	6.	6.	2.	28.	26.	-	14.	18.	16.	13.	11.
	Montag	23.	20.	20.	15.	12.	3.	-	4.	2/30.	27.	-	-

Obr. 45.: Jízdní řád CARGO tramvaje v Curychu

B. Kontroly ozubení

Tab. 1.: Kontrola ozubení v soukolí 12 [14]

Kontrola ozubení dle ISO 6336				jednotky mm, Nmm, °, kW, Mpa, m.s ⁻¹			
	Roz.	kolo 1	kolo 2			kolo 1	kolo 2
Z ₁	19	d	77,69789	421,2043	$\sigma_{F\lim}$	740	740
Z ₂	103	d _a	86,79567	429,1957	$\sigma_{H\lim}$	1330	1330
m _n	4	d _f	68,80433	411,2043	Y _{Fa}	2,574114	2,182312
x ₁	0,138306	d _b	72,81995	394,7608	Y _{sa}	1,622718	1,805258
x ₂	0	d _w	77,86885	422,1311	Y _ε	0,700477	0,700477
α _n	20	h _a	4,548894	3,99567	Y _β	0,9	0,9
β	12	h _f	4,446776	5	F _β	6	6
a _w	250	h	8,99567	8,99567	Y _{N,X}	1	1
b ₁	85	s _n	6,6859	6,283185	Z _H	2,42803	2,42803
b ₂	81	s _t	6,835267	6,423555	Z _E	189,8	189,8
P	75	v _n	5,880471	6,283185	Z _e	0,790236	0,790236
n ₁	738	v _t	6,011844	6,423555	Z _β	0,989013	0,989013
M _{k1}	970457	α _w	20,74575		Z _B	1	1
v	3,00237				Z _{R,T}	1	1
u	5,421053				K _A	1,1	1,1
					K _V	1,026874	1,026874
Kontrolní rozměry					K _{Fα}	1	1
	1	2			K _{Fβ}	1,366784	1,364369
h _k	3,474491	2,985981			K _{Hα}	1	1
s _k	5,903798	5,903798	konst. tloušťka		K _{Hβ}	1,41769	1,41769
z'	3	13					
M/z	31,03344	153,7524	přes zuby				
d	5,904263	5,904263			S _F	2,477399	2,507525
M/d	84,08276	426,726	přes kuličky		S _H	1,345811	1,345811

Tab. 2.: Kontrola ozubení v soukolí 34 [14]

Kontrola ozubení dle ISO 6336			jednotky mm, Nmm, °, kW, Mpa, m.s ⁻¹					
	Roz.	kolo 3	kolo 4			kolo 3	kolo 4	
Z_3	18	d	127,9438	582,8549	$\sigma_{F\lim}$	740	740	
Z_4	82	d_a	141,9405	596,0562	$\sigma_{H\lim}$	1330	1330	
m_n	7	d_f	110,4438	564,5595	Y_{Fa}	2,856486	2,238877	
X_3	0	d_b	120,0098	546,7111	Y_{sa}	1,540872	1,757686	
X_4	-0,05681	d_w	127,8	582,2	Y_ε	0,692171	0,692171	
α_n	20	h_a	6,998351	6,600686	Y_β	0,917143	0,917143	
β	10	h_f	8,75	9,147665	F_β	6	6	
a_w	355	h	15,74835	15,74835	$Y_{N,X}$	1	1	
b_3	141	s_n	10,99557	10,7061	Z_H	2,475018	2,475018	
b_4	134	s_t	11,1652	10,87126	Z_E	189,8	189,8	
P	75	v_n	10,99557	11,28505	Z_e	0,77891	0,77891	
n_2	136,1359	v_t	11,1652	11,45914	Z_β	0,992375	0,992375	
M_{k2}	5260899	α_w	20,10846		Z_B	1	1	
v	0,911991				$Z_{R,T}$	1	1	
u	4,555556				K_A	1,1	1,1	
					K_V	1,004554	1,004554	
Kontrolní rozměry					K_{Fa}	1	1	
	3	4			$K_{F\beta}$	1,383978	1,38113	
h_k	5,231396	4,880249			K_{Ha}	1	1	
s_k	9,709336	9,709336	konst. tloušťka		$K_{H\beta}$	1,440962	1,440962	
z'	3	10						
M/z	53,50583	204,443	přes zuby					
d	10,33246	10,33246			S_F	2,078422	2,213814	
M/d	137,3811	591,9778	přes kuličky		S_H	1,200157	1,200157	

Tab. 3.: Kontrola ozubení v soukolí 56 [14]

Kontrola ozubení dle ISO 6336			jednotky mm, Nmm, °, kW, Mpa, m.s ⁻¹				
	Roz.	kolo 5	kolo 6		kolo 5	kolo 6	
Z_5	19	d	230,2407	775,5476	$\sigma_{F\lim}$	740	740
Z_6	64	d_a	254,1149	793,7593	$\sigma_{H\lim}$	1330	1330
m_n	12	d_f	200,2407	739,8852	Y_{Fa}	2,813304	2,382801
X_5	0	d_b	216,106	727,9359	Y_{sa}	1,5491	1,658893
X_6	-0,23593	d_w	228,9157	771,0844	Y_ε	0,687746	0,687746
α_n	20	h_a	11,93709	9,105881	Y_β	0,944264	0,944264
β	8	h_f	15	17,83121	F_β	6	6
a_w	500	h	26,93709	26,93709	$Y_{N,X}$	1	1
b_5	253	s_n	18,84956	16,7886	Z_H	2,538111	2,538111
b_6	241	s_t	19,0348	16,95359	Z_E	189,8	189,8
P	75	v_n	18,84956	20,91051	Z_c	0,789323	0,789323
n_3	29,8835	v_t	19,0348	21,11601	Z_β	0,995122	0,995122
M_{k3}	23966311	α_w	19,2582		Z_B	1	1
v	0,360257				$Z_{R,T}$	1	1
u	3,368421				K_A	1,1	1,1
					K_V	1,001489	1,001489
Kontrolní rozměry					K_{Fa}	1	1
	2	6			$K_{F\beta}$	1,421152	1,418285
h_k	8,908028	6,408005			K_{Ha}	1	1
s_k	16,64458	16,64458	konst. tloušťka		$K_{H\beta}$	1,48123	1,48123
z'	3	8					
M/z	91,84763	274,816	přes zuby				
d	17,71279	17,71279			S_F	2,435497	2,563013
M/d	246,7206	786,958	přes kuličky		S_H	1,247409	1,247409



Tab. 4.: Kontrola ozubení v soukolí 78 [14]

Kontrola ozubení dle ISO 6336			jednotky mm, Nmm, °, kW, Mpa, m.s ⁻¹				
	Roz.	kolo 7	kolo 8		kolo 7	kolo 8	
Z_7	17	d	341,8728	764,1863	σ_{Flim}	740	740
Z_8	38	d_a	381,7465	798,1272	σ_{Hlim}	1330	1330
m_n	20	d_f	291,8728	708,2535	Y_{Fa}	2,936217	2,54564
X_7	0	d_b	321,048	717,6367	Y_{sa}	1,525436	1,60196
X_8	-0,14832	d_w	340	760	Y_{ε}	0,704996	0,704996
α_n	20	h_a	19,93684	16,97046	Y_{β}	0,970297	0,970297
β	6	h_f	25	27,96637	F_{β}	6	6
a_w	550	h	44,93684	44,93684	$Y_{N.X}$	1	1
b_7	400	s_n	31,41593	29,25658	Z_H	2,544309	2,544309
b_8	380	s_t	31,58897	29,41774	Z_E	189,8	189,8
P	75	v_n	31,41593	33,57527	Z_c	0,827203	0,827203
n_4	8,871663	v_t	31,58897	33,76021	Z_{β}	0,997257	0,997257
M_{k4}	80728635	α_w	19,22047		Z_B	1	1
v	0,158806				$Z_{R.T}$	1	1
u	2,235294				K_A	1,1	1,1
					K_V	1,000454	1,000454
Kontrolní rozměry					K_{Fa}	1	1
	7	8			$K_{F\beta}$	1,499527	1,495628
h_k	14,88839	12,26902			K_{Ha}	1	1
s_k	27,74096	27,74096	konst. tloušťka		$K_{H\beta}$	1,577401	1,577401
z'	2	5					
M/z	93,40112	274,4752	přes zuby				
d	29,52131	29,52131			S_F	2,479197	2,593575
M/d	370,9748	786,493	přes kuličky		S_H	1,104685	1,104685

C. Pružná spojka

ROTEX® Standard Flexible jaw couplings

Material steel / UL / marine



For legend of pictogram please refer to flapper on the cover.

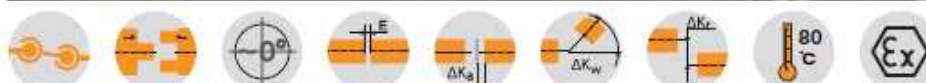
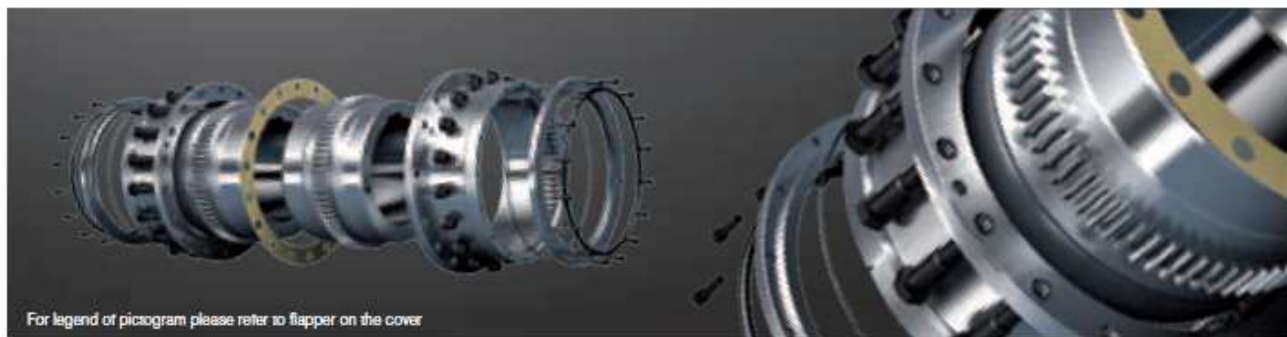


Size	Component	Spider (part 2) rated torque [Nm]			Finish bore d (min-max)	Dimensions [mm]									Thread for setscrew		
						General											
		92 Sh-A	98 Sh-A	64 Sh-D		L	I ₁ :I ₂	E	b	s	D _H	d _H	D	N	G	t	T _A [Nm]
14	1a	7,5	12,5	16	0-16	35	11	13	10	1,5	30	10	30	—	M4	5	1,5
	1b	—	—	—		50	16,0	—	—	—	—	—	—	—	—	—	—
19	1a	10	17	21	0-25	66	25	16	12	2	40	18	40	—	M5	10	2
	1b	—	—	—		90	37	—	—	—	—	—	—	—	—	—	—
24	1a	35	60	75	0-35	78	30	18	14	2	55	27	55	—	M5	10	2
	1b	—	—	—		118	50	—	—	—	—	—	—	—	—	—	—
28	1a	95	160	200	0-40	90	35	20	15	2,5	65	30	65	—	M8	15	10
	1b	—	—	—		140	60	—	—	—	—	—	—	—	—	—	—
38	1	190	325	400	0-48	114	45	24	18	3	80	38	70	27	M8	15	10
	1b	—	—	—		164	70	—	—	—	—	—	—	80	—	—	—
42	1	265	450	560	0-55	126	50	26	20	3	95	46	85	28	M8	20	10
	1b	—	—	—		176	75	—	—	—	—	—	95	—	—	—	—
48	1	310	525	650	0-62	140	56	28	21	3,5	105	51	95	32	M8	20	10
	1b	—	—	—		188	80	—	—	—	—	—	105	—	—	—	—
55	1	410	685	825	0-74	160	65	30	22	4	120	60	110	37	M10	20	17
	1b	—	—	—		210	90	—	—	—	—	—	120	—	—	—	—
65	1	825	940	1175	0-80	185	75	35	26	4,5	135	68	115	47	M10	20	17
	1b	—	—	—		235	100	—	—	—	—	—	135	—	—	—	—
75	1	1280	1920	2400	0-95	210	85	40	30	5	160	80	135	53	M10	25	17
	1b	—	—	—		260	110	—	—	—	—	—	160	—	—	—	—
90	1	2400	3600	4500	0-110	245	100	45	34	5,5	200	100	160	62	M12	30	40
	1b	—	—	—		295	125	—	—	—	—	—	200	—	—	—	—
100	1	3300	4950	6185	0-115	270	110	50	38	6	225	113	150	89	M12	30	40
110	1	4800	7200	9000	0-125	295	120	55	42	6,5	255	127	200	96	M16	35	80
125	1	6650	10000	12500	60-145	340	140	60	46	7	290	147	230	112	M16	40	80
140	1	8550	12800	16000	60-160	375	155	65	50	7,5	320	165	255	124	M20	45	140
160	1	12800	19200	24000	80-185	425	175	75	57	9	370	190	290	140	M20	50	140
180	1	18650	28000	35000	80-200	475	195	85	64	10,5	420	220	325	156	M20	50	140

■ = If no material is specified in the order, it is stipulated in the calculation/order.

□ Maximum torque of coupling T_{Kmax} = rated torque of coupling T_K rated × 2. For selection see page 10 et seqq.

Obr. 46.: Katalog pružných spojek GEAREX [10]

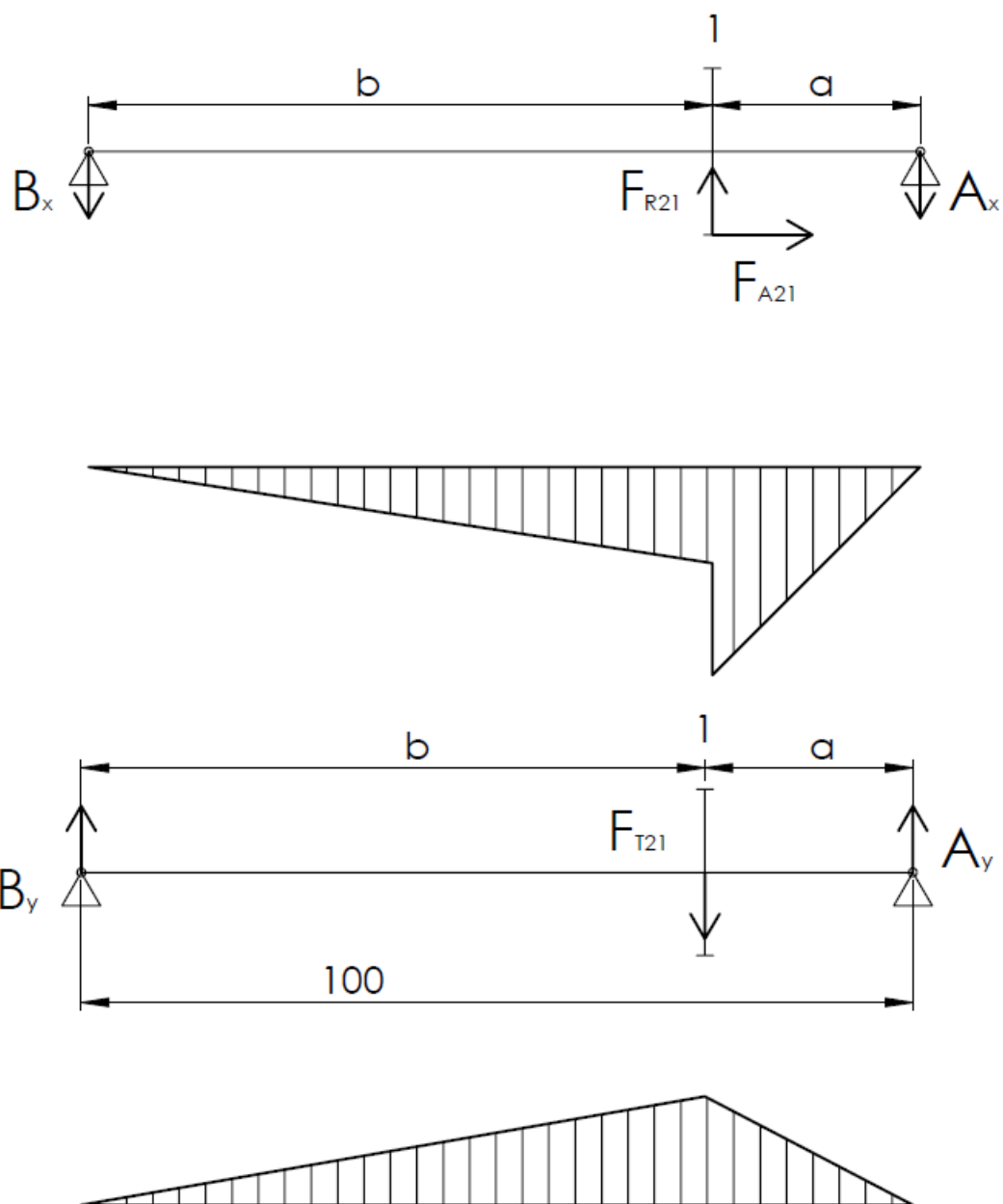
D. Zubová spojka
GEAREx® DA, DB and DAB
All-steel gear couplings
Easy to assemble, high power density


Size	Pilot bore	Max. finish bore	Dimensions [mm]													Grease feeding [dm^3/h]
			$d_1; d_2$	l_1, l_2	E_{DA}	E_{DB}	E_{DAB}	L_{DA}	L_{DB}	L_{DAB}	l_3	D	D_{A1}	D_{A2}	F	d_3
20	31	80	62	3	31	17	133	150	144	79	108	187	146	100	85	0,08
25	38	98	76	5	29	17	157	181	169	93	130	220	172	115	105	0,12
30	44,5	112	90	5	33	19	185	213	199	109	153	248	182	140	120	0,18
35	48	133	105	6	40	23	218	250	233	128	180	285	214	165	145	0,22
40	52	158	120	6	42	24	246	282	264	144	214	335	250	180	160	0,35
45	60	172	135	8	50	29	278	320	299	164	233	308	294	190	185	0,45
50	80	192	150	8	58	32	308	356	332	182	260	390	309	215	205	0,70
55	90	210	170	8	70	39	358	420	389	214	283	420,5	346	240	220	0,90
60	100	232	190	8	84	46	388	464	426	236	312	457	380	260	245	1,15
70	100	278	220	10	78	43	450	518	483	263	371	527	445	300	290	1,50
80	140	300	280	10	50	30	570	610	590	310	394	545	475	340	310	2,50
85	160	320	292	13	53	33	597	637	617	325	430	585	515	352	330	3,00
90	180	350	305	13	63	48	623	693	608	353	464	640	580	360	360	4,00
100	220	390	330	13	93	53	673	753	713	383	512	690	612	390	400	5,00
110	220	420	380	20	298	158	720	996	808	508	560	765	665	410	420	6,00
120	260	450	420	25	421	223	864	1261	1063	643	608	825	720	480	470	7,50
130	300	500	440	25	415	220	905	1295	1100	660	684	950	805	520	520	9
140	380	580	460	20	430	225	940	1350	1145	685	750	1010	875	570	590	12
150	460	660	520	30	460	245	1070	1500	1285	765	850	1140	975	630	670	15

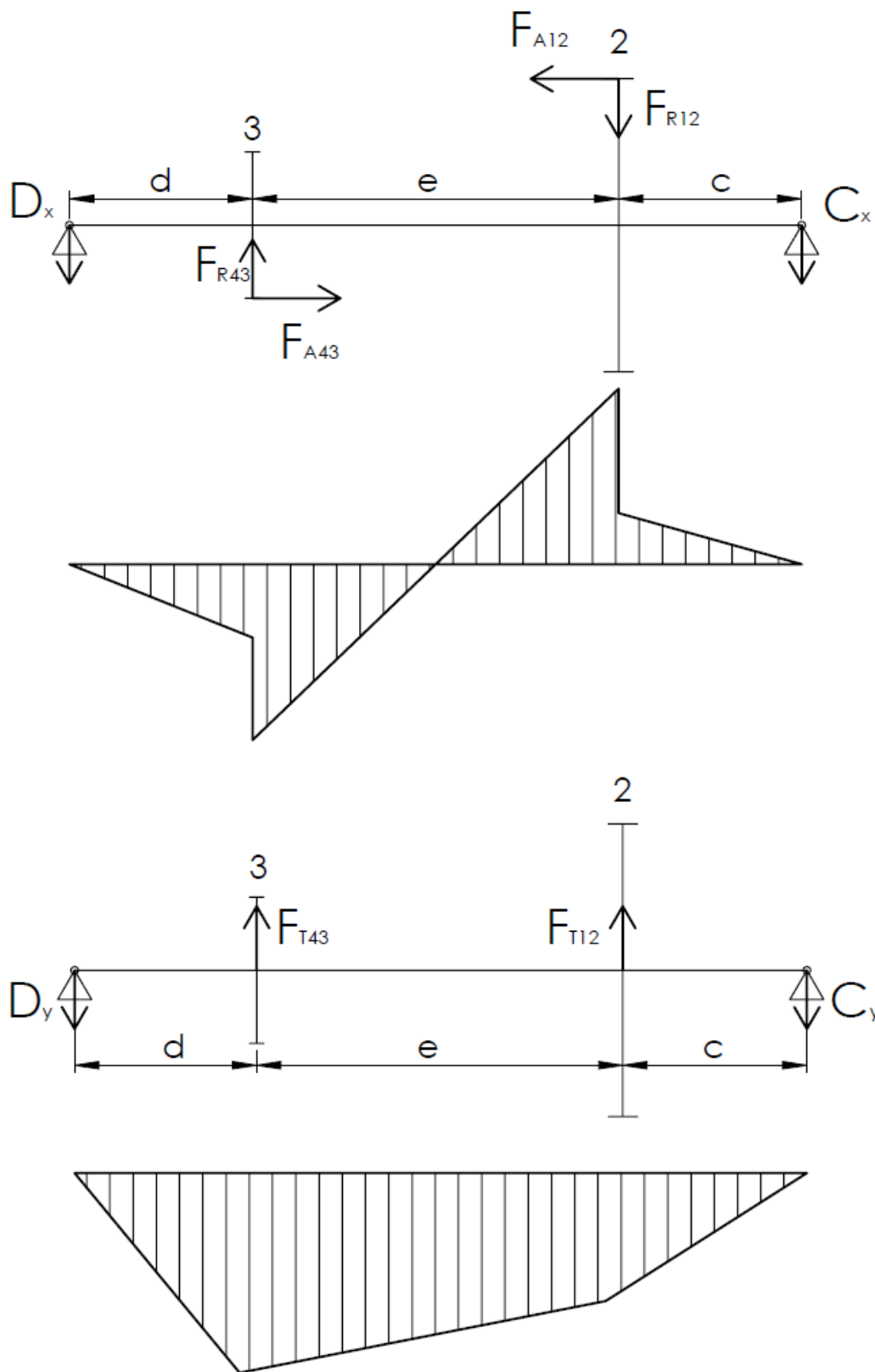
Size	Torque [Nm]		Max. speed [1/min]	Weight with max. bore [kg]			Mass moment of inertia with max. bore [kgm^2]	Dowel screw (10.9)		
	T _{KN}	T _{KN} (42CrMo4)		Sleeve	Hub	Total		z	M	T _A (Nm)
20	3800	6300	6900	3,6	2,1	12,8	0,056	6	M10	72
25	6800	11000	8200	5,5	3,6	20,3	0,120	6	M12	125
30	10000	17400	5800	6,9	6,2	28,9	0,219	8	M12	125
35	17000	28800	5100	11,2	9,8	46,6	0,488	8	M14	200
40	28500	48500	4500	16,3	15,9	70,9	1,011	8	M14	200
45	37000	62000	4000	20,2	21,4	90,7	1,482	10	M14	200
50	51000	86000	3750	27,0	29,5	123,5	2,474	8	M16	430
55	65000	110000	3550	32,6	40,2	159,1	3,714	14	M18	430
60	85000	145000	3400	32,0	52,8	184,4	4,810	14	M18	430
70	135000	240000	3200	43,6	80,5	280	9,907	16	M20	610
80	175000	300000	1900	64	117	382	14,214	18	M20	610
85	225000	380000	1800	75	148	448	20,320	20	M20	610
90	290000	500000	1700	101	183	568	31,036	20	M24	1000
100	380000	650000	1600	117	232	696	45,358	24	M24	1000
110	480000	820000	1450	140	295	940	73,880	20	M30	1700
120	620000	1050000	1350	188	430	1312	118,40	24	M30	1700
130	-	1450000	1150	319	603	1804	226,732	20	M36	2800
140	-	1900000	1050	373	758	2391	328,567	24	M36	2800
150	-	2750000	950	475	983	3089	540,298	30	M36	2800

Obr. 47.: Katalog zubových spojek GEAREx [11]

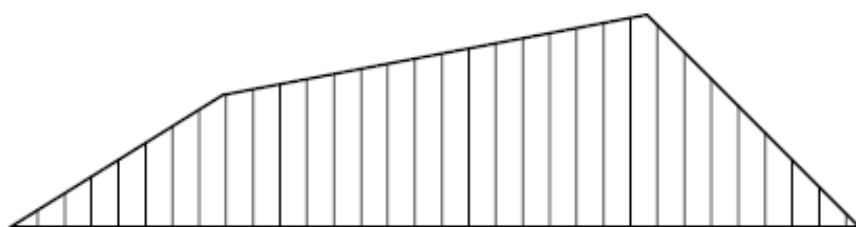
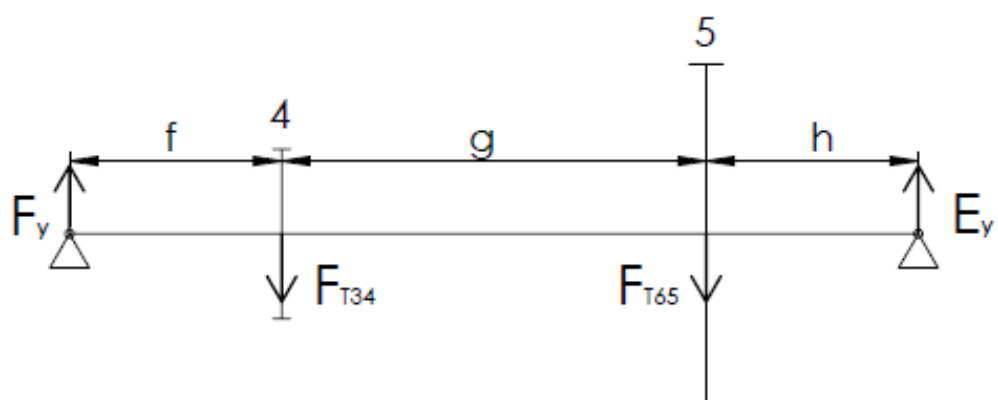
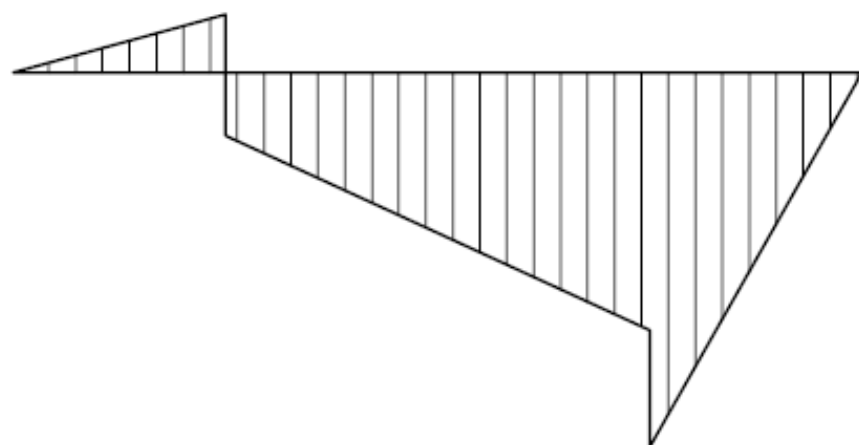
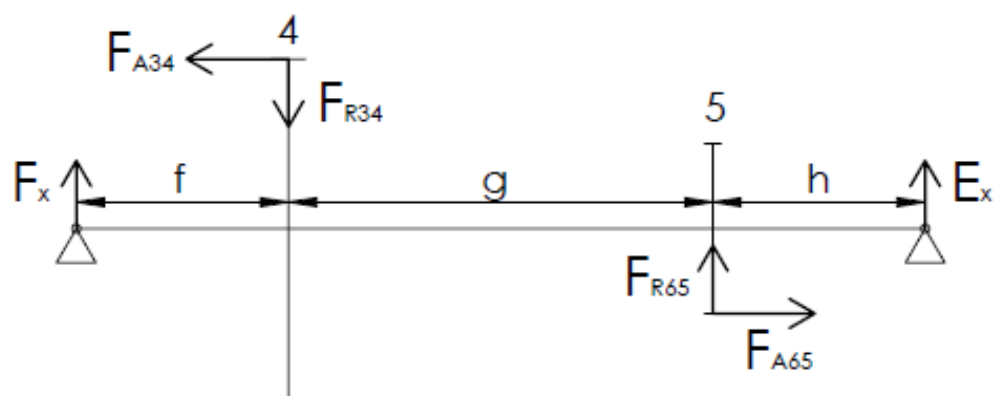
E. Průběhy ohybových momentů



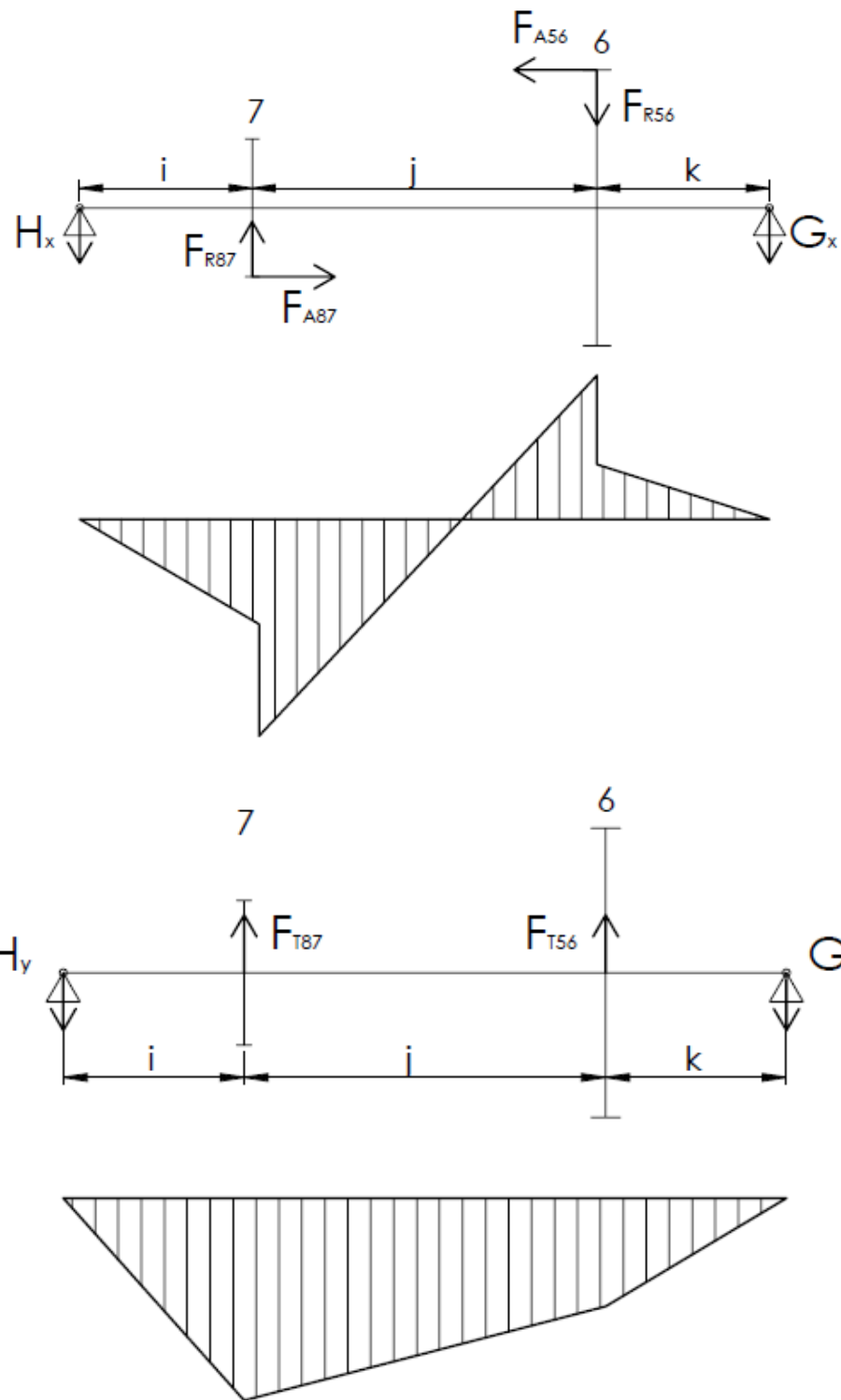
Obr. 48.: Průběhy ohybových momentů hřídel I



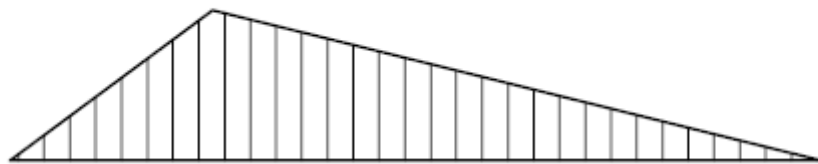
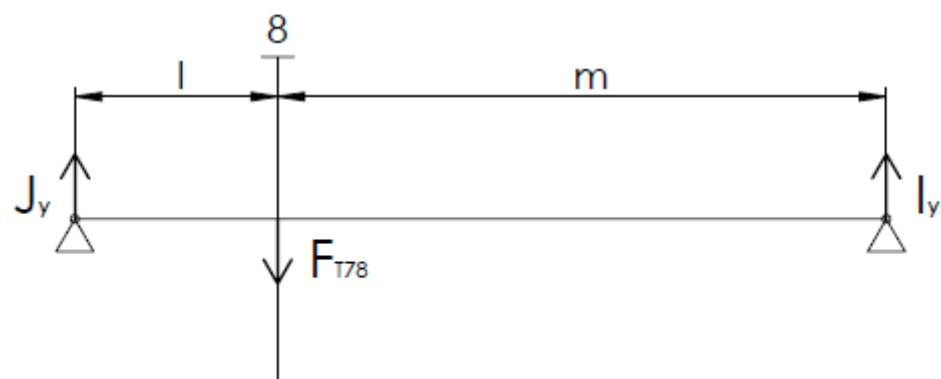
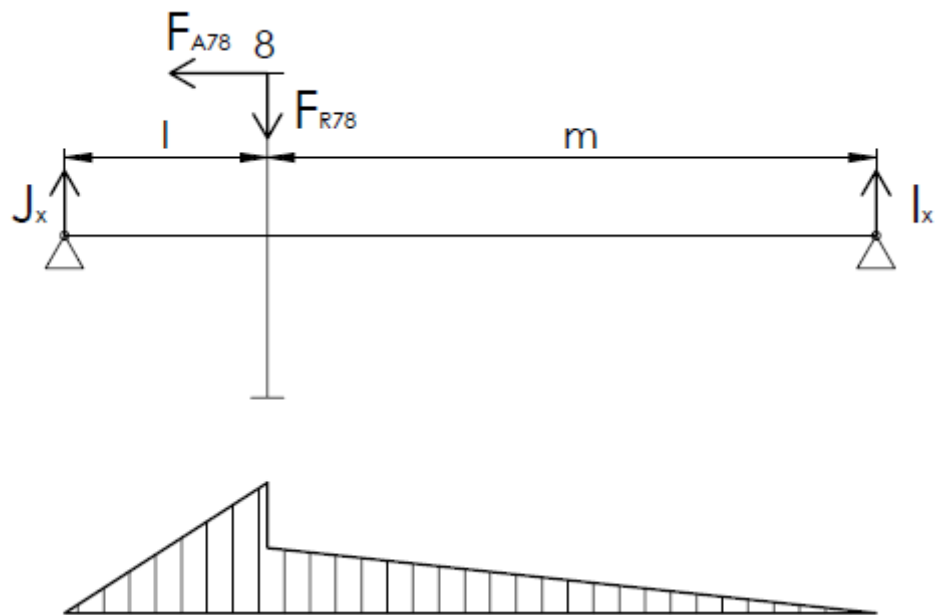
Obr. 49.: Průběhy ohybových momentů hřídel II



Obr. 50.: Průběhy ohybových momentů hřídel III



Obr. 51.: Průběhy ohybových momentů hřídel IV



Obr. 52.: Průběhy ohybových momentů hřídel V

č. pol.	Název	Č. výkresu - č. normy	Hmotnost [kg]	Množ- ství
				Jednotka
1	Vana skříně Odlitek		42 2415	1
2	Víko skříně Odlitek		42 2415	1
3	Ozubené kolo 2 Výkovek		16 526	1
4	Ozubené kolo 4 Výkovek	00-2017-1 16 526		1
5	Ozubené kolo 6 Výkovek		16 526	1
6	Ozubené kolo 8 Výkovek		16 526	1
7	Víko I KR Ø210-35 ČSN 42 5510		11 500	1
8	Víko I průchozí KR Ø210-35 ČSN 42 5510		11 500	1
9	Broušená trubka I KR Ø210-35 ČSN 42 5510		11 500	1
10	Hřídel I s pastorkem KR Ø90-600 ČSN 42 5510		16 526	1
11	Pojistný kroužek I KR Ø150-10 ČSN 42 5510		11 500	1
12	Víko II KR Ø240-35 ČSN 42 5510		11 500	1
13	Víko II seříznuté KR Ø240-35 ČSN 42 5510		11 500	1
14	Broušená trubka II KR Ø170-45 ČSN 42 5510		11 500	1
15	Hřídel II s pastorkem KR Ø150-440 ČSN 42 5510		16 526	1
16	Pojistný kroužek II KR Ø180-10 ČSN 42 5510		11 500	1
17	Rozpěrná trubka II KR Ø130-20 ČSN 42 5510		11 500	1
18	Distanční kroužek II KR Ø120-35 ČSN 42 5510		11 500	1
19	Víko III KR Ø300-35 ČSN 42 5510		11 500	2
20	Broušená trubka III KR Ø230-40 ČSN 42 5510		11 500	1
21	Hřídel III s pastorkem KR Ø280-950 ČSN 42 5510	00-2017-2 16 526		1

Index	Změna				Datum	Podpisy	
	Podpis	Datum		Podpis		C. svitku:	
Výpracov	David POLÁK	17-04-17	Norm. ref.			Mikrofilm	
Skupinář			Přezk.			Sestava	00-2017-S
Technol.			Schválil			Hmotnost	
ČESKÉ VYSOKÉ UČENÍ TECHNICKÉ V PRAZE				NÁZEV: Převodový mechanismus			
FAKULTA STROJNÍ				ČÍSLO VÝKRESU: 00-2017-S	INDEX	Technol. č.:	
				00-2017-K			
				LISTŮ: 4	LIST: 1		

č. pol.	Název	Č. výkresu - č. normy	Hmotnost [kg]	Množ- ství
	Polotovar	Materiál výchozí	Jednotka	
22	Pojistný kroužek III KR Ø240-10 ČSN 42 5510	11 500		1
23	Distanční kroužek III KR Ø170-40 ČSN 42 5510	11 500		1
24	Víko VI KR Ø500-35 ČSN 42 5510	11 500		2
25	Broušená trubka VI KR Ø420-40 ČSN 42 5510	11 500		2
26	Hřídel VI s pastorkem KR Ø400-850 ČSN 42 5510	16 526		1
27	Distanční kroužek VI KR Ø300-25 ČSN 42 5510	11 500		1
28	Víko V KR Ø450-50 ČSN 42 5510	11 500		1
29	Víko V průchozí KR Ø450-35 ČSN 42 5510	11 500		1
30	Broušená trubka V KR Ø380-15 ČSN 42 5510	11 500		1
31	Pojistný kroužek V KR Ø380-15 ČSN 42 5510	11 500		1
32	Distanční kroužek V KR Ø300-35 ČSN 42 5510	11 500		1
33	Hřídel V KR Ø320-1350 ČSN 42 5510	11 500		1
34	Poklop velký P 13 – 290 x 240 ČSN 42 5310	11 500		1
35	Poklop malý P 13 – 180 x 140 ČSN 42 5310	11 500		1
36				
37				
38				
39				
40				
41				
42				

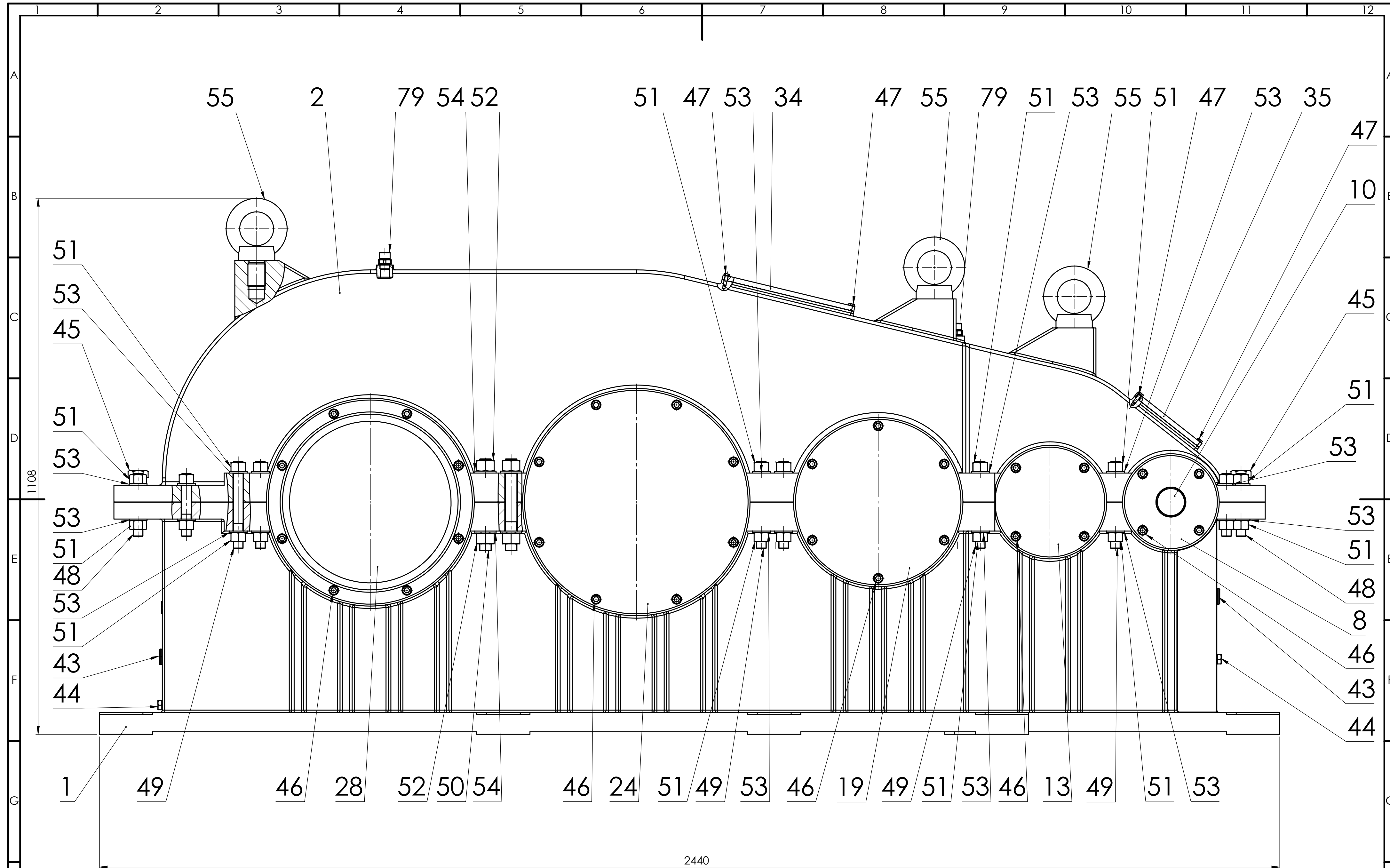
Index	Změna				Datum	Podpisy	
	Podpis	Datum	Norm. ref.	Podpis	Datum	C. svitku:	
Vypracov	David POLÁK	17-04-17				Mikrofilm	
Skupinář			Přezk.			Sestava	00-2017-S
Technol.			Schválil			Hmotnost	
ČESKÉ VYSOKÉ UČENÍ TECHNICKÉ V PRAZE				NÁZEV: Převodový mechanismus			
FAKULTA STROJNÍ				ČÍSLO VÝKRESU: 00-2017-S		INDEX	Technol. č.:
				00-2017-K			
				LISTŮ:	4	LIST: 2	

č. pol.	Název	Č. výkresu - č. normy	Hmotnost [kg]	Množ- ství
	Polotovar	Materiál výchozí	Jednotka	
43	Olejoznak DIN 31691 B			2
44	Vypouštěcí zátka DIN 910			2
45	Šroub se šestihrannou hlavou ISO 4017 - M24 x 50 – 8.8			2
46	Šroub s válcovou hlavou s vnitřním šestihranem ISO 4762 - M12 x 30 – 8.8			60
47	Šroub se šestihrannou hlavou ISO 4017 – M6 x 20 – 8.8			8
48	Závrtň šroub ČSN 02 1176.20 – M20 x 130 – 8.8			16
49	Závrtň šroub ČSN 02 1176.20 – M20 x 180 – 8.8			20
50	Závrtň šroub ČSN 02 1176.20 – M24 x 190 – 8.8			4
51	Šestihranná matice ISO 4034 – M20			72
52	Šestihranná matice ISO 4034 – M24			8
53	Podložka 20 ISO 7089-200 HV			72
54	Podložka 24 ISO 7089-200 HV			8
55	Závěsný šroub ISO 3266 M36 x 54			4
56	Pojistný kroužek 57 ČSN 02 2930			1
57	Pojistný kroužek 96,5 ČSN 02 2930			1
58	Pojistný kroužek 145 ČSN 02 2930			1
59	Pojistný kroužek 252 ČSN 02 2930			1
60	Kuželový kolík 16 x 140 ISO 2339			1
61	Kuželový kolík 16 x 80 ISO 2339			1
62	Stavěcí šroub s vnitřním šestihranem DIN 914 M18 x 35 – 45H			2
63				

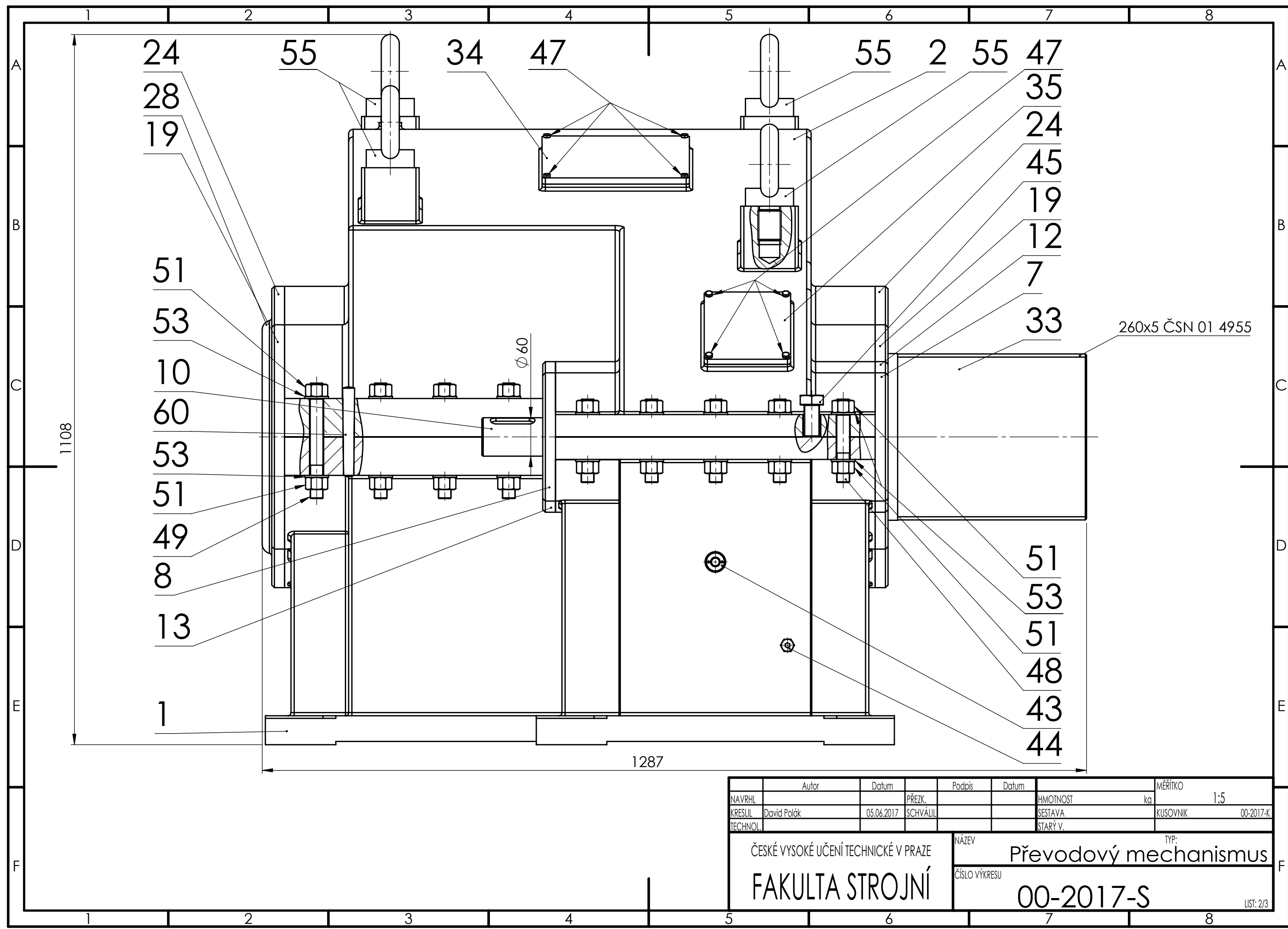
Index	Změna				Datum	Podpisy	
	Podpis	Datum	Podpis	Datum	C. svítku:		
Vypracov	David POLÁK	17-04-17	Norm. ref.		Mikrofilm		
Skupinář			Přezk.		Sestava	00-2017-S	
Technol.			Schválil		Hmotnost		
ČESKÉ VYSOKÉ UČENÍ TECHNICKÉ V PRAZE			NÁZEV: Převodový mechanismus				
FAKULTA STROJNÍ			ČÍSLO VÝKRESU: 00-2017-S		INDEX	Technol. č.:	
			00-2017-K				
			LISTŮ:	4	LIST:	3	

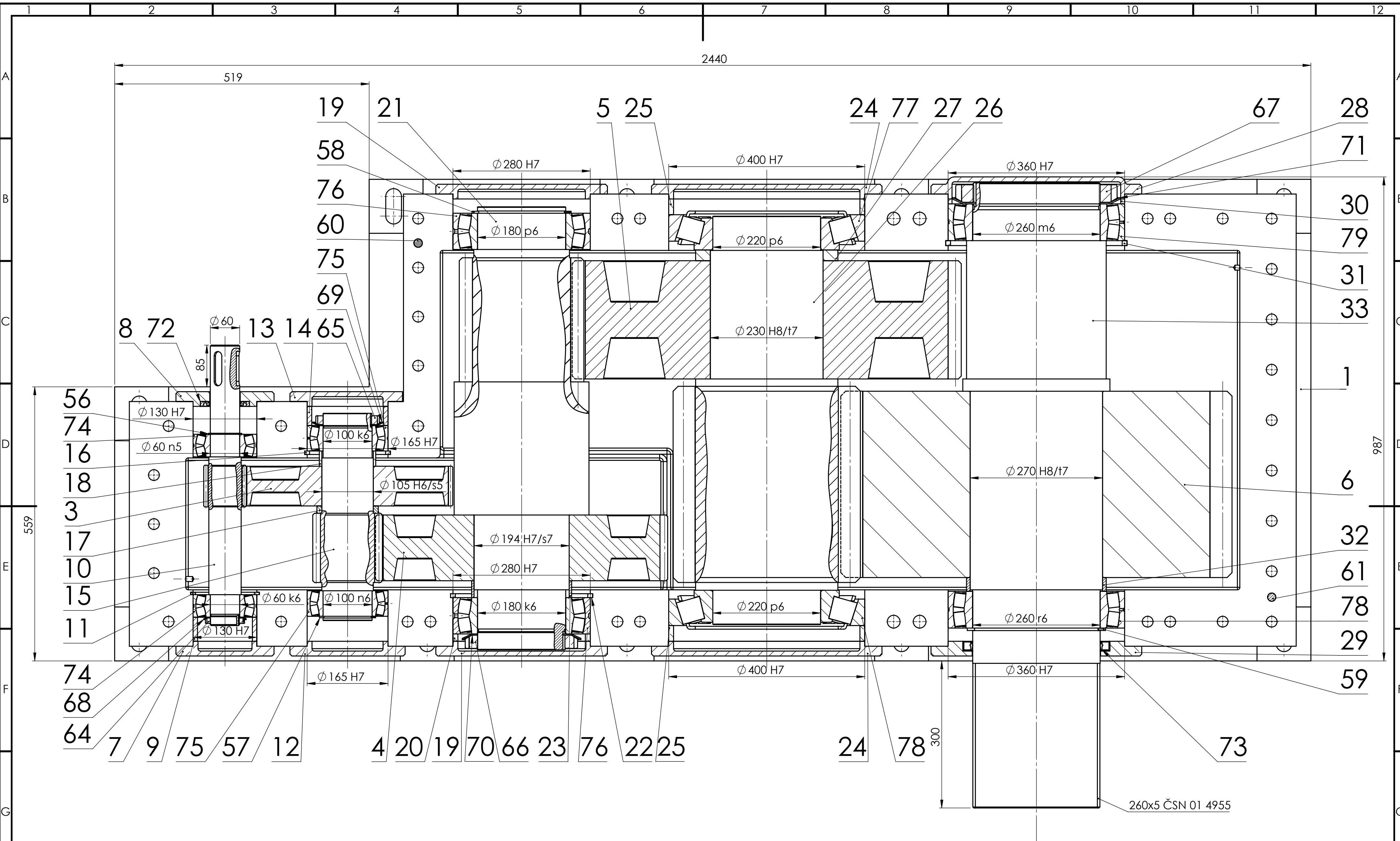
č. pol.	Název	Č. výkresu - č. normy	Hmotnost [kg]	Množ- ství
				Jednotka
64	Pojistná matice KM 12 SKF			1
65	Pojistná matice KM 20 SKF			1
66	Pojistná matice KM 36 SKF			1
67	Pojistná matice HM 52 T SKF			1
68	Pojistná podložka MB 12 SKF			1
69	Pojistná podložka MB 20 SKF			1
70	Pojistná podložka MB 36 SKF			1
71	Pojistná podložka MB 52 SKF			1
72	Gufero 60x100x10 HMSA10 RG SKF			1
73	Gufero 260x300x20 CSR1 R SKF			1
74	Ložisko 22312 E SKF			2
75	Ložisko 23120 CC/W33 SKF			2
76	Ložisko 23036 CC/W33 SKF			2
77	Ložisko 30244 J2 SKF			2
78	Ložisko 23952 CC/W33 SKF			2
79	Odvzdušňovací ventil GN 881-M20x1,5-200-MS-M Ganter Griff			2
80				
81				
82				
83				
84				

Index	Změna				Datum	Podpisy	
	Podpis	Datum	Podpis	Datum		C. svitku:	
Vypracov	David POLÁK	17-04-17	Norm. ref.			Mikrofilm	
Skupinář			Přezk.			Sestava	00-2017-S
Technol.			Schválil			Hmotnost	
ČESKÉ VYSOKÉ UČENÍ TECHNICKÉ V PRAZE				NÁZEV: Převodový mechanismus			
FAKULTA STROJNÍ				ČÍSLO VÝKRESU: 00-2017-S		INDEX	Technol. č.:
				00-2017-K			
				LISTŮ:	4	LIST:	4



	Autor	Datum		Podpis	Datum		MĚŘÍTKO	
NAVRHL			PŘEZK.			HMETNOST	kg	1:5
KRESLIL	David Polák	05.06.2017	SCHVÁLIL			SESTAVA	KUSOVNIK	00-2017-K
TECHNOL.						STARÝ V.		
ČESKÉ VYSOKÉ UČENÍ TECHNICKÉ V PRAZE				NÁZEV	TYP:			
FAKULTA STROJNÍ				Převodový mechanismus				
				Číslo výkresu	00-2017-S			
					LIST: 1/3			





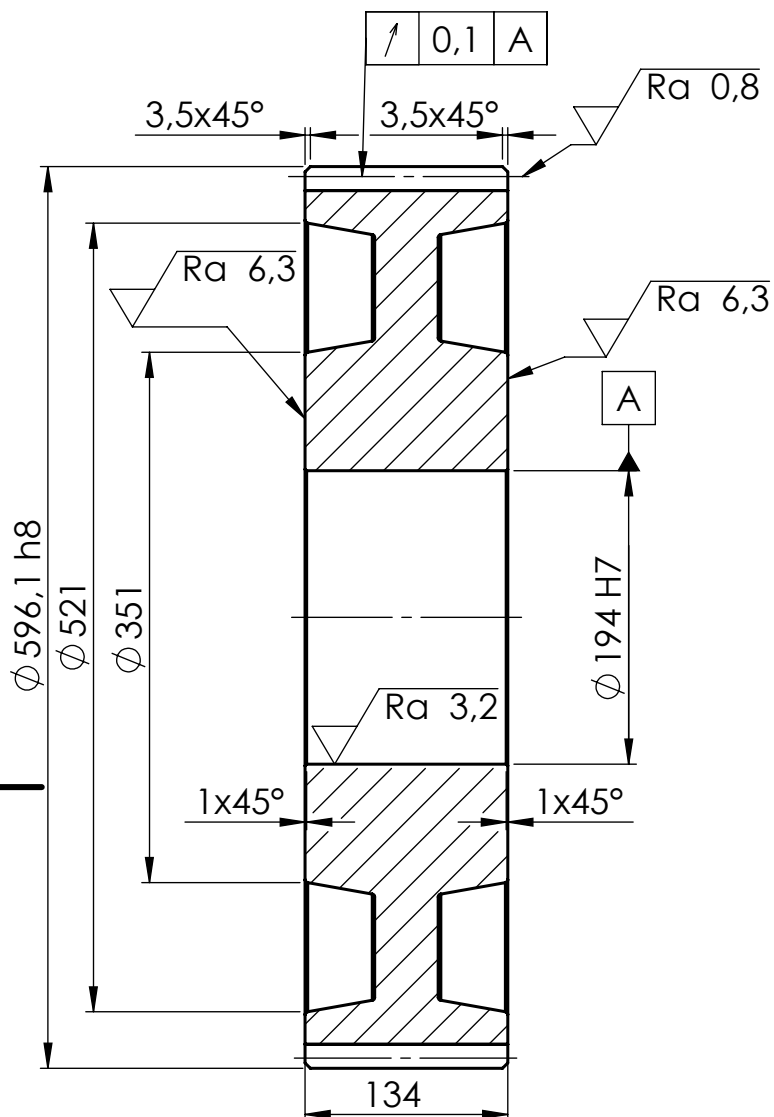
AUTOR	DATUM	PODPIS	DATUM	MĚŘITKO
KRESLIL		PŘEZK.		kg
TECHNOL.		SCHVÁLIL		00-2017-K
ČESKÉ VYSOKÉ UČENÍ TECHNICKÉ V PRAZE				NÁZEV
FAKULTA STROJNÍ				Převodový mechanismus
ČÍSLO VÝKRESU				TYP:
00-2017-S				LIST: 3/3

1

2

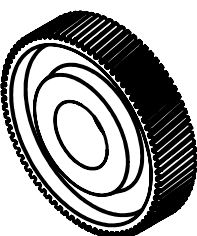
3

4



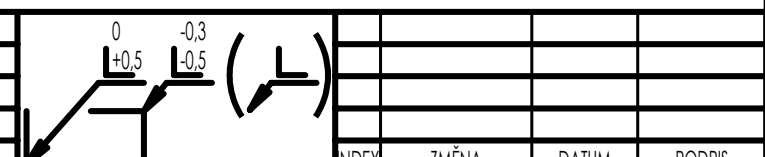
Ozubené kolo	Celní
Zuby	Šikmé
Typ šneku	
Ozubení	Evolventní
Modul	m 7
Počet zubů	z 82
Normálný zakl. Profil	ČSN 01 4607
Úhel profilu	α 20°
Úhel	β 10°
Smysl stoupání	Pravý
Jednotkové posunutí	x -0,0568
Posunutí z. profilu	xm
Jedn. zm. tl. profilu	xt
Úhel roztec. kružnice	d
Stupeň přesnosti	6-E ČSN 014682
Rozměr přes zuby	W 204,573 / 10 -0,050 -0,078
Modul	mt 7,108
Průměr.z.kružnice	db 546,711
Průměr.roztec.kruž.	d 582,855
Průměr.patní.kruž.	df 564,560
Úhel sklonu na z.vál.	
Úhel os	
Vzdálenost os	aw 355
Součinitel průměru šneku	q
Délka povrchy roz.kruž.	R
Úhel patního kuželeta	
Stoupání záv.šneku	
Spoluzab. kolo - číslo výkresu	
Spoluzab. kolo - Počet zubů	z 18
Spoluzab. kolo - Modul	7

✓ (Ra 0,8 Ra 3,2 Ra 6,3)



Zuby cementovány a kaleny do hloubky $0,3 \pm 0,1$ mm, Tvrdost 650-700 HV

MATERIÁL: 16 526
POLOTOVAR: Výkovek
PROMÍTÁNÍ: (ISO E) TOL. DLE ISO 8015; NE
PŘESNOST ISO 2768 - mK
VŠEOB. TOL. ISO 8062-



Autor	Datum	Podpis	Datum	HMOTNOST kg	MĚŘITKO
NAVRHL		PŘEZK.			1:5
KRESLIL David Polák	05.06.2017	SCHVÁLIL		SESTAVA 00-2017-S	KUSOVNIK 00-2017-K
TECHNOL.				STARÝ V.	

ČESKÉ VYSOKÉ UČENÍ TECHNICKÉ V PRAZE

FAKULTA STROJNÍ

NÁZEV TYP:

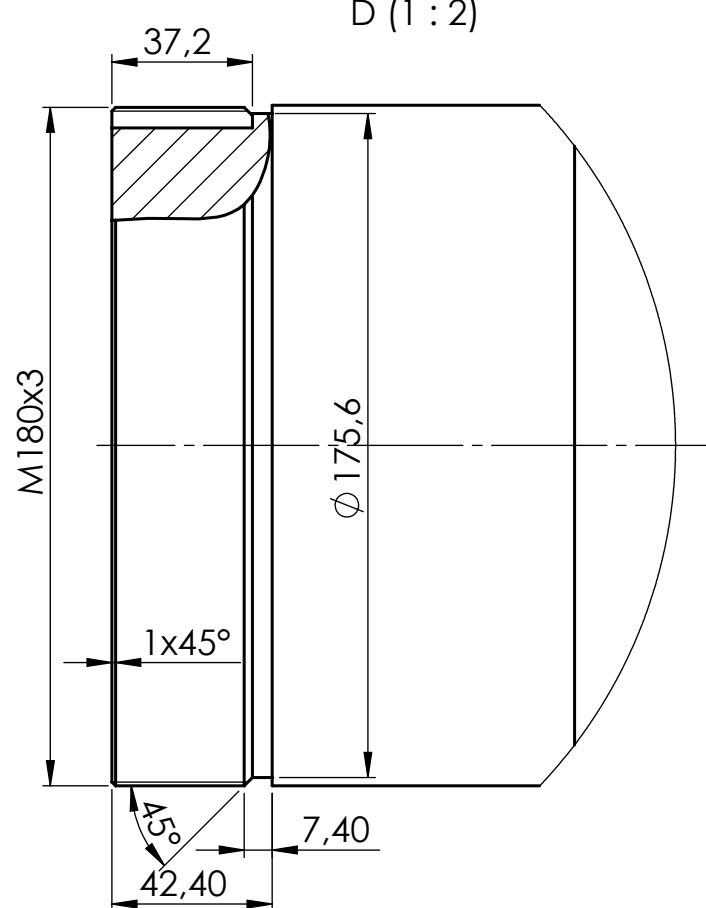
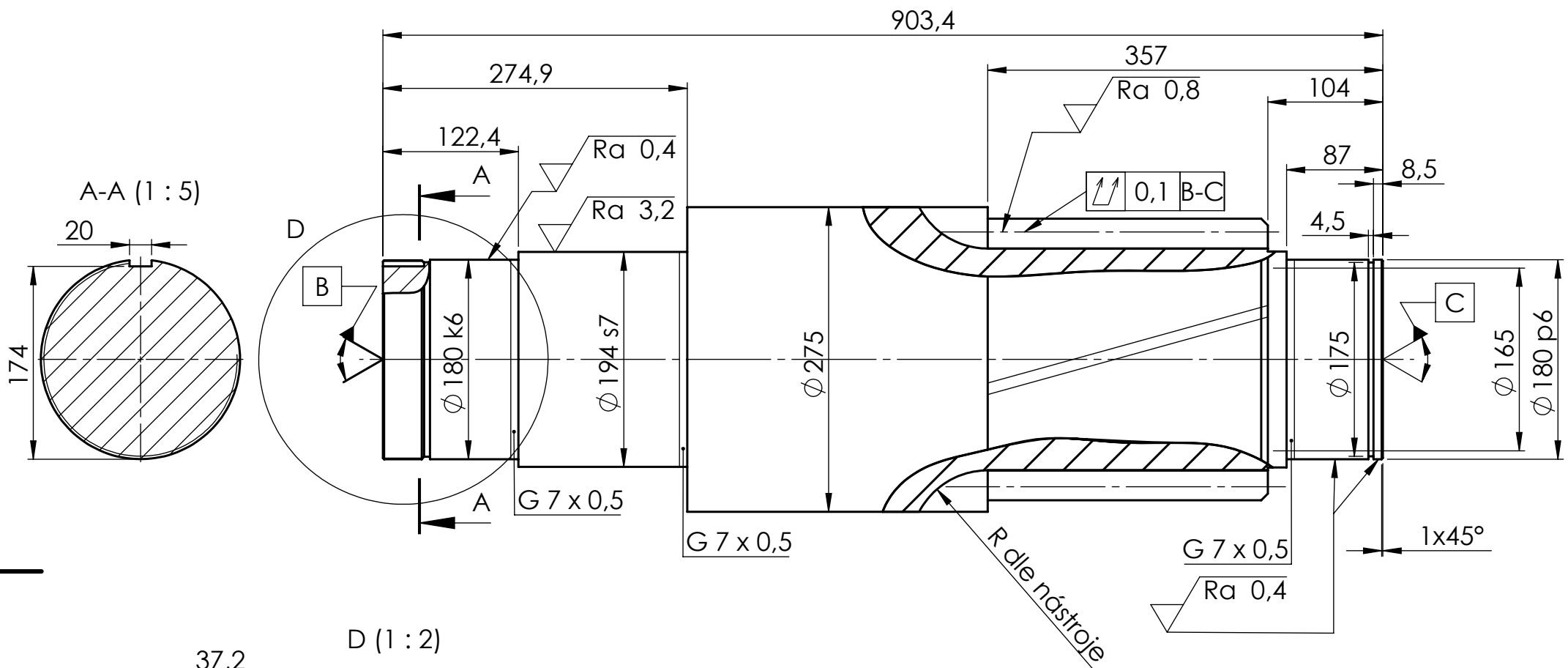
Ozubené kolo 4

Číslo výkresu

00-2017-1

LIST: 1/1

Ozubené kolo		Čelní
Zuby		Šikmé
Typ šneku		
Ozubení		Evolventní
Modul	m	12
Počet zubů	z	19
Normálný zakl. Profil		ČSN 01 4607
Úhel profilu	α	20°
Úhel	β	8°
Smysl stoupání		Pravý
Jednotkové posunutí	x	0
Posunutí z. profilu	xm	
Jedn. zm. tl. profilu	xt	
Úhel roztec. kružnice	d	
Stupeň přesnosti		6-E ČSN 014682
Rozměr přes zuby	W	-0,030 91,783 / 3 -0,080
Modul	mt	12,118
Průměr.z.kružnice	db	216,106
Průměr.rozteč.kruž.	d	230,241
Průměr.patní.kruž.	df	200,241
Úhel sklonu na z.vál.		
Úhel os		
Vzdálenost os	aw	500
Součinitel průměru šneku	q	
Délka površky roz.kruž.	R	
Úhel patního kužele		
Stoupání záv.šneku		
Spoluzab. kolo - číslo výkresu		
Spoluzab. kolo - Počet zubů	z	64
Spoluzab. kolo - Modul		12



The diagram illustrates the relationship between fiber type and Ra value. It shows four fiber types: Type A (Ra 6,3), Type B (Ra 0,4), Type C (Ra 0,8), and Type D (Ra 3,2). The fibers are represented by triangles pointing to their respective Ra values.

MATERIÁL: 16 526	POLOTOVAR: KR 280 - 950 ČSN 42 5510	PROMÍTÁNÍ:  (ISO E)	TOL. DLE ISO 8015: NE		INDEX	ZMĚNA	DATUM	PODPIS
NAVHL	Autor	Datum	Podpis	Datum	HMOTNOST	kg	MĚŘITKO	1:5 (1:2)
KRESLIL	David Polák	05.06.2017	PŘEZK.	SCHVÁLIL	SESTAVA	00-2017-S	KUSOVNIK	00-2017-K
TECHNOL.					STARÝ V.			

ČESKÉ VYSOKÉ UČENÍ TECHNICKÉ V PRAZE
FAKULTA STROJNÍ

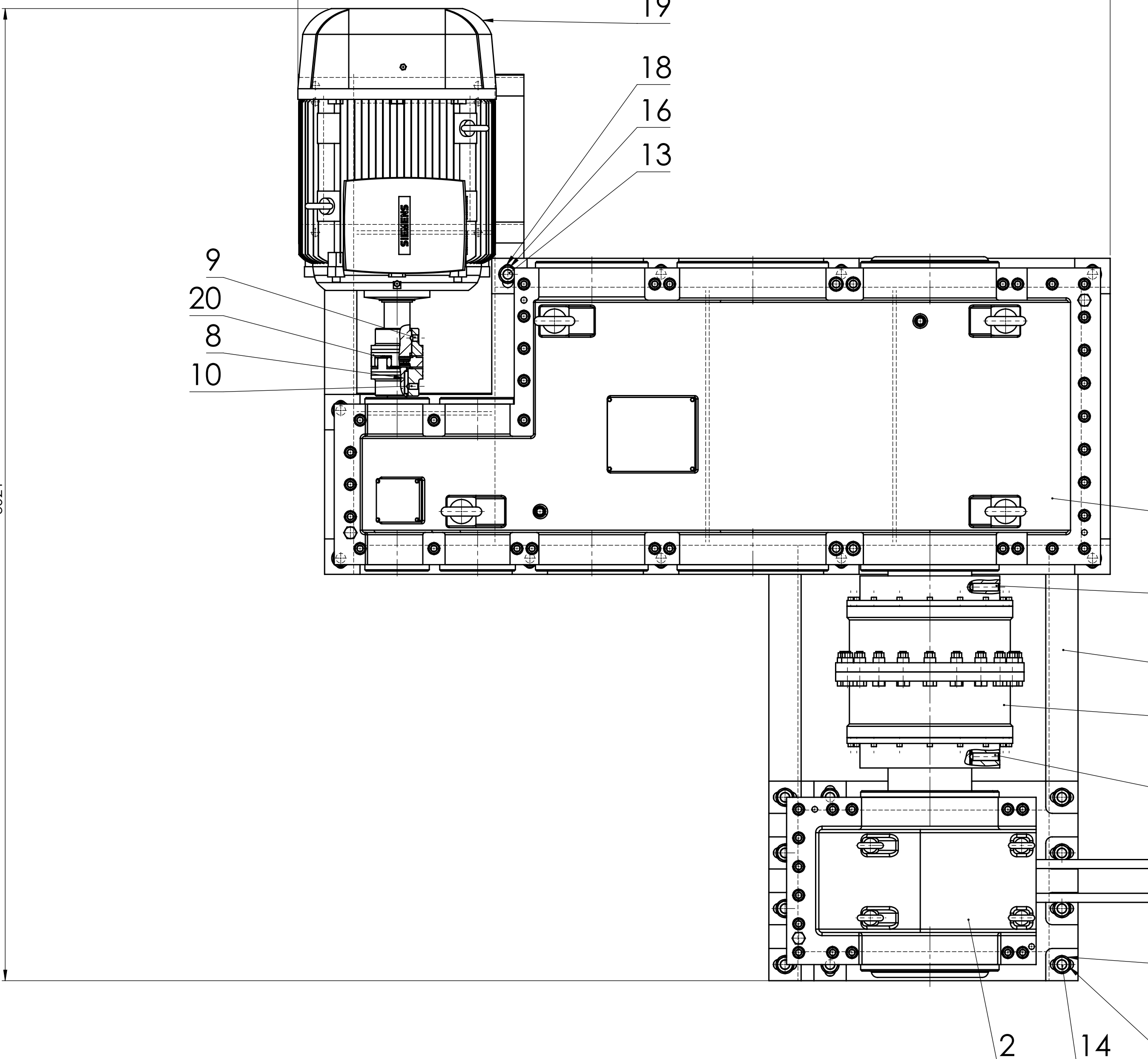
Hřídel III s pastorkem

č. pol.	Název	Č. výkresu - č. normy	Hmotnost [kg]	Množ- ství
				Jednotka
1	Převodový mechanismus Podsestava	00-2017-S		1
2	Lanové kolo Podsestava			1
3	Rám Podsestava	01-2017-1		1
4	Patka 45x45x5 ČSN	11 500		6
5	Patka 70x70x20 ČSN	11 500		10
6	Vyrovnávací podložka 37x37 ČSN	11 500		6
7	Vyrovnávací podložka 75x75 ČSN	11 500		20
8	Pero těsné 18x11x70 ČSN 02 2562			2
9	Stavěcí šroub s vnitřním vybráním M18x35 DIN 914			1
10	Stavěcí šroub s vnitřním vybráním M20x25 DIN 914			1
11	Stavěcí šroub s vnitřním vybráním M24x90 DIN 914			2
12	Závrtň šroub ČSN 02 1176.20 – M24 x 140 – 8.8			6
13	Závrtň šroub ČSN 02 1176.20 – M30 x 140 – 8.8			10
14	Závrtň šroub ČSN 02 1176.20 – M30 x 160 – 8.8			10
15	Šestihranná matice ISO 4034 – M24			12
16	Šestihranná matice ISO 4034 – M30			40
17	Podložka 24 ISO 7089-200 HV			12
18	Podložka 30 ISO 7089-200 HV			40
19	Elektromotor 1LE1502-3AD23 SIEMENS			1
20	Pružná spojka ROTEX GS 75 St 91Sh-A KTR			1
21	Zubová spojka GEARex DA 85 (42CrMo4)			1

Index	Změna				Datum	Podpisy	
	Podpis	Datum	Podpis	Datum		C. svitku:	
Vypracov	David POLÁK	07-05-17	Norm. ref.			Mikrofilm	
Skupinář			Přezk.			Sestava	01-2017-S
Technol.			Schválil			Hmotnost	
ČESKÉ VYSOKÉ UČENÍ TECHNICKÉ V PRAZE				NÁZEV: Sestava pohonu			
FAKULTA STROJNÍ				ČÍSLO VÝKRESU: 01-2017-S		INDEX	Technol. č.:
				01-2017-K			
				LISTŮ:	1	LIST: 1	

1 2 3 4 5 6 7 8 9 10 11 12

A



B

C

D

E

F

G

H

2523

19

18

16

13

9

20

8

10

1

11

3

21

11

18

2

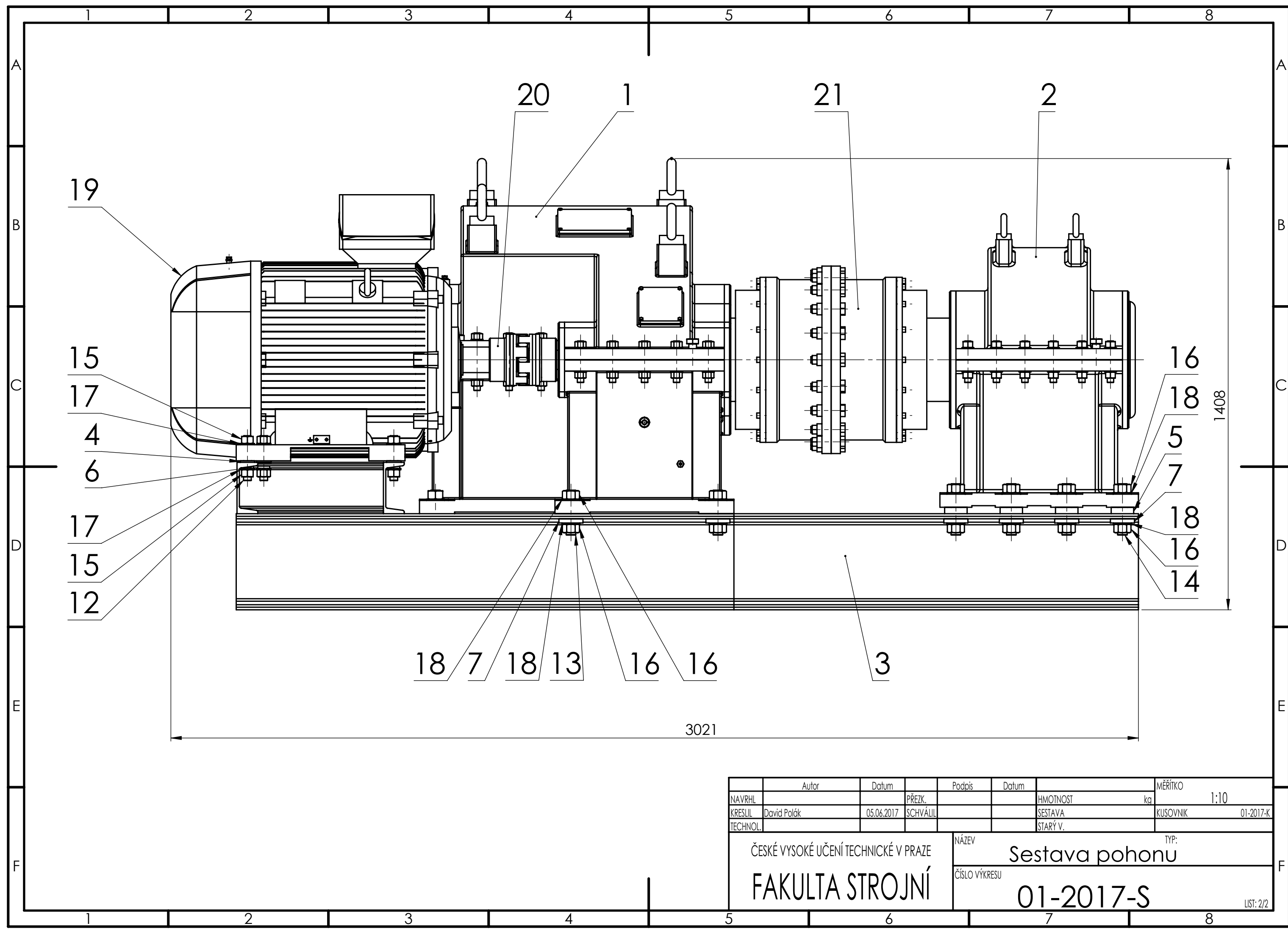
14

16

3021

1 2 3 4 5 6 7 8 9 10 11 12

NAVRHL	Autor	Datum	Podpis	Datum	MĚŘÍTKO
KRESLIL	David Polák	05.06.2017	PŘEZK.	SCHVALIL	kg
TECHNOL.					1:10
ČESKÉ VYSOKÉ UČENÍ TECHNICKÉ V PRAZE					NÁZEV
FAKULTA STROJNÍ					TYP:
Číslo výkresu					Sestava pohonu
01-2017-S					



Aut. NAVRHL	Datum 05.06.2017	Přezk. SCHVÁLIL	Podpis	Datum	Měřítko 1:10
KRESLIL David Polák					KUSOVNÍK 01-2017-K
TECHNOL.					
ČESKÉ VYSOKÉ UČENÍ TECHNICKÉ V PRAZE					NÁZEV
FAKULTA STROJNÍ					TYP: Sestava pohonu
Číslo výkresu					01-2017-S
LIST: 2/2					

1 2 3 4 5 6 7 8

